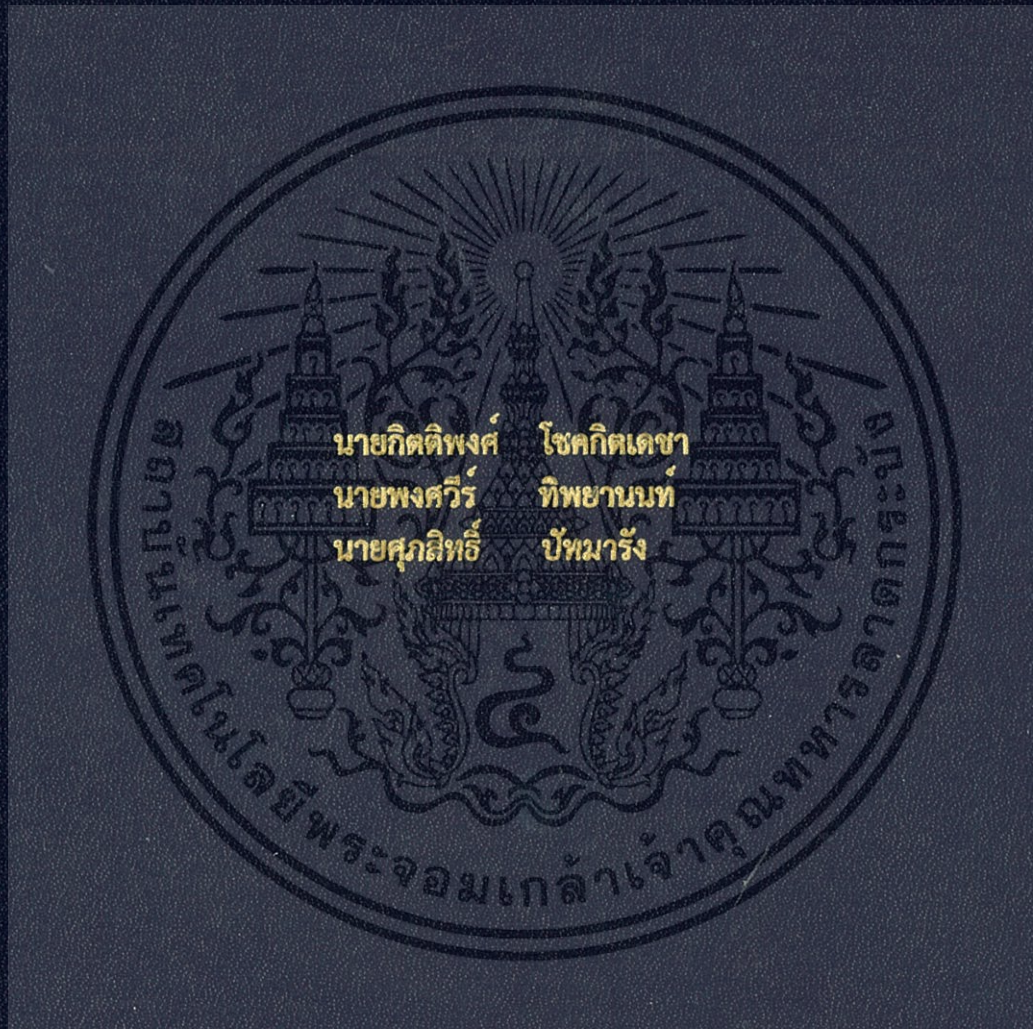


การเลือกตัวเก็บประจุที่เหมาะสมสำหรับมอเตอร์เหนี่ยวนำ 1 เฟส ชนิด ตัวเก็บประจุ
สตาร์ท - ตัวเก็บประจุน

SELECTION OF AN OPTIMIZED CAPACITOR VALUE FOR A SINGLE PHASE
CAPACITOR START-CAPACITOR RUN INDUCTION MOTOR



ปริญญานิพนธ์นี้เป็นส่วนหนึ่งของการศึกษาตามหลักสูตรปริญญาวิศวกรรมศาสตรบัณฑิต
ภาควิชาวิศวกรรมไฟฟ้า คณะวิศวกรรมศาสตร์
สถาบันเทคโนโลยีพระจอมเกล้าเจ้าคุณทหารลาดกระบัง
ปีการศึกษา 2559

การเลือกตัวเก็บประจุที่เหมาะสมสำหรับมอเตอร์เหนี่ยวนำ 1 เฟส ชนิด ตัวเก็บประจุ
สตาร์ท - ตัวเก็บประจุนรัน

SELECTION OF AN OPTIMIZED CAPACITOR VALUE FOR A SINGLE PHASE
CAPACITOR START-CAPACITOR RUN INDUCTION MOTOR



ปริญญานิพนธ์นี้เป็นส่วนหนึ่งของการศึกษาตามหลักสูตรปริญญาวิศวกรรมศาสตรบัณฑิต
ภาควิชาวิศวกรรมไฟฟ้า คณะวิศวกรรมศาสตร์
สถาบันเทคโนโลยีพระจอมเกล้าเจ้าคุณทหารลาดกระบัง

เอกสารนี้เป็นเอกสารที่สงวนไว้สำหรับการใช้งานเพื่อการศึกษาเท่านั้น ไม่อนุญาตให้นำไปใช้ประโยชน์ด้านการค้า
ไม่ว่ากรณีใดๆ ทั้งสิ้น อีกทั้งห้ามมิให้ตัดแปลงเนื้อหา และต้องอ้างอิงถึงเจ้าของเอกสารทุกครั้งที่มีการนำไปใช้

SELECTION OF AN OPTIMIZED CAPACITOR VALUE FOR A SINGLE PHASE
CAPACITOR START-CAPACITOR RUN INDUCTION MOTOR



THIS PROJECT SUBMITTED IN PARTIAL FULFILLMENT OF THE REQUIREMENT
FOR THE BACHELOR DEGREE IN ELECTRICAL ENERGY ENGINEERING
DEPARTMENT OF ELECTRICAL ENGINEERING FACULTY OF ENGINEERING
KING MONGKUT'S INSTITUTE OF TECHNOLOGY LADKRABANG

เอกสารนี้เป็นเอกสารที่สงวนไว้สำหรับการใช้งานเพื่อการศึกษาเท่านั้น ไม่อนุญาตให้นำไปใช้ประโยชน์ด้านการค้า
ไม่ว่ากรณีใดๆ ทั้งสิ้น อีกทั้งห้ามมิให้ตัดแปลงเนื้อหา และต้องอ้างอิงถึงเจ้าของเอกสารทุกครั้งที่มีการนำไปใช้

ปีการศึกษา 2559

การเลือกตัวเก็บประจุที่เหมาะสมสำหรับมอเตอร์เหนี่ยวนำ 1 เฟส ชนิด ตัวเก็บประจุสตาร์ท –
ตัวเก็บประจุน

SELECTION OF AN OPTIMIZED CAPACITOR VALUE FOR A SINGLE PHASE CAPACITOR
START-CAPACITOR RUN INDUCTION MOTOR



อาจารย์ที่ปรึกษา

ผศ.ดร.วรชาติ สุวรรณงาม

ดร.ธีรพล โฟ้พงษ์วิวัฒน์

เอกสารนี้เป็นเอกสารที่สงวนไว้สำหรับการใช้งานเพื่อการศึกษาเท่านั้น ไม่อนุญาตให้นำไปใช้ประโยชน์ด้านการค้า
ไม่ว่ากรณีใดๆ ทั้งสิ้น อีกทั้งห้ามมิให้ตัดแปลงเนื้อหา และต้องอ้างอิงถึงเจ้าของเอกสารทุกครั้งที่มีการนำไปใช้

ปริญญาานิพนธ์ปีการศึกษา 2559

ภาควิชาวิศวกรรมไฟฟ้า

คณะวิศวกรรมศาสตร์ สถาบันเทคโนโลยีพระจอมเกล้าเจ้าคุณทหารลาดกระบัง

เรื่อง การเลือกตัวเก็บประจุที่เหมาะสมสำหรับมอเตอร์เหนี่ยวนำ 1 เฟส ชนิด ตัวเก็บประจุสตาร์ท -
ตัวเก็บประจุนัน

ผู้จัดทำ



.....อาจารย์ที่ปรึกษา
(ผู้ช่วยศาสตราจารย์.ดร.วรชาติ สุวรรณงาม)

.....อาจารย์ที่ปรึกษาร่วม

(ดร.ธีรพล โพธิ์พงษ์วัฒน์)

เอกสารนี้เป็นเอกสารที่สงวนไว้สำหรับการใช้งานเพื่อการศึกษาเท่านั้น ไม่อนุญาตให้นำไปใช้ประโยชน์ด้านการค้า
ไม่ว่ากรณีใดๆ ทั้งสิ้น อีกทั้งห้ามมิให้ตัดแปลงเนื้อหา และต้องอ้างอิงถึงเจ้าของเอกสารทุกครั้งที่มีการนำไปใช้

การเลือกตัวเก็บประจุที่เหมาะสมสำหรับมอเตอร์เหนี่ยวนำ 1 เฟส ชนิด ตัวเก็บประจุ
สตาร์ท – ตัวเก็บประจุน

นายกิตติพงศ์	โชคกิตเตชา	
นายพงศวีร์	ทิพยานนท์	
นายศุภสิทธิ์	ปัทมารัง	
ผศ.ดร.วรชาติ	สุวรรณงาม	อ.ที่ปรึกษา
ดร.ธีรพล	โพธิ์พงษ์วัฒน์	อ.ที่ปรึกษาร่วม

บทคัดย่อ

ปริญญานิพนธ์เล่มนี้นำเสนอโครงการงานการเลือกตัวเก็บประจุที่เหมาะสมสำหรับมอเตอร์เหนี่ยวนำ 1 เฟส ชนิดตัวเก็บประจุสตาร์ท-ตัวเก็บประจุน โดยใช้หลักการจันติกอัลกอริธึมเพื่อให้ได้มากที่สุดค่าตัวเก็บประจุที่ดีที่สุด ซึ่งกระบวนการดังกล่าวจำเป็นที่จะต้องอาศัยค่าพารามิเตอร์ของมอเตอร์เหนี่ยวนำ 1 เฟส ด้วยเหตุนี้ ทางผู้วิจัยจึงได้ทำการทดสอบหาค่าพารามิเตอร์โดยอ้างอิงตามมาตรฐาน IEEE 114-2010 ผลการคำนวณค่าพารามิเตอร์โดยอาศัยจันติกอัลกอริธึมนั้นจะถูกนำมาเปรียบเทียบกับผลการจำลองทางคอมพิวเตอร์โดยอาศัยโปรแกรม MATLAB/Simulink และการคำนวณจากวงจรสมมูลโดยอ้างอิงตามมาตรฐาน IEEE 114-2010 ซึ่งผลที่ได้พบว่า ค่าตัวเก็บประจุที่ได้จากการคำนวณโดยอาศัยจันติกอัลกอริธึม ณ ค่าตัวเก็บประจุที่เหมาะสมนั้น มีค่าใกล้เคียงกับผลที่ได้จากการจำลองทางคอมพิวเตอร์และการคำนวณโดยอาศัยวงจรสมมูลโดยมีค่าความคลาดเคลื่อนน้อยกว่า 1% เมื่อเปรียบเทียบกับค่าการคำนวณโดยอาศัยวงจรสมมูล ผลที่ได้จากโครงการวิจัยนี้จะถูกนำไปเป็นวิธีการในการเลือกค่าตัวเก็บประจุที่เหมาะสมสำหรับการผลิตมอเตอร์ 1 เฟส

SELECTION OF AN OPTIMIZED CAPACITOR VALUE FOR A SINGLE PHASE CAPACITOR
START-CAPACITOR RUN INDUCTION MOTOR

Mr.Kittipong	Chokkitdechar	
Mr.Pongsawee	Thipayanon	
Mr.Supasit	Pattamarang	
Asst.Prof.Dr.Warachart	Suwan-ngam	Advisor
Dr.Teeraphon	Phophongviwat	Co-Advisor

Academic Year 2017

ABSTRACT

This thesis presents the detail of the project titled Selection of an optimized capacitor value for a single-phase capacitor start-capacitor run induction motor. The objective of this thesis is to apply genetic algorithm for selection of the optimized capacitors. The proposed method requires the parameters of the single-phase induction motor for calculation of the capacitors. Therefore, the parameter estimation based on IEEE standard 114-2010 was performed. Once the optimized capacitors are selected, the operation results are then compared to the results from computer simulation using MATLAB/Simulink program and the results from calculation based on the equivalent circuit. As shown in the results, the deviation of the results from genetic algorithm is less than 1% from the results from calculation using equivalent circuit. The results from this project can then be used for design of the single phase induction motor.

กิตติกรรมประกาศ

ปริญญานิพนธ์นี้สำเร็จลุล่วงได้ด้วยดี โดยได้รับคำแนะนำและคำปรึกษาทางวิชาการ เกี่ยวกับการควบคุมมอเตอร์เหนี่ยวนำ 1 เฟสชนิดตัวเก็บประจุรีนและตัวเก็บประจุสตาร์ท รวมทั้ง รายละเอียดด้านอื่นๆ ที่เป็นประโยชน์อย่างยิ่งต่อการวิจัยจาก ผศ.ดร.วรชาติ สุวรรณงาม ที่ให้ คำปรึกษาด้านวิชาการ การออกแบบการทดลอง การใช้อุปกรณ์เครื่องมือทางไฟฟ้า คำแนะนำในการ ใช้ชีวิตในด้านต่างๆ ซึ่งคณะผู้จัดทำรู้สึกซาบซึ้งในการช่วยเหลือและสนับสนุนจาก ผศ.ดร.วรชาติ สุวรรณงาม ที่ได้เสมอมา

ขอขอบคุณ ดร.ธีรพล โพธิ์พงษ์วิวัฒน์ ที่ให้คำปรึกษาด้านวิชาการ การออกแบบ การ วางแผนขั้นตอนการทำปริญญานิพนธ์รวมทั้งคำแนะนำในการใช้ชีวิต ผู้วิจัยรู้สึกซาบซึ้งในความ อนุเคราะห์จากท่านอาจารย์และขอขอบพระคุณอย่างสูง

ขอขอบคุณห้องปฏิบัติการ PEDEC (Power Electronics Drive and Energy Conversion) ที่เอื้อเฟื้ออุปกรณ์ไฟฟ้าและมอเตอร์ สำหรับการทําวิจัย

ขอขอบคุณ คุณนครศักดิ์ แสงศรี เจ้าหน้าที่ห้องปฏิบัติการที่ให้การยืมอุปกรณ์ เครื่องมือและอำนวยความสะดวกรวมถึงเจ้าหน้าที่ทางภาควิชาวิศวกรรมไฟฟ้าทุกท่าน ที่ให้การ สนับสนุนและช่วยเหลือตลอดการทำวิจัยเสมอมา

ขอขอบคุณ บิดา มารดาและครอบครัว ที่ให้การสนับสนุนทางด้านการศึกษา การเงิน และเป็นกำลังใจที่ดีเสมอมา รวมถึงเพื่อนๆที่ทำงานร่วมกันมา ตลอดจนผู้ที่มีส่วนเกี่ยวข้องใน ปริญญานิพนธ์ฉบับนี้ทุกท่านที่ไม่ได้กล่าวไว้

หากมีข้อผิดพลาดประการใด คณะผู้จัดทำขออภัยมา ณ ที่นี้ด้วย

คณะผู้จัดทำ

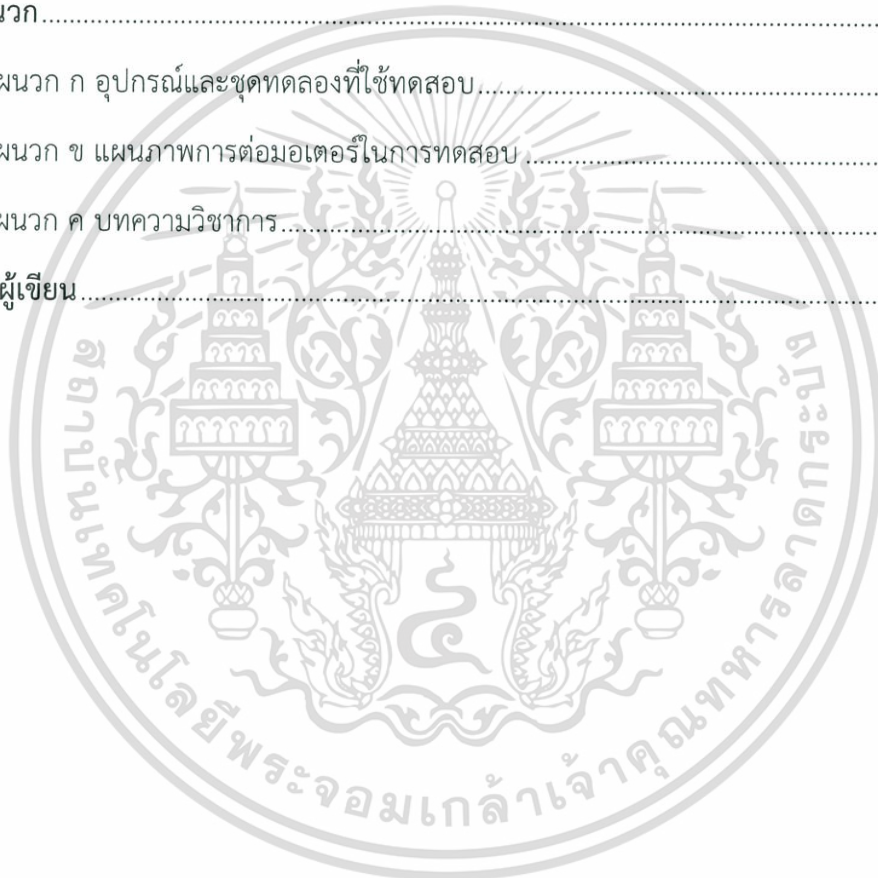
สารบัญ

	หน้า
บทคัดย่อ.....	I
ABSTRACT	II
กิตติกรรมประกาศ.....	III
สารบัญ.....	IV
สารบัญตาราง.....	VII
สารบัญรูปภาพ.....	VIII
บทที่ 1 บทนำ.....	1
1.1 ที่มาและความสำคัญของปัญหา.....	1
1.2 วัตถุประสงค์ของโครงการ.....	1
1.3 ขอบเขตและข้อกำหนดของโครงการ.....	2
1.4 วิธีการดำเนินโครงการ.....	2
1.5 แผนการดำเนินโครงการ.....	2
บทที่ 2 ทฤษฎีที่เกี่ยวข้อง.....	4
2.1 บทนำ.....	4
2.2 โครงสร้างของมอเตอร์เหนี่ยวนำ.....	4
2.2.1 สเตเตอร์.....	5
2.2.2 โรเตอร์.....	5
2.2 สนามแม่เหล็กหมุน.....	6
2.2.1 การเกิดสนามแม่เหล็กหมุน.....	7
2.2.2 หลักการทำงานของมอเตอร์เหนี่ยวนำ.....	8
2.3 มอเตอร์เหนี่ยวนำ 1 เฟส.....	9
2.3.1 ทฤษฎีคู่สนามแม่เหล็กหมุนของมอเตอร์เหนี่ยวนำ 1 เฟส.....	11
2.3.2 ประเภทของมอเตอร์เหนี่ยวนำ 1 เฟส.....	13
2.3.3 แผนภาพวงกลม.....	19

เอกสารนี้ 2.4 แบบจำลองทางคณิตศาสตร์และวงจรมุมลของมอเตอร์เหนี่ยวนำ 1 เฟส ได้ประโยชน์ด้วยความ 24
ไม่ว่ากรณีใดๆ ทั้งสิ้น อีกทั้งห้ามมิให้ตัดแปลงเนื้อหา และต้องอ้างอิงถึงเจ้าของเอกสารทุกครั้งที่มีการนำไปใช้

2.5	กำลังไฟฟ้าและการสูญเสียในมอเตอร์เหนี่ยวนำ 1 เฟส	27
2.5.2	การวิเคราะห์การสูญเสียของมอเตอร์เหนี่ยวนำ 1 เฟส	28
2.6	ความสัมพันธ์ของแรงบิดและกำลังไฟฟ้า	30
2.7	การพิจารณาประสิทธิภาพของมอเตอร์ผ่านกระบวนการทางจenetik	31
2.7.1	จenetikอัลกอริธึม (Genetic Algorithm: GA)	32
บทที่ 3 การทำงานและการออกแบบการทดลอง		35
3.1	บทนำ	35
3.2	การทดสอบหาพารามิเตอร์ของมอเตอร์เหนี่ยวนำ 1 เฟส	35
3.2.1	การทดสอบทางไฟฟ้ากระแสตรง	36
3.2.2	การทดสอบแบบยึดโรเตอร์	37
3.2.3	การทดสอบแบบไม่มีภาระทางกล	39
3.3	การทดสอบหากำลังที่สูญเสียของมอเตอร์เหนี่ยวนำ 1 เฟส	41
3.3.1	การทดสอบหากำลังที่สูญเสียในขดลวดสเตเตอร์ (P_{cus})	42
3.3.2	การทดสอบหาแรงเสียดทานและแรงต้านอากาศ (P_f)	42
3.3.3	การทดสอบหากำลังที่สูญเสียในแกนเหล็ก (P_{core})	44
3.3.4	การทดสอบหากำลังที่สูญเสียในขดลวดโรเตอร์ (P_{cur})	44
3.3.5	การทดสอบหาค่ากำลังสูญเสียจากภาระการใช้งาน (P_{stray})	45
3.3.6	สรุปกำลังไฟฟ้าที่สูญเสียไปในสภาวะไม่มีภาระทางกล	45
3.4	จำลองผลการทดสอบด้วยโปรแกรม MATLAB/Simulink	47
3.5	การหาประสิทธิภาพมอเตอร์โดยวิธีคำนวณจากวงจรสมมูล	49
3.6	การประยุกต์จenetikกับการประเมินประสิทธิภาพมอเตอร์เหนี่ยวนำ 1 เฟส	53
บทที่ 4 ผลการทดสอบ		56
4.1	บทนำ	56
4.2	การหาประสิทธิภาพมอเตอร์เหนี่ยวนำ 1 เฟสโดยวิธีจenetik	56
4.3	ผลจากการจำลองด้วยโปรแกรม MATLAB/Simulink	58
4.4	ผลการหาประสิทธิภาพมอเตอร์จากการคำนวณโดยใช้วงจรสมมูล	61
4.4.1	ผลลัพธ์จากการคำนวณโดยใช้วงจรสมมูลเมื่อทดสอบที่ระดับความเร็วต่างๆ	61

4.4.2 ผลลัพธ์จากการคำนวณโดยใช้วงจรมุมลเมื่อคำนวณที่พิกัดกำลัง.....	65
4.5 การเปรียบเทียบผลลัพธ์จากการคำนวณโดยใช้วงจรมุมลกับการจำลองทางคอมพิวเตอร์....	68
4.6 การคำนวณหาค่าตัวเก็บประจุที่ดีที่สุดด้วยวิธีแผนภาพวงกลม.....	70
บทที่ 5 สรุปผลการวิจัยและข้อเสนอแนะ.....	72
5.1 บทสรุป.....	72
5.2 ข้อเสนอแนะ.....	73
เอกสารอ้างอิง.....	74
ภาคผนวก.....	75
ภาคผนวก ก อุปกรณ์และชุดทดลองที่ใช้ทดสอบ.....	76
ภาคผนวก ข แผนภาพการต่อมอเตอร์ในการทดสอบ.....	81
ภาคผนวก ค บทความวิชาการ.....	83
ประวัติผู้เขียน.....	88



เอกสารนี้เป็นเอกสารที่สงวนไว้สำหรับการใช้งานเพื่อการศึกษาเท่านั้น ไม่อนุญาตให้นำไปใช้ประโยชน์ด้านการค้า
ไม่ว่ากรณีใดๆ ทั้งสิ้น อีกทั้งห้ามมิให้ตัดแปลงเนื้อหา และต้องอ้างอิงถึงเจ้าของเอกสารทุกครั้งที่มีการนำไปใช้

สารบัญตาราง

หน้า

ตารางที่ 1.1 แผนการดำเนินงาน	3
ตารางที่ 3.1 ผลการทดสอบทางไฟฟ้ากระแสตรง	37
ตารางที่ 3.2 ผลจากการทดสอบแบบยัดโรเตอร์	39
ตารางที่ 3.3 ผลการทดสอบแบบไม่มีภาระทางกล	40
ตารางที่ 3.4 พารามิเตอร์ของมอเตอร์เหนี่ยวนำ	40
ตารางที่ 3.5 สรุปกำลังไฟฟ้าที่สูญเสียในมอเตอร์	46
ตารางที่ 4.1 ค่าตัวเก็บประจุที่เหมาะสมที่คำนวณได้จากวิธีจันตีกอัลกอริธึม	58
ตารางที่ 4.2 ผลจากการจำลองด้วยโปรแกรม MATLAB/Simulink	58
ตารางที่ 4.3 ผลลัพธ์จากการคำนวณโดยใช้วงจรสมมูลเมื่อคำนวณที่พิกัดกำลัง	65
ตารางที่ 4.4 เปรียบเทียบผลลัพธ์จากการคำนวณโดยใช้วงจรสมมูลกับการจำลองทางคอมพิวเตอร์	68
ตารางที่ 1	68
ตารางที่ 4.5 เปรียบเทียบผลลัพธ์จากการคำนวณโดยใช้วงจรสมมูลกับการจำลองทางคอมพิวเตอร์	69
ตารางที่ 2	69
ตารางที่ 4.6 เปรียบเทียบผลลัพธ์จากการคำนวณโดยใช้วงจรสมมูลกับการจำลองทางคอมพิวเตอร์	69
ตารางที่ 3	69

สารบัญรูปภาพ

หน้า

รูปที่ 2.1 โครงสร้างของมอเตอร์เหนี่ยวนำชนิดกรงกระรอก	4
รูปที่ 2.2 สเตเตอร์ของมอเตอร์เหนี่ยวนำ.....	5
รูปที่ 2.3 โรเตอร์แบบกรงกระรอก.....	6
รูปที่ 2.4 โรเตอร์แบบขดลวด.....	6
รูปที่ 2.5 การต่อมอเตอร์เข้ากับระบบไฟฟ้า 3 เฟส.....	7
รูปที่ 2.6 สัญญาณกระแสไฟฟ้าในขดลวดสเตเตอร์ที่เวลาต่างๆ.....	7
รูปที่ 2.7 สนามแม่เหล็กในสเตเตอร์ในแต่ละช่วงเวลา.....	8
รูปที่ 2.8 การเกิดแรงบิดในโรเตอร์.....	8
รูปที่ 2.9 แผนผังค่าสลิป.....	9
รูปที่ 2.10 วงจรสมมูลของมอเตอร์เหนี่ยวนำในขณะที่ไม่มีขดลวดสตาร์ท.....	9
รูปที่ 2.11 ผลรวมของแรงบิดด้าน Forward และ Backward.....	10
รูปที่ 2.12 การเคลื่อนที่ของแรงเคลื่อนแม่เหล็กไฟฟ้าผ่านช่องว่างอากาศของขดลวดเหนี่ยวนำ	12
รูปที่ 2.13 องค์ประกอบของแรงเคลื่อนแม่เหล็กไฟฟ้า.....	12
รูปที่ 2.14 ไดอะแกรมลักษณะของมอเตอร์เหนี่ยวนำไฟฟ้า 1 เฟสชนิดแยกเฟสออกจากกัน.....	14
รูปที่ 2.15 ไดอะแกรมของมอเตอร์เหนี่ยวนำ 1 เฟส.....	15
รูปที่ 2.16 กราฟการนำหน้าขดลวดหลักต่อขดลวดสตาร์ท.....	15
รูปที่ 2.17 ความสัมพันธ์ของแรงบิดของขดลวดหลักและขดลวดสตาร์ท.....	16
รูปที่ 2.18 ไดอะแกรมในด้านต่างๆของมอเตอร์ชนิดตัวเก็บประจุสตาร์ท.....	17
รูปที่ 2.19 ไดอะแกรมในด้านต่างๆของมอเตอร์ชนิดตัวเก็บประจุรัน.....	18
รูปที่ 2.20 ไดอะแกรมในด้านต่างๆของมอเตอร์ชนิดตัวเก็บประจุสตาร์ท-ตัวเก็บประจุรัน.....	18
รูปที่ 2.21 วงจรสมมูลในสถานะคงตัวของมอเตอร์เหนี่ยวนำ 1 เฟส ชนิดตัวเก็บประจุรัน.....	19
รูปที่ 2.22 เฟสเซอร์ของมอเตอร์เหนี่ยวนำ 1 เฟส ชนิดตัวเก็บประจุสตาร์ทที่สภาวะความเร็วเท่ากับ ศูนย์.....	20
รูปที่ 2.23 แผนภาพเฟสเซอร์ของมอเตอร์ที่มีแรงบิดเริ่มต้นต่อกระแสมากที่สุด.....	22
รูปที่ 2.24 วงจรสมมูลของมอเตอร์เหนี่ยวนำ 1 เฟส ชนิดตัวเก็บประจุรัน.....	24
รูปที่ 2.25 สามเหลี่ยมกำลังไฟฟ้า (Power Triangle).....	26

รูปที่ 2.26 Power Flow ของมอเตอร์เหนี่ยวนำ 1 เฟส	28
รูปที่ 2.27 ผลรวมของแรงบิดด้าน Forward และ Backward	30
รูปที่ 2.28 เงื่อนไขน้อยกว่าศูนย์และเท่ากับศูนย์ของฟังก์ชัน	31
รูปที่ 2.29 คำตอบของค่าต่ำสุด $f(x)$ และ ค่าสูงสุด $-f(x)$	32
รูปที่ 2.30 แผนผังการคำนวณของจีเนติกอัลกอริธึม	33
รูปที่ 2.31 ครอสโอเวอร์แบบวันพอยท์	34
รูปที่ 2.32 การมิวเตชันเปลี่ยน Bit ข้อมูลจาก 1 เป็น 0.....	34
รูปที่ 3.1 วงจรสมมูลของมอเตอร์เหนี่ยวนำ 1 เฟส.....	35
รูปที่ 3.2 แผนภาพการต่ออุปกรณ์วัดการทดสอบทางไฟฟ้ากระแสตรง	35
รูปที่ 3.3 วงจรสมมูลที่เกิดขึ้นขณะทำการทดสอบยึดโรเตอร์	38
รูปที่ 3.4 วงจรสมมูลของมอเตอร์เหนี่ยวนำ 1 เฟส.....	40
รูปที่ 3.5 วงจรสมมูลของมอเตอร์เหนี่ยวนำ 1 เฟส โดยแยกตามขดลวด.....	41
รูปที่ 3.6 ตัวอย่างข้อมูลที่ทำการทดลอง	43
รูปที่ 3.7 ความสัมพันธ์ระหว่าง $P_{in} - P_{out}$ กับ V^3	43
รูปที่ 3.8 ไดอะแกรมการออกแบบโปรแกรม MATLAB/Simulink.....	47
รูปที่ 3.9 บล็อกไดอะแกรมที่ใช้ในการจำลองมอเตอร์ผ่านโปรแกรม MATLAB/Simulink.....	48
รูปที่ 3.10 การตั้งค่าพารามิเตอร์สำหรับโปรแกรม MATLAB/Simulink.....	49
รูปที่ 3.11 ไดอะแกรมของวิธีการคำนวณจากวงจรสมมูล	51
รูปที่ 3.12 ตัวอย่างโค้ดการคำนวณ.....	52
รูปที่ 3.13 วงจรสมมูลของมอเตอร์เหนี่ยวนำ 1 เฟส.....	53
รูปที่ 4.1 โปรแกรมคำนวณสำหรับหาค่าสลิปและค่าตัวเก็บประจุ	57
รูปที่ 4.2 ผลลัพธ์ที่แสดงในหน้าต่าง Command Window	57
รูปที่ 4.3 การคำนวณของจีเนติกอัลกอริธึม ตั้งแต่เจเนเรชันที่ 1.....	57
รูปที่ 4.4 ความสัมพันธ์กระแสกับค่าตัวเก็บประจุที่ได้จากการทำจำลองทางคอมพิวเตอร์	59
รูปที่ 4.5 ความสัมพันธ์กำลังไฟฟ้าขาเข้ากับค่าตัวเก็บประจุที่ได้จากการทำจำลองทางคอมพิวเตอร์	59
รูปที่ 4.6 ความสัมพันธ์ค่าตัวประกอบกำลังกับค่าตัวเก็บประจุที่ได้จากการทำจำลองทางคอมพิวเตอร์	60
รูปที่ 4.7 ความสัมพันธ์ประสิทธิภาพกับค่าตัวเก็บประจุที่ได้จากการทำจำลองทางคอมพิวเตอร์	60

รูปที่ 4.8 ความสัมพันธ์ระหว่างกระแสที่ขดลวดหลักกับความเร็วยรอบจากการคำนวณโดยใช้วงจร สมมูล	61
รูปที่ 4.9 ความสัมพันธ์ระหว่างกระแสที่ขดลวดสตาร์ทกับความเร็วยรอบจากการคำนวณโดยใช้วงจร สมมูล	62
รูปที่ 4.10 ความสัมพันธ์ระหว่างกระแสขาเข้ามอเตอร์กับความเร็วยรอบจากการคำนวณโดยใช้วงจร สมมูล	62
รูปที่ 4.11 ความสัมพันธ์ระหว่างความต่างของมุมกระแส	63
รูปที่ 4.12 ความสัมพันธ์ระหว่างแรงบิดกับความเร็วยรอบจากการคำนวณโดยใช้วงจรสมมูล	63
รูปที่ 4.13 ความสัมพันธ์ระหว่างกำลังขาออกกับความเร็วยรอบจากการคำนวณโดยใช้วงจรสมมูล	64
รูปที่ 4.14 ความสัมพันธ์ระหว่างประสิทธิภาพกับความเร็วยรอบจากการคำนวณโดยใช้วงจรสมมูล ..	64
รูปที่ 4.15 ความสัมพันธ์ระหว่างกระแสกับค่าตัวเก็บประจุจากการคำนวณโดยใช้วงจรสมมูล	66
รูปที่ 4.16 ความสัมพันธ์ระหว่างกำลังไฟฟ้าขาเข้ากับค่าตัวเก็บประจุจากการคำนวณโดยใช้วงจร สมมูล	66
รูปที่ 4.17 ความสัมพันธ์ระหว่างตัวประกอบกำลังกับค่าตัวเก็บประจุจากการคำนวณโดยใช้วงจร สมมูล	67
รูปที่ 4.18 ความสัมพันธ์ระหว่างประสิทธิภาพกับค่าตัวเก็บประจุจากการคำนวณโดยใช้วงจรสมมูล	67
รูปที่ 4.19 แผนภาพวงกลมของมอเตอร์เหนี่ยวนำ 1 เฟสเมื่อเปลี่ยนค่าตัวเก็บประจุ	71

บทที่ 1

บทนำ

1.1 ที่มาและความสำคัญของปัญหา

ในปัจจุบันนี้ เครื่องต้นกำลังในอุตสาหกรรมส่วนใหญ่เป็นมอเตอร์เหนี่ยวนำ เนื่องจากคุณสมบัติที่ได้แก่ โครงสร้างแข็งแรง ทนทาน และบำรุงรักษาง่าย การสตาร์ทมอเตอร์ที่ไม่ยุ่งยาก การสูญเสียเนื่องจากแรงเสียดทานมีค่าน้อยและมีราคาถูก มอเตอร์เหนี่ยวนำ 1 เฟสเป็นมอเตอร์เหนี่ยวนำที่เรียกชื่อตามระบบไฟฟ้าที่ใช้ ด้วยเหตุผลที่ระบบไฟฟ้าส่วนใหญ่ใช้งานระบบไฟฟ้ากระแสสลับ 1 เฟส ทั้งในครัวเรือน, สำนักงาน และในพื้นที่ชนบท เป็นต้น ระบบไฟฟ้า 1 เฟส มีความต้องการกำลังไฟฟ้าที่ไม่สูงมากนัก การนำมอเตอร์เหนี่ยวนำชนิด 1 เฟส จึงเพียงพอต่อการใช้งานและถูกนำมาใช้งานอย่างแพร่หลาย อาทิเช่น พัดลม, เครื่องปรับอากาศ, ระบบปั้มน้ำ, อุปกรณ์ในครัวเรือน, ตู้เย็น และอื่นๆ เป็นต้น มอเตอร์เหนี่ยวนำ 1 เฟส ไม่ว่าจะเป็นมอเตอร์ชนิดแยกเฟส (Split-Phase Motor) มอเตอร์ชนิดตัวเก็บประจุสตาร์ท (Capacitor Start Motor) มอเตอร์ชนิดตัวเก็บประจुरूน (Capacitor Run Motor) และมอเตอร์ชนิดตัวเก็บประจุสตาร์ท-ตัวเก็บประจुरूน (Capacitor Start-Capacitor Run Motor) สำหรับปริญญาโทและปริญญาตรี ทางคณะผู้จัดทำเลือกพิจารณามอเตอร์ประเภทตัวเก็บประจุสตาร์ท-ตัวเก็บประจुरूน (Capacitor Start-Capacitor Run Motor) ในการศึกษา

แต่ทว่าเดิมทีมอเตอร์เหนี่ยวนำ 1 เฟส มีปัญหาเรื่องแรงบิดขณะสตาร์ท ดังนั้น เพื่อให้มีการใช้งานอย่างมีประสิทธิภาพที่สุด การศึกษาถึงปัญหาและวิธีเพิ่มประสิทธิภาพของมอเตอร์เหนี่ยวนำ 1 เฟส จึงเป็นวิธีการที่จะถูกนำไปใช้ศึกษาและพัฒนาต่อใช้งานได้จริง ซึ่งวิธีในการเพิ่มประสิทธิภาพในมอเตอร์เหนี่ยวนำ 1 เฟสที่ใช้ในการศึกษานี้คือการหาตัวเก็บประจุที่เหมาะสมสำหรับมอเตอร์เหนี่ยวนำเพื่อต้องการประสิทธิภาพที่ดีที่สุดที่สภาวะต่างกันไป

1.2 วัตถุประสงค์ของโครงการ

โครงการนี้มีวัตถุประสงค์ในการหาค่าตัวเก็บประจุสตาร์ทและตัวเก็บประจुरूน สำหรับมอเตอร์เหนี่ยวนำ 1 เฟส ชนิดตัวเก็บประจุสตาร์ท-ตัวเก็บประจुरूน โดยใช้หลักการจีเนติกอัลกอริธึมเพื่อให้ได้มากที่สุดค่าตัวเก็บประจุที่ดีที่สุด และทำการเปรียบเทียบผลการคำนวณที่ได้กับผล

เอกสารนี้เป็นเอกสารที่สงวนไว้สำหรับการใช้งานเพื่อการศึกษาเท่านั้น ไม่อนุญาตให้นำไปใช้ประโยชน์ด้านการค้าไม่ว่ากรณีใดๆ ทั้งสิ้น อีกทั้งห้ามมิให้ตัดแปลงเนื้อหา และต้องอ้างอิงถึงเจ้าของเอกสารทุกครั้งที่มีการนำไปใช้

การจำลองทางคอมพิวเตอร์ที่สภาวะใดๆ โดยอาศัยโปรแกรม MATLAB/Simulink และเปรียบเทียบกับผลการทดลองที่ได้จากการคำนวณผ่านวงจรสมมูล

1.3 ขอบเขตและข้อกำหนดของโครงการ

ขอบเขตงานวิจัยคือผู้วิจัยสามารถทำการหาค่าตัวเก็บประจุสตาร์ท และ ตัวเก็บประจุรัน ที่เหมาะสมสำหรับมอเตอร์เหนี่ยวนำชนิดตัวเก็บประจุสตาร์ท-ตัวเก็บประจุรัน โดยอาศัยจินตคณิตอัลกอริธึมได้ และสามารถทำการเปรียบเทียบผลที่ได้กับการจำลองทางคอมพิวเตอร์และการทดสอบโดยอาศัยการคำนวณผ่านวงจรสมมูลตามมาตรฐาน IEEE114-2010

1.4 วิธีการดำเนินโครงการ

1.4.1 ศึกษาการทำงาน คุณสมบัติ และวิธีการควบคุมการทำงานของมอเตอร์เหนี่ยวนำ 1 เฟส

1.4.2 ศึกษาประเภทของมอเตอร์เหนี่ยวนำ 1 เฟส

1.4.3 ศึกษาวิธีการทดสอบหาค่าพารามิเตอร์ของมอเตอร์เหนี่ยวนำ 1 เฟส

1.4.4 สร้างและจัดเตรียมอุปกรณ์ที่จำเป็นต่อการทดสอบ

1.4.5 ทำการทดสอบหาค่าพารามิเตอร์ของมอเตอร์เหนี่ยวนำ 1 เฟส, ทำแบบจำลองทางคอมพิวเตอร์จากค่าพารามิเตอร์ที่ได้จากการทดสอบ, และทดลองการทำงานของมอเตอร์ที่สภาวะต่างๆจากแบบจำลองทางคอมพิวเตอร์

1.4.6 ศึกษาและทดสอบหาความสูญเสียของมอเตอร์เหนี่ยวนำ 1 เฟส ด้วยวิธีการตามมาตรฐาน IEEE114-2010 และทดลองการทำงานที่สภาวะต่างๆ

1.4.7 ออกแบบโปรแกรมช่วยคำนวณหาค่าประสิทธิภาพของมอเตอร์เหนี่ยวนำ 1 เฟส และแสดงผลของกราฟเมื่อมีการเปลี่ยนแปลงตัวเก็บประจุที่สภาวะพิกัดได้

1.4.8 เก็บข้อมูล วิเคราะห์ผล และสรุปผล

1.5 แผนการดำเนินโครงการ

ระยะเวลาในการดำเนินโครงการ 10 เดือน ตั้งแต่เดือนสิงหาคม พ.ศ.2559 ถึงเดือนพฤษภาคม พ.ศ.2560

เอกสารนี้เป็นเอกสารที่สงวนไว้สำหรับการใช้งานเพื่อการศึกษาเท่านั้น ไม่อนุญาตให้นำไปใช้ประโยชน์ด้านการค้าไม่ว่ากรณีใดๆ ทั้งสิ้น อีกทั้งห้ามมิให้ตัดแปลงเนื้อหา และต้องอ้างอิงถึงเจ้าของเอกสารทุกครั้งที่มีการนำไปใช้

ตารางที่ 1.1 แผนการดำเนินงาน

การดำเนินงาน	เดือน									
	ส.ค.	ก.ย.	ต.ค.	พ.ย.	ธ.ค.	ม.ค.	ก.พ.	มี.ค.	เม.ย.	พ.ค.
1. ค้นคว้าหาข้อมูลหัวข้อโครงการ										
2. วางแผนการดำเนินงานและสร้างแบบจำลอง										
3. จัดเตรียมและสร้างอุปกรณ์ที่จำเป็นต่อการทดลอง										
4. จำลองการทำงานผ่านคอมพิวเตอร์										
5. ทดลองและสรุปผลการทดลอง										
6. จัดทำรูปเล่มวิทยานิพนธ์										

เอกสารนี้เป็นเอกสารที่สงวนไว้สำหรับการใช้งานเพื่อการศึกษาเท่านั้น ไม่อนุญาตให้นำไปใช้ประโยชน์ด้านการค้า ไม่ว่ากรณีใดๆ ทั้งสิ้น อีกทั้งห้ามมิให้ตัดแปลงเนื้อหา และต้องอ้างอิงถึงเจ้าของเอกสารทุกครั้งที่มีการนำไปใช้

บทที่ 2

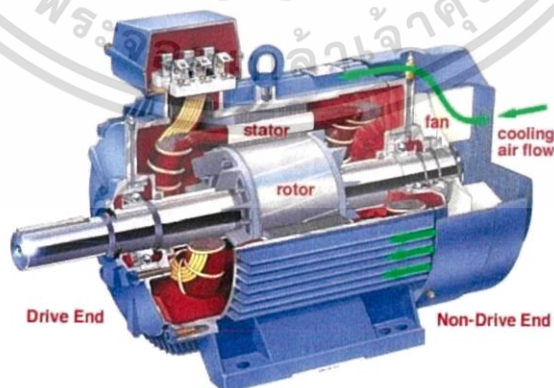
ทฤษฎีที่เกี่ยวข้อง

2.1 บทนำ

ปริญญาบัตรฉบับนี้จัดทำขึ้นเพื่อศึกษาหลักการการทำงานของมอเตอร์เหนี่ยวนำ 1 เฟสชนิดตัวเก็บประจุสตาร์ท-ตัวเก็บประจุน (Capacitor Start-Capacitor Run Motor) การพิจารณาเลือกตัวเก็บประจุที่เหมาะสมสำหรับมอเตอร์เหนี่ยวนำ 1 เฟสจึงจำเป็นที่จะต้องมีความเข้าใจเกี่ยวกับทฤษฎีคู่สนามแม่เหล็กหมุน (Double Revolving Field Theory) เพื่อวิเคราะห์พฤติกรรมการทำงานของมอเตอร์เช่น แรงบิดทางไฟฟ้า การเปลี่ยนแปลงของแรงบิด กำลังไฟฟ้าส่วนต่างๆ การเกิดสนามแม่เหล็กหมุน เป็นต้น

2.2 โครงสร้างของมอเตอร์เหนี่ยวนำ

มอเตอร์เหนี่ยวนำประกอบด้วยโครงสร้างหลัก 2 ส่วนคือ สเตเตอร์ (Stator) และโรเตอร์ (Rotor) โดยสเตเตอร์จะเป็นโครงสร้างส่วนที่อยู่กับที่ ส่วนโรเตอร์เป็นส่วนที่หมุนและขับเคลื่อนภาระทางกล ซึ่งโดยทั่วไปจะเป็นโรเตอร์แบบกรงกระรอก (Squirrel Cage Rotor) ส่วนโรเตอร์อีกชนิดหนึ่งคือโรเตอร์แบบขดลวด (Wound Rotor) ในรูปที่ 2.1 จะแสดงโครงสร้างโดยรวมของมอเตอร์ไฟฟ้าเหนี่ยวนำแบบ 3 เฟส



รูปที่ 2.1 โครงสร้างของมอเตอร์เหนี่ยวนำชนิดกรงกระรอก

เอกสารนี้เป็นเอกสารที่สงวนไว้สำหรับการใช้งานเพื่อการศึกษาเท่านั้น ไม่อนุญาตให้นำไปใช้ประโยชน์ด้านการค้า ไม่ว่ากรณีใดๆ ทั้งสิ้น อีกทั้งห้ามมิให้ตัดแปลงเนื้อหา และต้องอ้างอิงถึงเจ้าของเอกสารทุกครั้งที่มีการนำไปใช้

2.2.1 สเตเตอร์

สเตเตอร์จะมีขดลวดวางอยู่ในร่องสลีตซึ่งเป็นแกนเหล็ก ทำหน้าที่สร้างสนามแม่เหล็กหมุน (Rotating Field) ซึ่งเป็นสนามแม่เหล็กหลักที่ทำให้เกิดการเหนี่ยวนำที่โรเตอร์ ขดลวดสเตเตอร์จะต่อเข้ากับระบบไฟฟ้า โดยรับพลังงานไฟฟ้ามาแปลงเป็นพลังงานสนามแม่เหล็กส่งข้ามช่องว่างอากาศไปยังโรเตอร์และแปลงเป็นพลังงานกล ทั้งขดลวดและแกนเหล็กสเตเตอร์จะติดตั้งอยู่ภายในกรอบของโครงเหล็ก (Frame) ตามรูปที่ 2.2

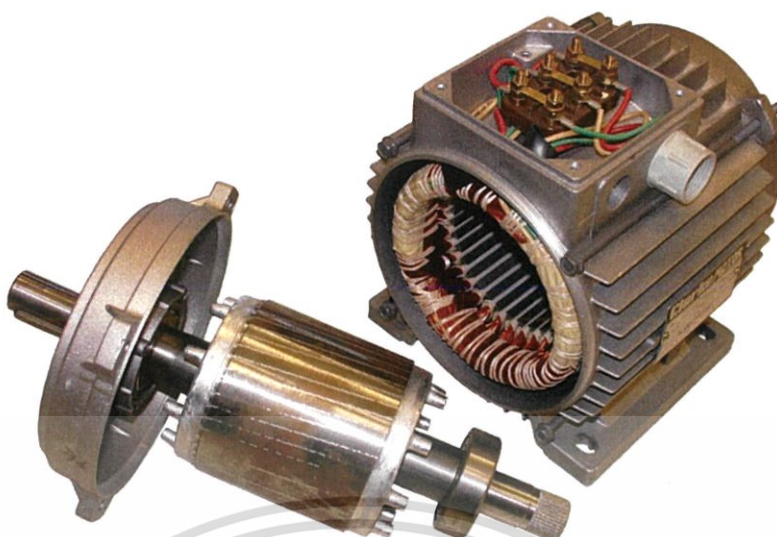


รูปที่ 2.2 สเตเตอร์ของมอเตอร์เหนี่ยวนำ

2.2.2 โรเตอร์

เป็นส่วนที่รับการถ่ายทอดพลังงานจากสเตเตอร์ ที่ส่งผ่านช่องว่างอากาศออกมาในรูปของสนามแม่เหล็กหมุนซึ่งถูกเรียกว่า กำลังที่ส่งผ่านช่องว่างอากาศ (Air-gap Power) พลังงานนั้นจะถูกเปลี่ยนให้เป็นพลังงานทางกล และส่งต่อไปขับภาระทางกล (Mechanical Load) ที่ต่ออยู่กับเพลา ในรูปที่ 2.3 แสดงภาพมอเตอร์ที่มีโรเตอร์แบบกรงกระรอก (Squirrel Cage Rotor) ซึ่งใช้งานแพร่หลายมากทั้งตามที่อยู่อาศัย และในโรงงานอุตสาหกรรม ส่วนรูปที่ 2.4 แสดงภาพมอเตอร์ที่มีโรเตอร์แบบขดลวด (Wound Rotor) เป็นมอเตอร์ชนิดที่การใช้งานจะต่อร่วมกับตัวต้านทานจากภายนอก ทำให้ต้องมีการบำรุงรักษามากกว่าโรเตอร์แบบกรงกระรอก

เอกสารนี้เป็นเอกสารที่สงวนไว้สำหรับการใช้งานเพื่อการศึกษาเท่านั้น ไม่อนุญาตให้นำไปใช้ประโยชน์ด้านการค้าไม่ว่ากรณีใดๆ ทั้งสิ้น อีกทั้งห้ามมิให้ตัดแปลงเนื้อหา และต้องอ้างอิงถึงเจ้าของเอกสารทุกครั้งที่มีการนำไปใช้



Credit: <http://keywordsuggest.org>

รูปที่ 2.3 โรเตอร์แบบกรงกระรอก



Credit: <http://electricalengineeringbasics.blogspot.com>

รูปที่ 2.4 โรเตอร์แบบขดลวด

2.3 สนามแม่เหล็กหมุน

สนามแม่เหล็กหมุน (Rotating Field) เป็นส่วนสำคัญอย่างยิ่ง ที่ทำให้มอเตอร์ไฟฟ้าเหนี่ยวนำสามารถหมุนได้ เกิดจากการกระแสไฟฟ้าที่ไหลในขดลวดสเตเตอร์และรูปแบบการวางขดลวดที่เหมาะสม ขนาดของสนามแม่เหล็กพัทธ์จะมีค่าคงที่และหมุนรอบจุดศูนย์กลางของสเตเตอร์ ความเร็วของสนามแม่เหล็กหมุนจะถูกเรียกว่า ความเร็วซิงโครนัส (Synchronous Speed) มีค่าขึ้นอยู่กับความถี่ของระบบไฟฟ้าและจำนวนขั้วแม่เหล็กของสเตเตอร์ ดังสมการที่ 2.1

เอกสารนี้เป็นเอกสารที่สงวนไว้สำหรับการใช้งานเพื่อการศึกษาเท่านั้น ไม่อนุญาตให้นำไปใช้ประโยชน์ด้านการค้าไม่ว่ากรณีใดๆ ทั้งสิ้น อีกทั้งห้ามมิให้ตัดแปลงเนื้อหา และต้องอ้างอิงถึงเจ้าของเอกสารทุกครั้งที่มีการนำไปใช้

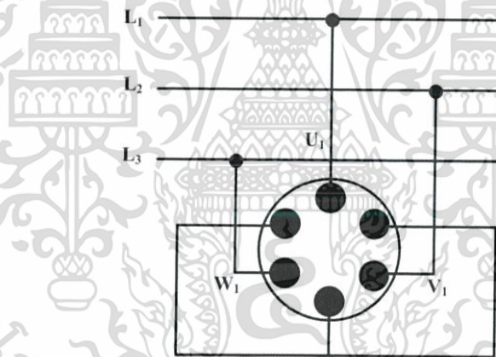
$$n_s = \frac{120f}{P} \quad (2.1)$$

เมื่อ

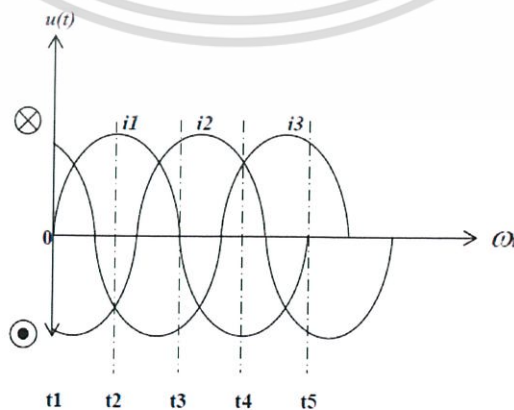
n_s	คือ ความเร็วซิงโครนัส (RPM)
f	คือ ความถี่ของกระแสไฟฟ้า (Hz)
P	คือ จำนวนขั้วแม่เหล็ก (pole)

2.3.1 การเกิดสนามแม่เหล็กหมุน

การเกิดสนามแม่เหล็กหมุนสามารถอธิบายให้เข้าใจได้โดยง่าย ผ่านการพิจารณา มอเตอร์ไฟฟ้าเหนี่ยวนำ 3 เฟสที่ถูกจ่ายกระแสเข้าตามรูปที่ 2.5 เมื่อกระแสไฟฟ้าที่ไหลเข้ามาที่ ช่วงเวลาใดๆจะมีขนาดที่ไม่เท่ากันตามรูปที่ 2.6 จะก่อให้เกิดทิศทางของสนามแม่เหล็กลัพธ์ขึ้น และเมื่อเวลาผ่านไปสนามแม่เหล็กลัพธ์นั้นก็เปลี่ยนทิศทางไปตามขนาดกระแส เกิดเป็นสนามแม่เหล็ก หมุนขึ้นตามรูปที่ 2.7

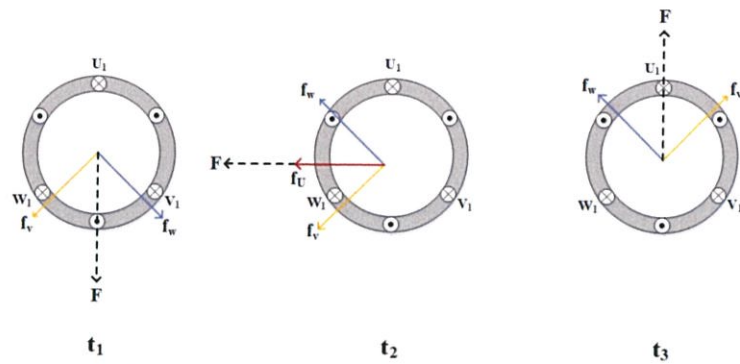


รูปที่ 2.5 การต่อมอเตอร์เข้ากับระบบไฟฟ้า 3 เฟส



รูปที่ 2.6 สัญญาณกระแสไฟฟ้าในขดลวดสเตเตอร์ที่เวลาต่างๆ

เอกสารนี้เป็นเอกสารที่สงวนไว้สำหรับการใช้งานเพื่อการศึกษาเท่านั้น ไม่อนุญาตให้นำไปใช้ประโยชน์ด้านการค้า ไม่ว่ากรณีใดๆ ทั้งสิ้น อีกทั้งห้ามมิให้ตัดแปลงเนื้อหา และต้องอ้างอิงถึงเจ้าของเอกสารทุกครั้งที่มีการนำไปใช้



รูปที่ 2.7 สนามแม่เหล็กในสเตเตอร์ในแต่ละช่วงเวลา

2.2.2 หลักการทำงานของมอเตอร์เหนี่ยวนำ

การเหนี่ยวนำจะเกิดขึ้นระหว่างสนามแม่เหล็กหมุนที่มีขนาดความเร็วเชิงมุมเท่ากับความเร็วซิงโครนัส (ω_s) กับตัวนำในโรเตอร์ ทำให้เกิดแรงเคลื่อนไฟฟ้าเหนี่ยวนำ (Induce EMF) กระแสไฟฟ้าและสนามแม่เหล็กขึ้นในโรเตอร์ตามลำดับ สนามแม่เหล็กหมุนและสนามแม่เหล็กในโรเตอร์จะกระทำกันและเกิดแรงบิดขึ้นที่โรเตอร์ ทำให้โรเตอร์หมุนไปด้วยความเร็วค่าหนึ่งเรียกว่าความเร็วเชิงมุมโรเตอร์ (ω_r) ตามรูปที่ 2.8



รูปที่ 2.8 การเกิดแรงบิดในโรเตอร์

การเหนี่ยวนำระหว่างสนามแม่เหล็กหมุนกับตัวนำในโรเตอร์ เกิดขึ้นได้เพราะความเร็วรอบสนามแม่เหล็กหมุนจึงสูงกว่าความเร็วรอบของโรเตอร์อยู่เสมอ ความเร็วที่แตกต่างกันนี้เป็นความเร็วที่ทำให้เกิดการเหนี่ยวนำขึ้น เรียกความเร็วนี้ว่าความเร็วสลิป (Slip Speed) เมื่อคิดค่าความเร็วสลิปเป็นระบบต่อหน่วย จะเรียกค่านี้ว่า สลิป (Slip) ซึ่งสามารถคำนวณได้จากสมการ

เอกสารนี้เป็นเอกสารที่สงวนไว้สำหรับการใช้งานเพื่อการศึกษาเท่านั้น ไม่อนุญาตให้นำไปใช้ประโยชน์ด้านการค้าไม่ว่ากรณีใดๆ ทั้งสิ้น อีกทั้งห้ามมิให้ตัดแปลงเนื้อหา และต้องอ้างอิงถึงเจ้าของเอกสารทุกครั้งที่มีการนำไปใช้

$$s = \frac{n_s - n_r}{n_s} \quad (2.2)$$

เมื่อ s คือ สลิป

n_s คือ ความเร็วซิงโครนัส (RPM)

n_r คือ ความเร็วโรเตอร์ (RPM)

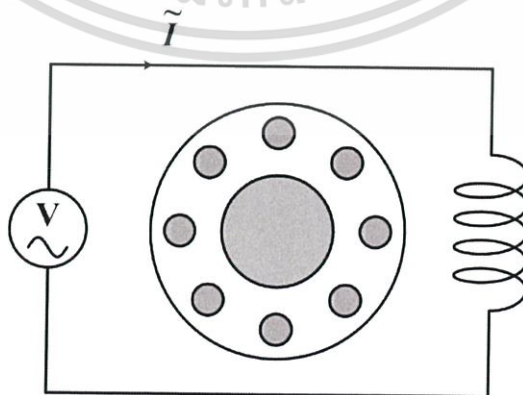
ค่าสลิปตลอดการทำงานของมอเตอร์สามารถแสดงได้ด้วยเส้นการทำงานของสลิป ดังรูปที่ 2.9



รูปที่ 2.9 แผนผังค่าสลิป

2.3 มอเตอร์เหนี่ยวนำ 1 เฟส [11]

ปริญญานิพนธ์เล่มนี้มุ่งศึกษามอเตอร์เหนี่ยวนำชนิดตัวเก็บประจุสตาร์ท-ตัวเก็บประจุรัน โครงสร้างของมอเตอร์เหนี่ยวนำ 1 เฟสมีส่วนประกอบคล้ายมอเตอร์เหนี่ยวนำ 3 เฟส โดยมีขดลวดอยู่ที่สเตเตอร์คือ ขดลวดหลัก (Main Winding) และขดลวดสตาร์ท (Auxiliary Winding) ขดลวดสเตเตอร์พันอยู่ในร่องสลิตของแกน สเตเตอร์ที่สร้างจากเหล็กสไลด์บางๆ มาประกอบกันเป็นโครงสร้างมอเตอร์แบบกรงกระรอก



รูปที่ 2.10 วงจรสมมูลของมอเตอร์เหนี่ยวนำในขณะที่ไม่ได้มีขดลวดสตาร์ท

เอกสารนี้เป็นเอกสารที่สงวนไว้สำหรับการใช้งานเพื่อการศึกษาเท่านั้น ไม่อนุญาตให้นำไปใช้ประโยชน์ด้านการค้า ไม่ว่ากรณีใดๆ ทั้งสิ้น อีกทั้งห้ามมิให้ตัดแปลงเนื้อหา และต้องอ้างอิงถึงเจ้าของเอกสารทุกครั้งที่มีการนำไปใช้

หากพิจารณาวงจรจากรูปที่ 2.10 จะพบว่า การมีขดลวดเพียงขดลวดหลัก จะส่งผลให้แรงเคลื่อนแม่เหล็กหมุน (MMF) ทางด้าน Forward และ Backward มีค่าเท่ากันซึ่งจะทำให้มอเตอร์เหนี่ยวนำ 1 เฟสไม่สามารถออกสตาร์ทด้วยตัวเองได้ที่สภาวะความเร็วเป็นศูนย์ เนื่องจากแรงบิดทางด้าน Forward และ Backward มีค่าเท่ากัน

ซึ่งเราสามารถแสดงให้อยู่ในรูปของสมการเพื่อต่อการพิจารณาได้ โดยให้กระแสขาเข้าสเตเตอร์เป็นฟังก์ชันของโคไซน์ ซึ่งจะได้แรงเคลื่อนแม่เหล็กบริเวณช่องว่างอากาศ ดังนี้

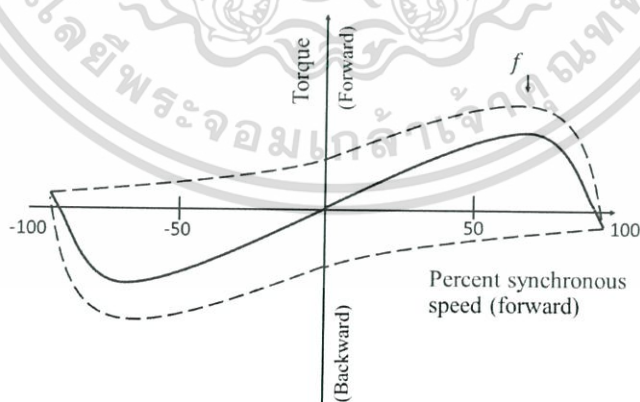
$$F_{ag} = F_{\max} \cos(\theta_{ae}) \cos(\omega_e t) \quad (2.3)$$

จากสมการข้างต้น สามารถแยกสมการออกเป็น 2 สมการ ซึ่งแสดงผลของแรงเคลื่อนแม่เหล็กทางด้าน Forward และ Backward ได้

$$F_{ag}^+ = F_{\max} \cos(\theta_{ae} - \omega_e t) \quad (2.4)$$

$$F_{ag}^- = F_{\max} \cos(\theta_{ae} + \omega_e t) \quad (2.5)$$

เมื่อพิจารณาสมการข้างต้นจะพบว่าแรงบิดที่เกิดขึ้นจะมีค่าเป็นศูนย์ เนื่องจากผลของแรงเคลื่อนแม่เหล็กไฟฟ้าทั้ง 2 ฝั่ง มีค่าเท่ากันมอเตอร์เหนี่ยวนำ 1 เฟสจึงไม่สามารถออกสตาร์ทได้ด้วยตัวเอง



รูปที่ 2.11 ผลรวมของแรงบิดด้าน Forward และ Backward

จากรูปจะเห็นได้ว่าผลรวมแรงบิดขณะสตาร์ทเป็นศูนย์

ซึ่งการที่จะทำให้มอเตอร์เหนี่ยวนำ 1 เฟสสามารถสตาร์ทด้วยตัวเองในสภาวะ

ความเร็วเป็นศูนย์ได้นั้น จำเป็นที่จะต้องมีการติดตั้งขดลวดสตาร์ท ต่อขนานเข้าไปกับขดลวดหลัก ซึ่งเอกสารนี้เป็นเอกสารที่สงวนไว้สำหรับการใช้งานเพื่อการศึกษาเท่านั้น ไม่อนุญาตให้นำไปใช้ประโยชน์ด้านการค้า ไม่ว่ากรณีใดๆ ทั้งสิ้น อีกทั้งห้ามมิให้ตัดแปลงเนื้อหา และต้องอ้างอิงถึงเจ้าของเอกสารทุกครั้งที่มีการนำไปใช้

ขดลวดสตาร์จะมีอัตราส่วนความต้านทานต่อคาร์แอกแทนซ์ ที่แตกต่างจากขดลวดหลัก เพื่อให้มุมของกระแสในขดลวดทั้ง 2 แตกต่างกันส่งผลให้แรงเคลื่อนแม่เหล็กที่เกิดขึ้นในขดลวดหลักและขดลวดสตาร์มีค่าไม่เท่ากัน ซึ่งในความเป็นจริงแล้วหลักการที่กล่าวมาข้างต้นเป็นหลักการของมอเตอร์เหนี่ยวนำ 2 เฟสแบบสมมาตร ก่อนที่กล่าวถึงหลักการของมอเตอร์เหนี่ยวนำ 1 เฟส

2.3.1 ทฤษฎีคู่สนามแม่เหล็กหมุนของมอเตอร์เหนี่ยวนำ 1 เฟส [4,11]

หลักการของทฤษฎีคู่สนามแม่เหล็กหมุน ของมอเตอร์เหนี่ยวนำ เป็นหลักการที่อธิบายการเคลื่อนที่ของแรงเคลื่อนแม่เหล็กไฟฟ้า ซึ่งเกิดขึ้นในมอเตอร์เหนี่ยวนำ กล่าวคือเมื่อมีการจ่ายแรงดันไฟฟ้าเข้าสู่ขดลวดสเตเตอร์ของมอเตอร์เหนี่ยวนำ จะทำให้เกิดการเหนี่ยวนำแรงเคลื่อนแม่เหล็กไฟฟ้า ขึ้นที่ขดลวดสเตเตอร์ค่าหนึ่ง

$$F_{ag} = \frac{4}{\pi} \left(\frac{k_w N_{ph}}{poles} \right) i_a \cos \left(\frac{poles}{2} \theta_a \right) \quad (2.6)$$

$$F_{max} = \frac{4}{\pi} \left(\frac{k_w N_{ph}}{poles} \right) i_a \quad (2.7)$$

เมื่อกระแสในขดลวดถูกกระตุ้นด้วยสัญญาณ Sinusoidal Wave ที่คาบเวลาต่างๆ และที่ความถี่ทางไฟฟ้า จะได้สมการของกระแส ดังนี้

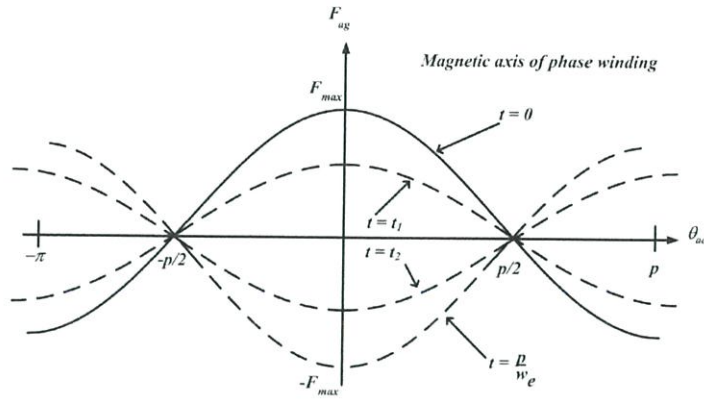
$$i_a(t) = I_a \cos \omega_e t \quad (2.8)$$

และสมการของแรงเคลื่อนแม่เหล็กไฟฟ้าที่ส่งผ่านไปยังช่องว่างอากาศ ที่ความถี่ทางไฟฟ้า และพิจารณาที่เครื่องจักรกลไฟฟ้าชนิด 2 ขั้ว จะได้สมการดังนี้

$$F_{ag} = F_{max} \cos \left(\frac{poles}{2} \theta_a \right) \cos(\omega_e t) \quad (2.9)$$

$$= F_{max} \cos(\theta_{ae}) \cos(\omega_e t) \quad (2.10)$$

เอกสารนี้เป็นเอกสารที่สงวนไว้สำหรับการใช้งานเพื่อการศึกษาเท่านั้น ไม่อนุญาตให้นำไปใช้ประโยชน์ด้านการค้าไม่ว่ากรณีใดๆ ทั้งสิ้น อีกทั้งห้ามมิให้ตัดแปลงเนื้อหา และต้องอ้างอิงถึงเจ้าของเอกสารทุกครั้งที่มีการนำไปใช้

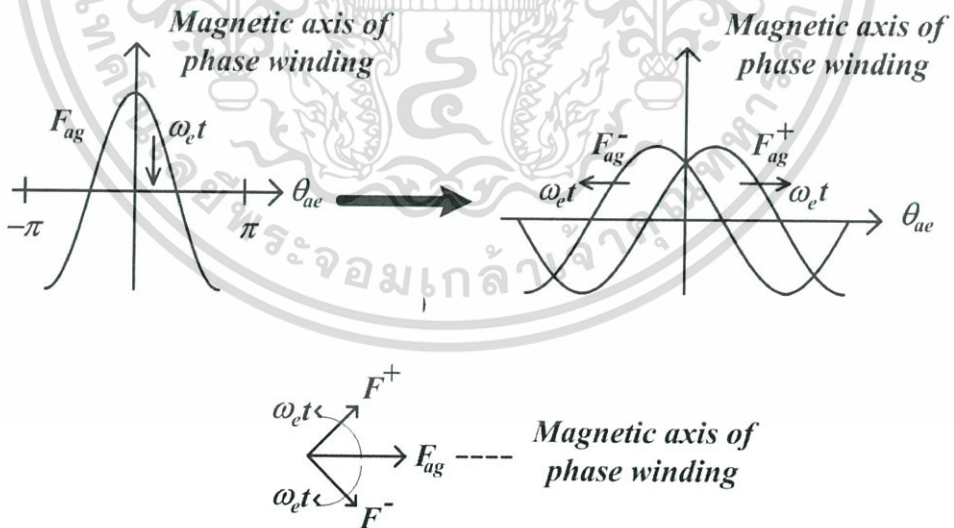


รูปที่ 2.12 การเคลื่อนที่ของแรงเคลื่อนแม่เหล็กไฟฟ้าผ่านช่องว่างอากาศของขดลวดเหนี่ยวนำ 1 เฟส ณ เวลาใดๆ

ด้วยสมการดังกล่าว เราสามารถใช้กระบวนการทางคณิตศาสตร์ในการแบ่งแยกสมการใหม่ ได้ดังต่อไปนี้

$$F_{ag} = F_{max} \cos(\theta_{ae}) \cos(\omega_e t) \tag{2.11}$$

$$F_{ag} = F_{max} \left[\frac{1}{2} \cos(\theta_{ae} - \omega_e t) + \frac{1}{2} \cos(\theta_{ae} + \omega_e t) \right] \tag{2.12}$$



รูปที่ 2.13 องค์ประกอบของแรงเคลื่อนแม่เหล็กไฟฟ้า F_{ag} แบ่งออกเป็น 2 องค์ประกอบ คือการเคลื่อนที่ของเส้นแรงแม่เหล็กด้านบวก (Positive Travelling Wave) และการเคลื่อนที่ของเส้นแรงแม่เหล็กด้านลบ (Negative Travelling Wave)

เอกสารนี้เป็นเอกสารที่สงวนไว้สำหรับการใช้งานเพื่อการศึกษาเท่านั้น ไม่อนุญาตให้นำไปใช้ประโยชน์ด้านการค้า ไม่ว่ากรณีใดๆ ทั้งสิ้น อีกทั้งห้ามมิให้ตัดแปลงเนื้อหา และต้องอ้างอิงถึงเจ้าของเอกสารทุกครั้งที่มีการนำไปใช้

ดังนั้น สามารถเขียนผลรวมของการเคลื่อนที่ของเส้นแรงแม่เหล็กด้านบวก (Positive Travelling Wave) และด้านลบได้ (Negative Travelling Wave) ซึ่งขนาดของแรงเคลื่อนแม่เหล็กไฟฟ้าของทั้งคู่มีค่าเท่ากัน และหมุนด้วยความเร็วซิงโครนัส (Synchronous Speed) การเคลื่อนที่ของเส้นแรงแม่เหล็กด้านบวก สามารถเขียนให้อยู่ในรูปดังนี้

$$F_{ag}^+ = F_{\max} \left[\frac{1}{2} \cos(\theta_{ae} - \omega_e t) \right] \quad (2.13)$$

และการเคลื่อนที่ของเส้นแรงแม่เหล็กด้านลบ สามารถเขียนให้อยู่ในรูปดังนี้

$$F_{ag}^- = F_{\max} \left[\frac{1}{2} \cos(\theta_{ae} + \omega_e t) \right] \quad (2.14)$$

การที่แรงเคลื่อนแม่เหล็กไฟฟ้า ที่สเตเตอร์ถูกแบ่งออกเป็น 2 องค์ประกอบนั้น มีผลให้ในแต่ละองค์ประกอบจะเกิดการเหนี่ยวนำกระแสไฟฟ้าขึ้นที่โรเตอร์และจะสร้างแรงบิดในทิศทางตรงกันข้ามกัน ผลลัพธ์ลักษณะดังกล่าวจะเกิดขึ้นเช่นเดียวกับมอเตอร์หลายเฟสสมมาตร

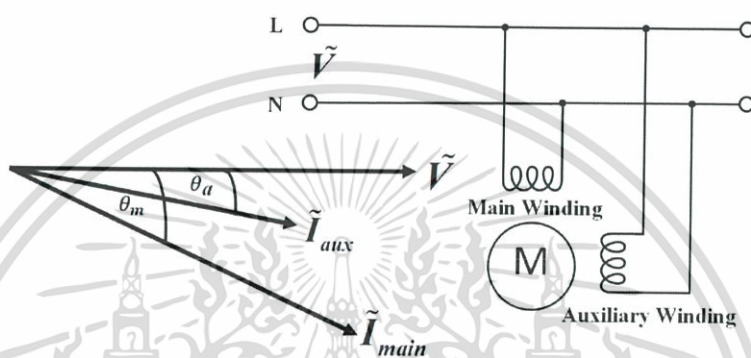
2.3.2 ประเภทของมอเตอร์เหนี่ยวนำ 1 เฟส [11]

ซึ่งโดยทั่วไปมอเตอร์เหนี่ยวนำ 1 เฟสเมื่อจำแนกสามารถแบ่งตามลักษณะของหลักการทำงานออกเป็น 4 ชนิด คือ

1. มอเตอร์ชนิดแยกเฟส (Split-Phase Motor)
2. มอเตอร์ชนิดตัวเก็บประจุสตาร์ท (Capacitor Start Motor)
3. มอเตอร์ชนิดตัวเก็บประจุนั้น (Capacitor Run Motor)
4. มอเตอร์ชนิดตัวเก็บประจุสตาร์ท-ตัวเก็บประจุนั้น (Capacitor Start-Capacitor Run Motor)

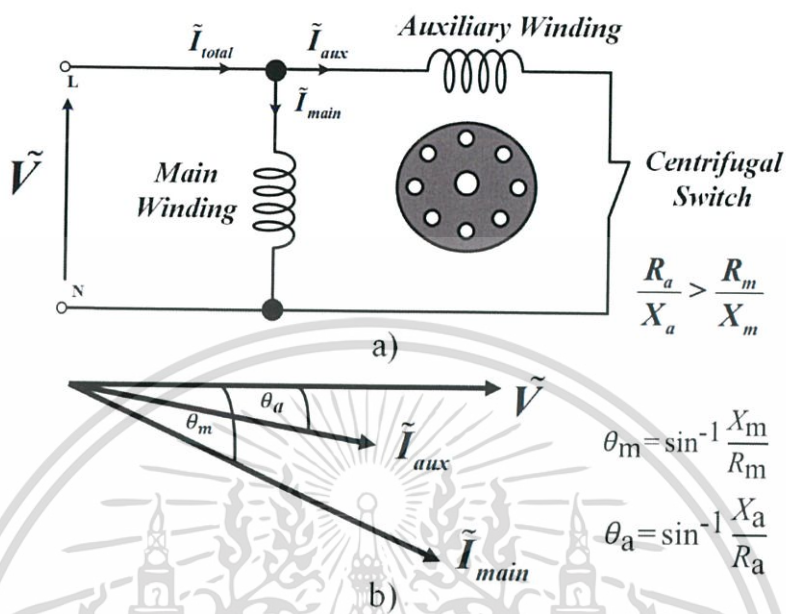
2.3.2.1 มอเตอร์เหนี่ยวนำ 1 เฟสชนิดแยกเฟสออกจากกัน มีส่วนประกอบคือ

1.) สเตเตอร์ มีขดลวด 2 ชุด ชุดหนึ่งมีไว้สำหรับใช้งานตามปกติเรียกว่าขดลวดหลัก ชุดที่สองเป็นชุดสำหรับทำให้เริ่มหมุนได้คือขดลวดสตาร์ท ขดลวดชุดที่สองนี้จะพันลงในสล็อตทำมุมห่างไปจากขดลวดหลัก 90° ทางไฟฟ้า เพื่อให้เกิดสนามแม่เหล็กหมุนขณะสตาร์ท ซึ่งผลของอัตราส่วนของอิมพีแดนซ์ที่มีต่อขดลวดหลักและขดลวดสตาร์ทนั้น มีผลต่อการเกิดมูระหว่างแรงดันและกระแสของขดลวดนั้น ดังรูปที่ 2.14

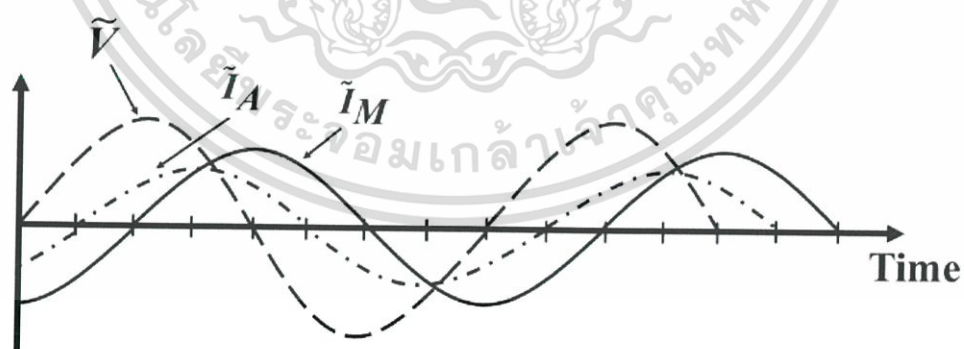


รูปที่ 2.14 ไดอะแกรมลักษณะของมอเตอร์เหนี่ยวนำไฟฟ้า 1 เฟสชนิดแยกเฟสออกจากกัน

เมื่อ $\theta_m \neq \theta_a$ จะทำให้เกิดคู่สนามแม่เหล็กหมุน ที่ขดลวดสเตเตอร์และจะทำให้เกิดการเหนี่ยวนำแรงเคลื่อนแม่เหล็กไฟฟ้า และเกิดแรงบิดมอเตอร์จึงหมุนได้ วิธีการทำให้ความต้านทานของขดลวดสตาร์ทมากกว่าของขดลวดหลัก ปัจจุบันทำโดยการพันขดลวดสตาร์ท ด้วยเส้นลวดขนาดเล็กกว่าขดลวดหลัก ปกติแล้วขดลวดสตาร์ทจะต่ออนุกรมอยู่กับสวิตช์แรงเหวี่ยง (Centrifugal Switch) ซึ่งจะทำงานที่ 75 เปอร์เซ็นต์ของความเร็วซิงโครนัส (Synchronous Speed) ดังรูปที่ 2.15 และรูปที่ 2.16

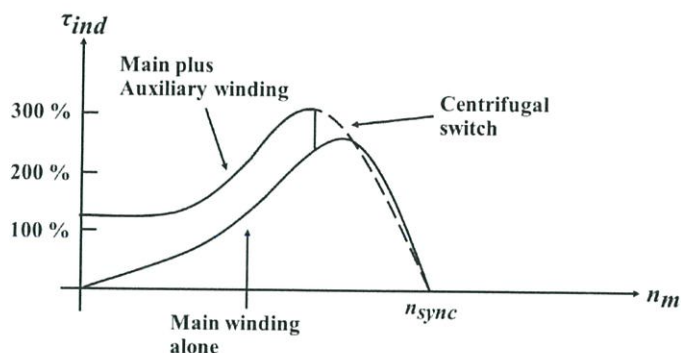


รูปที่ 2.15 ไดอะแกรมของมอเตอร์เหนี่ยวนำ 1 เฟส
 a) ไดอะแกรมลักษณะของมอเตอร์เหนี่ยวนำ 1 เฟสชนิดแยกเฟสออกจากกัน
 b) ไดอะแกรมกระแสของมอเตอร์ขณะสตาร์ท



รูปที่ 2.16 กราฟการนำหน้าของขดลวดหลัก
 ต่อขดลวดสตาร์ท

เอกสารนี้เป็นเอกสารที่สงวนไว้สำหรับการใช้งานเพื่อการศึกษาเท่านั้น ไม่อนุญาตให้นำไปใช้ประโยชน์ด้านการค้า
 ไม่ว่ากรณีใดๆ ทั้งสิ้น อีกทั้งห้ามมิให้ตัดแปลงเนื้อหา และต้องอ้างอิงถึงเจ้าของเอกสารทุกครั้งที่มีการนำไปใช้



รูปที่ 2.17 ความสัมพันธ์ของแรงบิดของขดลวดหลัก
และขดลวดสตาร์ท

มอเตอร์เหนี่ยวนำ 1 เฟสประเภทนี้ มีแรงบิดเริ่มต้นไม่สูงมากนักและมีกระแสขณะสตาร์ทค่อนข้างต่ำ จึงใช้ในงานที่ไม่ต้องการแรงบิดเริ่มต้นสูงๆ เช่น พัดลม (Blower) และปั้มน้ำชนิดแรงเหวี่ยง (Centrifugal Pump)

2.) โรเตอร์ เป็นแบบกรงกระรอกธรรมดา โดยที่แกนของตัวหมุนจะมีสวิตซ์แรงเหวี่ยงติดอยู่ด้วย เพื่อตัดขดลวดสตาร์ทออกไปหลังจากที่มอเตอร์มีความเร็วประมาณ 75% ของความเร็วซิงโครนัส

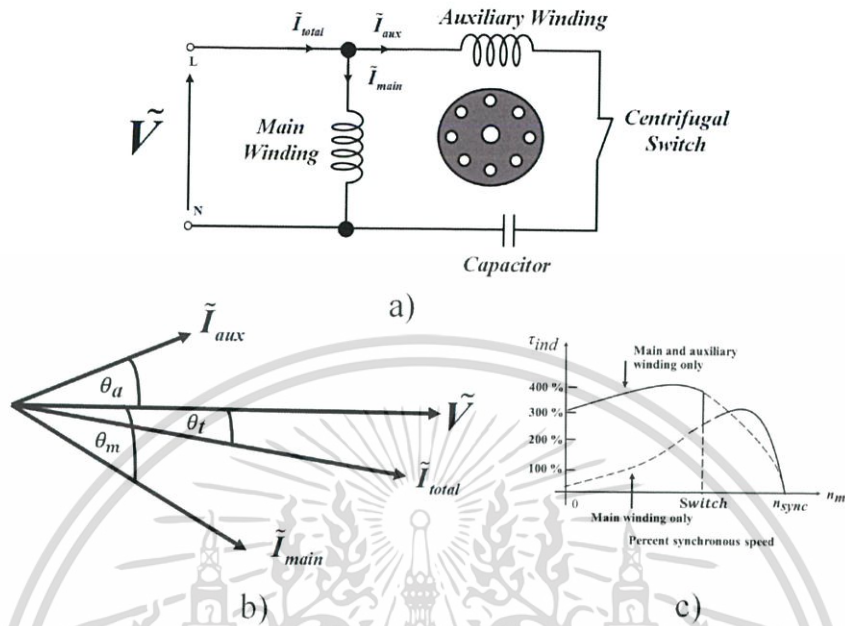
2.3.2.2 มอเตอร์ชนิดตัวเก็บประจุ

ตัวเก็บประจุถูกใช้งานในการเพิ่มความสามารถในการเริ่มขับแรงบิดและในการเพิ่มสมรรถนะในการขับเคลื่อนของมอเตอร์ ทั้งนี้การเลือกขนาดของตัวเก็บประจุและวิธีการเชื่อมต่อเข้าสู่มอเตอร์ก็เป็นส่วนสำคัญเช่นกัน ในวิทยานิพนธ์เล่มนี้จะเน้นศึกษาพฤติกรรมของมอเตอร์ชนิดตัวเก็บประจุเป็นหลัก

2.3.2.2.1 มอเตอร์ชนิดตัวเก็บประจุสตาร์ท

มอเตอร์ชนิดนี้เป็นส่วนหนึ่งของมอเตอร์แบบแยกเฟสออกจากกัน มีความแตกต่างตรงที่มีการนำตัวเก็บประจุมาต่ออนุกรมกับขดลวดสตาร์ท ซึ่งมีสวิตซ์แรงเหวี่ยงเป็นอุปกรณ์ที่ทำหน้าที่เป็นสวิตซ์ตัดวงจรเมื่อความเร็วมอเตอร์มีความเร็วประมาณ 75% ของความเร็วซิงโครนัส ดังรูปที่ 2.18

เอกสารนี้เป็นเอกสารที่สงวนไว้สำหรับการใช้งานเพื่อการศึกษาเท่านั้น ไม่อนุญาตให้นำไปใช้ประโยชน์ด้านการค้าไม่ว่ากรณีใดๆ ทั้งสิ้น อีกทั้งห้ามมิให้ตัดแปลงเนื้อหา และต้องอ้างอิงถึงเจ้าของเอกสารทุกครั้งที่มีการนำไปใช้



รูปที่ 2.18 ไดอะแกรมในด้านต่างๆของมอเตอร์ชนิดตัวประกอบจุสตาร์ท

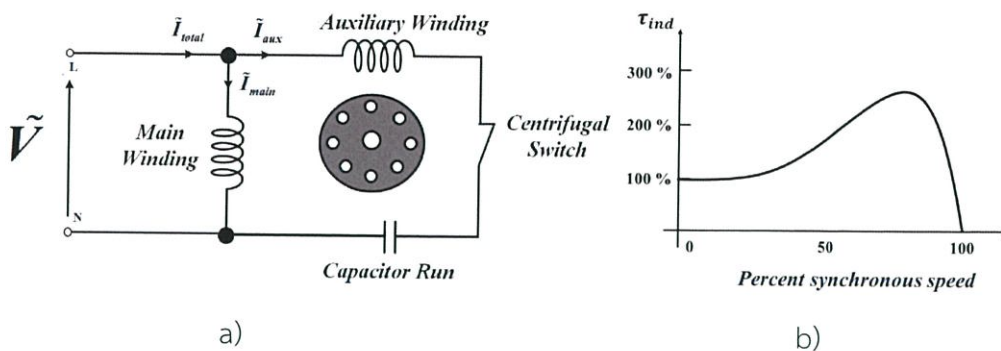
a) ไดอะแกรมวงจรของมอเตอร์ชนิดตัวเก็บประจุสตาร์ท

b) ไดอะแกรมของมุมของกระแส I_a และ I_m

c) กราฟของแรงบิดและความเร็วเชิงโคโรนัส

2.3.2.2.2 มอเตอร์ชนิดตัวเก็บประจุนั้น

มอเตอร์ชนิดนี้จะนำตัวเก็บประจุนั้นขึ้นต่ออนุกรมเข้าสู่ขดลวดสตาร์ท ซึ่งจะให้ลักษณะของความสัมพันธ์ แรงบิดและความเร็ว (Torque - Speed Characteristic) ที่ดีขึ้น โดยตัวเก็บประจุนั้นขึ้นในขดลวดสตาร์ทจะมีขนาดเล็กกว่าเมื่อเทียบกับตัวเก็บประจุนั้นสตาร์ท และจะอยู่ในวงจรของมอเตอร์โดยไม่ถูกตัดออกหลังจากมอเตอร์หมุนแล้ว ซึ่งมอเตอร์ชนิดนี้จะมีความง่ายกว่ามอเตอร์ชนิดตัวเก็บประจุสตาร์ท เนื่องจากไม่มีการเชื่อมต่อกับสวิตช์แรงเหวี่ยง ในขณะที่ขั้วโพลดปกติจะมีประสิทธิภาพและค่าตัวประกอบกำลังที่ดีกว่า รวมทั้งมีลักษณะแรงบิดที่เรียกว่ามอเตอร์ชนิดอื่น อย่างไรก็ตามมอเตอร์ชนิดนี้จะให้แรงบิดเริ่มต้นที่ต่ำกว่ามาก ดังรูปที่ 2.19

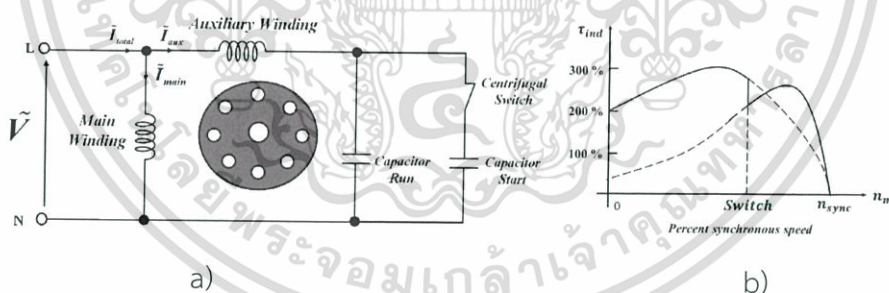


รูปที่ 2.19 ไตอะแกรมในด้านต่างๆของมอเตอร์ชนิดตัวเก็บประจุรัน

- ไดอะแกรมวงจรของมอเตอร์ตัวเก็บประจุชนิดรัน
- ความสัมพันธ์แรงบิดและความเร็ว

2.3.2.2.3 มอเตอร์ชนิดตัวเก็บประจุสตาร์ท-ตัวเก็บประจุรัน

มอเตอร์ชนิดนี้จะนำตัวเก็บประจุสตาร์ทต่ออนุกรมเข้าสู่สวิทช์แรงเหวี่ยง และตัวเก็บประจุรันต่ออนุกรมเข้าสู่ขดลวดสตาร์ท โดยตัวเก็บประจุทั้งสองจะต่อขนานกัน ดังรูปที่ 2.20 ตัวเก็บประจุสตาร์ทจะถูกนำมาใช้ในการเพิ่มแรงบิดขณะเริ่มต้น และตัวเก็บประจุนรันถูกนำมาใช้งานในการช่วยเพิ่มประสิทธิภาพให้แก่มอเตอร์ ทำให้มอเตอร์ชนิดนี้มีประสิทธิภาพที่ดีที่สุด



รูปที่ 2.20 ไตอะแกรมในด้านต่างๆของมอเตอร์ชนิดตัวเก็บประจุสตาร์ท-ตัวเก็บประจุรัน

- ไดอะแกรมของวงจรมอเตอร์ชนิดตัวเก็บประจุสตาร์ท-ตัวเก็บประจุรัน
- กราฟแสดงความสัมพันธ์ แรงบิดและความเร็ว

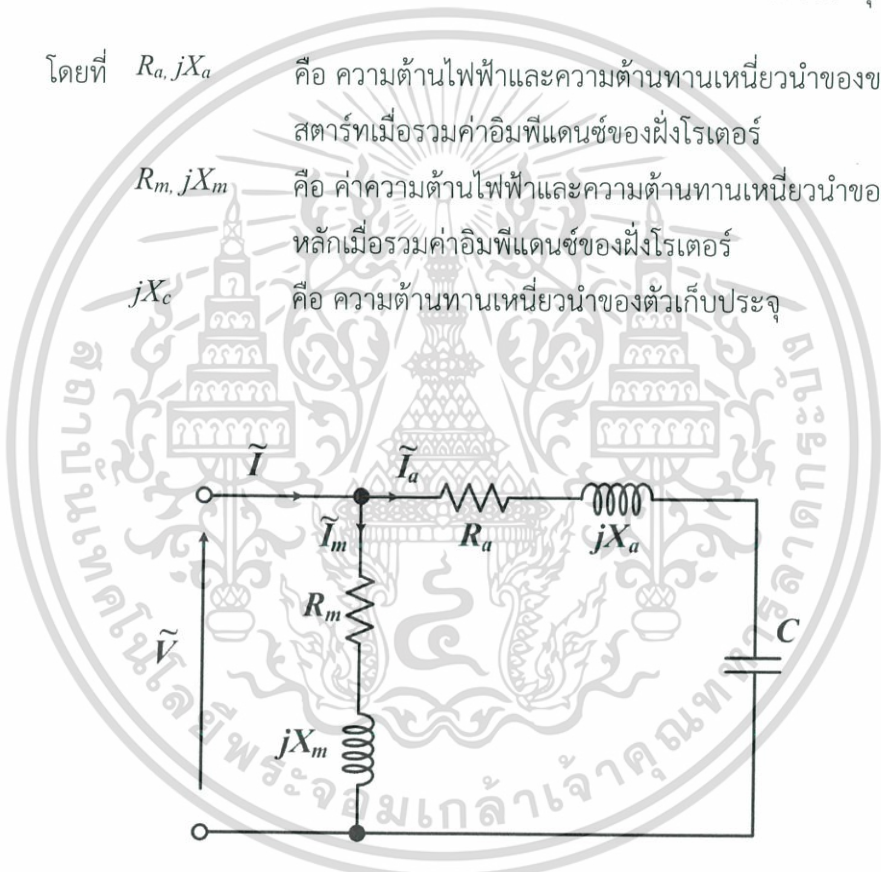
เอกสารนี้เป็นเอกสารที่สงวนไว้สำหรับการใช้งานเพื่อการศึกษาเท่านั้น ไม่อนุญาตให้นำไปใช้ประโยชน์ด้านการค้า ไม่ว่ากรณีใดๆ ทั้งสิ้น อีกทั้งห้ามมิให้ตัดแปลงเนื้อหา และต้องอ้างอิงถึงเจ้าของเอกสารทุกครั้งที่มีการนำไปใช้

2.3.3 แผนภาพวงกลม [5,9]

แผนภาพวงกลม (Circle Diagram) คือ แผนภาพเฟสเซอร์ที่แสดงขนาดและมุมของกระแสที่ขดลวดต่างๆของมอเตอร์โดยเทียบกับแรงดันไฟฟ้า แผนภาพวงกลมถูกใช้ในการหาความสัมพันธ์ของกระแสที่ขดลวดซึ่งมีประโยชน์อย่างมากในการหาค่าตัวเก็บประจุที่เหมาะสมที่สุด ที่ทำให้ได้แรงบิดและแรงบิดสูงสุดต่อกระแสขาเข้าสูงที่สุด

พื้นฐานของแผนภาพวงกลมคือการที่นำเวกเตอร์ของกระแสที่ขดลวดต่างๆมาต่อกัน จากรูปที่ 2.22 แสดงแผนภาพวงจรรอย่างง่ายของมอเตอร์เหนี่ยวนำชนิดใช้ตัวเก็บประจุ

- โดยที่ R_a, jX_a คือ ความต้านไฟฟ้าและความต้านทานเหนี่ยวนำของขดลวดสตาร์ทเมื่อรวมค่าอิมพีแดนซ์ของฝั่งโรเตอร์
- R_m, jX_m คือ ค่าความต้านไฟฟ้าและความต้านทานเหนี่ยวนำของขดลวดหลักเมื่อรวมค่าอิมพีแดนซ์ของฝั่งโรเตอร์
- jX_c คือ ความต้านทานเหนี่ยวนำของตัวเก็บประจุ



รูปที่ 2.21 วงจรสมมูลในสภาวะคงตัวของมอเตอร์เหนี่ยวนำ 1 เฟส ชนิดตัวเก็บประจุน

แผนภาพวงกลมของมอเตอร์เหนี่ยวนำ 1 เฟสที่สภาวะหยุดนิ่งแสดงอยู่ในรูปที่ 2.22 กระแสที่ขดลวดหลัก $\tilde{I}_m = \overline{OA}$ จะตามหลังแรงดัน (V) ด้วยมุม $\hat{\theta}_m$ กระแสที่ขดลวดสตาร์ท $\tilde{I}_a = \overline{OC}$ จะนำหน้าแรงดัน (V) ด้วยมุม $\hat{\theta}_a$ ส่วนกระแสอินพุต $\tilde{I}_m + \tilde{I}_a = \overline{OC}$ ถ้าขนาดของ

$jX_c = jX_a$ จะทำให้กระแสที่ขดลวดสตาร์ทมีค่ามากที่สุด มีขนาดเท่ากับ $\frac{V}{R_a}$ และมุมเฟสตรงกันกับ เอกสารนี้เป็นเอกสารที่สงวนไว้สำหรับการใช้งานเพื่อการศึกษาเท่านั้น ไม่อนุญาตให้ไปใช้ประโยชน์ด้านการค้า ไม่ว่าจะกรณีใดๆ ทั้งสิ้น อีกทั้งห้ามมิให้ตัดแปลงเนื้อหา และต้องอ้างอิงถึงเจ้าของเอกสารทุกครั้งที่มีการนำไปใช้

$$\begin{aligned}
&= \left(\frac{1 - \sin \theta_m}{1 + \sin \theta_m} \right)^{\frac{1}{2}} \\
&= \left(\frac{1 - (X_m / |Z_m|)}{1 + (X_m / |Z_m|)} \right)^{\frac{1}{2}} \\
&= \left(\frac{|Z_m| - X_m}{|Z_m| + X_m} \right)^{\frac{1}{2}} \\
&= \frac{R_m}{|Z_m| + X_m} \tag{2.16}
\end{aligned}$$

และ

$$\tan \theta_a = \frac{X_c - X_a}{R_a} \tag{2.17}$$

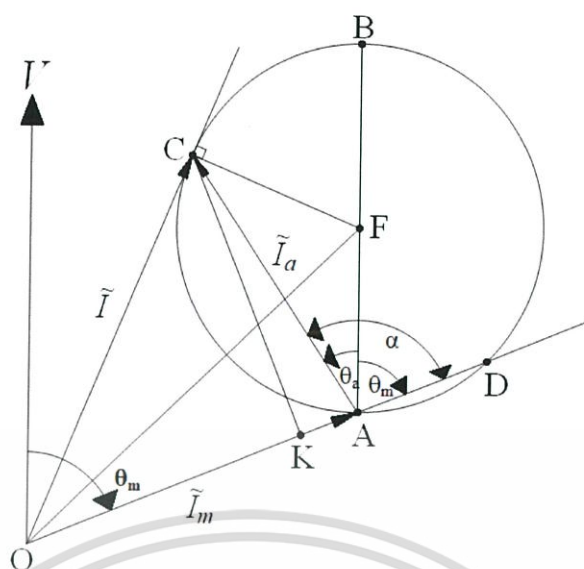
จากสมการที่ (2.16) และ (2.17) จะได้สมการที่สามารถใช้คำนวณหาค่า X_c ที่ทำให้แรงบิดสตาร์ทของมอเตอร์เหนี่ยวนำมีค่ามากที่สุด คือ

$$X_c = X_a + \frac{R_a R_m}{|Z_m| + X_m} \tag{2.18}$$

$$C = \frac{1}{\omega X_c} \tag{2.19}$$

2.3.3.2 การคำนวณหาค่าตัวประจุที่ทำให้แรงบิดเริ่มต้นต่อกระแสมากที่สุด

จากแผนภาพเฟสเซอร์ของมอเตอร์เหนี่ยวนำตามรูปที่ 2.23 ขนาดของกระแสจะถูกแสดงผ่านเส้นตรง \overline{OC} และขนาดของแรงบิดเริ่มต้นจะถูกแสดงผ่านเส้นตรง \overline{CK} ค่าแรงบิดต่อกระแส ($\overline{CK} / \overline{OC}$) จะมีค่ามากที่สุดเมื่อเส้นตรงสัมผัสกับวงกลม $ABCD$ ซึ่งจะเกิดขึ้นได้เมื่อมุม \widehat{OCF} มีค่าเท่ากับ 90°



รูปที่ 2.23 แผนภาพเฟสเซอร์ของมอเตอร์ที่มีแรงบิดเริ่มต้นต่อกระแสมากที่สุด

จากแผนภาพเฟสเซอร์และใช้ความสัมพันธ์ทางเรขาคณิต จะสามารถสร้างสมการ
เพื่อใช้ในการคำนวณหาค่าตัวเก็บประจุที่ทำให้ได้แรงบิดเริ่มต้นต่อกระแสมากที่สุดได้ดังนี้

$$\begin{aligned}
 I^2 &= \overline{OC}^2 \\
 &= \overline{OF}^2 - \overline{AF}^2 \\
 &= \overline{OA}^2 + \overline{AF}^2 - 2\overline{OA}\overline{AF} \cos \angle OCF - \overline{AF}^2 \\
 &= \overline{OA}^2 + 2\overline{OA}\overline{AF} \cos \theta_m \\
 &= I_m^2 + 2|I_m| \frac{V}{2R_a} \frac{R_m}{Z_m} \\
 &= I_m^2 \left(1 + \frac{R_m}{R_a} \right)
 \end{aligned}$$

$$\frac{I^2}{I_m^2} = \frac{R_m + R_a}{R_a} \quad (2.20)$$

และจากความสัมพันธ์ของค่ากระแส

$$\tilde{I}_m = \frac{V}{Z_m}$$

$$\tilde{I}_a = \frac{V}{Z_a}$$

เอกสารนี้เป็นเอกสารที่สงวนไว้สำหรับการใช้งานเพื่อการศึกษาเท่านั้น ไม่อนุญาตให้นำไปใช้ประโยชน์ด้านการค้า
ไม่ว่ากรณีใดๆ ทั้งสิ้น อีกทั้งห้ามมิให้ตัดแปลงเนื้อหา และต้องอ้างอิงถึงเจ้าของเอกสารทุกครั้งที่มีการนำไปใช้

ดังนั้น

$$\begin{aligned}\tilde{I} &= \tilde{I}_a + \tilde{I}_m = V \frac{Z_a + Z_m}{Z_a Z_m} \\ \frac{\tilde{I}}{\tilde{I}_m} &= \frac{Z_a + Z_m}{Z_a} \\ \frac{I^2}{I_m^2} &= \frac{|Z_a + Z_m|^2}{|Z_a|^2}\end{aligned}\quad (2.21)$$

จากสมการ (2.20) และ (2.21)

$$\begin{aligned}\frac{R_a + R_m}{R_a} &= \frac{|Z_a + Z_m|^2}{|Z_a|^2} \\ &= \frac{(R_a + R_m)^2 + (X_m - X_A)^2}{R_a^2 + X_A^2}\end{aligned}\quad (2.22)$$

เมื่อ $X_A = X_c - X_a$ จากสมการที่ 2.22 ซึ่งค่าของ X_A เป็นสมการกำลังสอง ทำให้สามารถหาคำตอบของสมการได้เป็น

$$X_A = \frac{-X_m R_a \pm |Z_m| \sqrt{R_a (R_a + R_m)}}{R_m}\quad (2.23)$$

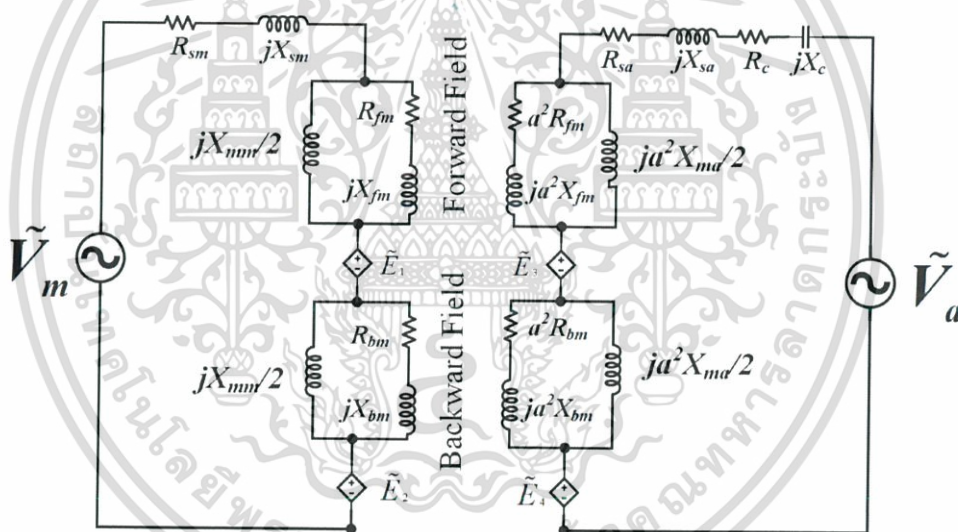
เมื่อกระแสที่ขดลวดสตาร์ททำหน้าที่แรงดัน ค่าความต้านทานเหนี่ยวนำของขดลวดสตาร์ท (X_A) จะมีค่าเป็นบวก ดังนั้น

$$\begin{aligned}X_A &= X_c - X_a \\ &= \frac{-X_m R_a + |Z_m| \sqrt{R_a (R_a + R_m)}}{R_m} \\ X_c &= X_a + \frac{-X_m R_a + |Z_m| \sqrt{R_a (R_a + R_m)}}{R_m}\end{aligned}\quad (2.24)$$

เอกสารนี้เป็นเอกสารที่สงวนไว้สำหรับการใช้งานเพื่อการศึกษาเท่านั้น ไม่อนุญาตให้นำไปใช้ประโยชน์ด้านการค้า ไม่ว่ากรณีใดๆ ทั้งสิ้น อีกทั้งห้ามมิให้ตัดแปลงเนื้อหา และต้องอ้างอิงถึงเจ้าของเอกสารทุกครั้งที่มีการนำไปใช้

2.4 แบบจำลองทางคณิตศาสตร์และวงจรสมมูลของมอเตอร์เหนี่ยวนำ 1 เฟส [2]

ในการควบคุมการทำงานของมอเตอร์เหนี่ยวนำ 1 เฟส สิ่งแรกที่ต้องพิจารณาคือแบบจำลองหรือสมการทางคณิตศาสตร์ของมอเตอร์เหนี่ยวนำ 1 เฟส เนื่องจากสมการดังกล่าวเป็นสิ่งที่จำเป็นต่อการนำไปใช้ในการวิเคราะห์เพื่อศึกษาพฤติกรรมทางพลวัตของมอเตอร์เหนี่ยวนำ 1 เฟสและยังถูกนำไปใช้ในการควบคุมอีกด้วย สำหรับสมการทางคณิตศาสตร์ของมอเตอร์เหนี่ยวนำ 1 เฟส ชนิดแยกเฟสออกจากกัน มีลักษณะคล้ายคลึงกับสมการทางคณิตศาสตร์ของมอเตอร์เหนี่ยวนำ 1 เฟสชนิดตัวเก็บประจุสตาร์ท-ตัวเก็บประจุน ซึ่งในหัวข้อนี้จะมีการอธิบายสมการเหล่านี้ ซึ่งสนามแม่เหล็กจะมีการกระจายตัวแบบ Sinusoidal และไม่คิดผลของการอิ่มตัวและความสูญเสียในแกนเหล็ก ซึ่งได้มีการศึกษามาจากการประมาณค่าพารามิเตอร์ของมอเตอร์เหนี่ยวนำ 1 เฟสชนิดตัวเก็บประจุนิตรัน



รูปที่ 2.24 วงจรสมมูลของมอเตอร์เหนี่ยวนำ 1 เฟส
ชนิดตัวเก็บประจุนิตรัน

การเหนี่ยวนำของแรงเคลื่อนแม่เหล็กไฟฟ้าในขดลวดรีน ของมอเตอร์เหนี่ยวนำ 1 เฟสชนิดตัวเก็บประจุนิตรัน ด้วย Forward และ Backward Revolving Fields เป็นไปสมการดังนี้

$$\tilde{E}_{fm} = \tilde{I}_m Z_{fm} \quad (2.25)$$

$$\tilde{E}_{bm} = \tilde{I}_m Z_{bm} \quad (2.26)$$

เอกสารนี้เป็นเอกสารที่สงวนไว้สำหรับการใช้งานเพื่อการศึกษาเท่านั้น ไม่อนุญาตให้นำไปใช้ประโยชน์ด้านการค้า ไม่ว่ากรณีใดๆ ทั้งสิ้น อีกทั้งห้ามมิให้ตัดแปลงเนื้อหา และต้องอ้างอิงถึงเจ้าของเอกสารทุกครั้งที่มีการนำไปใช้

การเหนี่ยวนำของแรงเคลื่อนแม่เหล็กไฟฟ้าในขดลวดสตาร์ทของมอเตอร์เหนี่ยวนำ

1 เฟสชนิดตัวเก็บประจุรันด้วย Forward และ Backward Revolving Fields เป็นไปสมการดังนี้

$$\tilde{E}_{fa} = \tilde{I}_a a^2 Z_{fm} \quad (2.27)$$

$$\tilde{E}_{ba} = \tilde{I}_a a^2 Z_{bm} \quad (2.28)$$

เพราะว่าขดลวดหลักและขดลวดสตาร์ทวางทำมุมกัน 90° ทางไฟฟ้า ส่งผลขดลวดสตาร์ทที่มีการเหนี่ยวนำของแรงเคลื่อนแม่เหล็กไฟฟ้าทำมุมล้าหลังขดลวดรัน 90° ทางไฟฟ้าทั้ง Forward และ Backward Revolving Fields ด้วยเช่นกัน ดังนั้นขดลวดรันมีค่า $\frac{1}{a}$ เท่าของขดลวดสตาร์ท ดังสมการต่อไปนี้

$$\tilde{E}_1 = -j \frac{\tilde{E}_{fa}}{a} \quad (2.29)$$

$$\tilde{E}_2 = j \frac{\tilde{E}_{ba}}{a} \quad (2.30)$$

$$\tilde{E}_3 = ja \tilde{E}_{fm} \quad (2.31)$$

$$\tilde{E}_4 = -ja \tilde{E}_{bm} \quad (2.32)$$

จาก Kirchhoff's Voltage Law เราสามารถหาสมการแรงดันได้ดังต่อไปนี้

$$\tilde{V}_m = \tilde{I}_m Z_{sm} + \tilde{E}_{fm} + \tilde{E}_{bm} + \tilde{E}_1 + \tilde{E}_2 \quad (2.33)$$

$$\tilde{V}_a = \tilde{I}_a (Z_{sa}^* + Z_c) + \tilde{E}_{fa} + \tilde{E}_{ba} + \tilde{E}_3 + \tilde{E}_4 \quad (2.34)$$

เมื่อ Z_{sa}^* คือค่าอิมพีแดนซ์ของขดลวดสตาร์ทที่ถูกแปลงค่ามาฝั่งขดลวดหลัก

$$Z_{sa}^* = R_{sa} + ja^2 X_{sm} \quad (2.35)$$

จัดรูปสมการใหม่เพื่อลดรูปสมการได้ดังต่อไปนี้

$$Z_{11} = Z_{sm} + Z_{fm} + Z_{bm} \quad (2.36)$$

$$Z_{12} = -ja [Z_{fm} - Z_{bm}] \quad (2.37)$$

$$Z_{21} = ja [Z_{fm} - Z_{bm}] \quad (2.38)$$

$$Z_{22} = Z_{sa}^* + Z_c + a^2 [Z_{fm} + Z_{bm}] \quad (2.39)$$

เอกสารนี้เป็นเอกสารที่สงวนไว้สำหรับการใช้งานเพื่อการศึกษาเท่านั้น ไม่อนุญาตให้นำไปใช้ประโยชน์ด้านการค้าไม่ว่ากรณีใดๆ ทั้งสิ้น อีกทั้งห้ามมิให้ตัดแปลงเนื้อหา และต้องอ้างอิงถึงเจ้าของเอกสารทุกครั้งที่มีการนำไปใช้

ได้สมการแรงดันไฟฟ้าใหม่ดังนี้

$$\tilde{V}_m = \tilde{I}_m Z_{11} + \tilde{I}_a Z_{12} \quad (2.40)$$

$$\tilde{V}_a = \tilde{I}_m Z_{21} + \tilde{I}_a Z_{22} \quad (2.41)$$

กระแสไฟฟ้าในขดลวดหลักและขดลวดสตาร์ท มีค่าดังต่อไปนี้

$$\tilde{I}_m = \frac{\tilde{V}_m (Z_{22} - Z_{12})}{Z_{11} Z_{22} - Z_{12} Z_{21}} \quad (2.42)$$

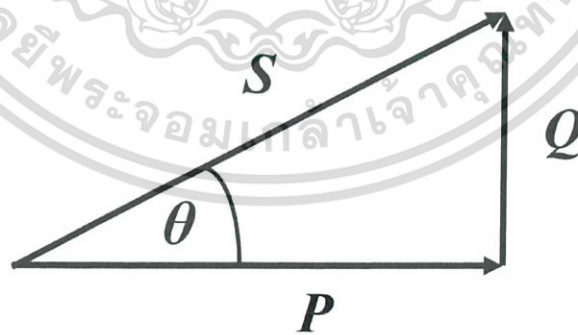
$$\tilde{I}_a = \frac{\tilde{V}_a (Z_{11} - Z_{21})}{Z_{11} Z_{22} - Z_{12} Z_{21}} \quad (2.43)$$

กระแสไฟฟ้ารวมสามารถคำนวณจาก

$$\tilde{I}_L = \text{Re} [\tilde{I}_m + \tilde{I}_a] \quad (2.44)$$

จะสามารถหาตัวประกอบกำลังได้

$$pf. = \cos \theta \quad (2.45)$$



รูปที่ 2.25 สามเหลี่ยมกำลังไฟฟ้า (Power Triangle)

เมื่อ θ คือมุมระหว่างแรงดันไฟฟ้าและกระแสไฟฟ้ารวม

เอกสารนี้เป็นเอกสารที่สงวนไว้สำหรับการใช้งานเพื่อการศึกษาเท่านั้น ไม่อนุญาตให้นำไปใช้ประโยชน์ด้านการค้าไม่ว่ากรณีใดๆ ทั้งสิ้น อีกทั้งห้ามมิให้ตัดแปลงเนื้อหา และต้องอ้างอิงถึงเจ้าของเอกสารทุกครั้งที่มีการนำไปใช้

2.5 กำลังไฟฟ้าและการสูญเสียในมอเตอร์เหนี่ยวนำ 1 เฟส [1,8]

2.5.1 กำลังไฟฟ้า

วงจรไฟฟ้ากระแสสลับมีกำลังไฟฟ้า 3 ชนิด ปกติจะคำนวณเฉพาะขนาด มีรายละเอียดดังนี้

2.5.1.1 กำลังไฟฟ้าจริง (Real Power, (P)) หน่วยเป็น W

คำนวณได้จาก
$$P = VI \cos \theta \quad (2.46)$$

2.5.1.2 กำลังไฟฟ้าเสมือน (Reactive Power, (Q)) หน่วยเป็น var

คำนวณได้จาก
$$Q = VI \sin \theta \quad (2.47)$$

2.5.1.3 กำลังไฟฟ้าปรากฏ (Apparent Power, (S)) หน่วยเป็น VA

คำนวณได้จาก
$$S = VI = P + jQ \quad (2.48)$$

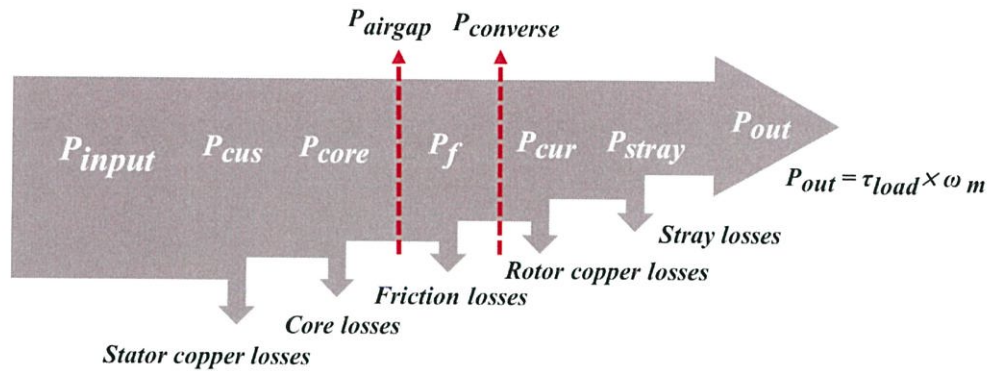
เมื่อ θ คือมุมระหว่าง V กับ I ไม่เจาะจงว่ามุมจะนำหน้า หรือล่าหลัง เป็นมุมเดียวกับ θ ในสามเหลี่ยมกำลังไฟฟ้า ดังรูปที่ 2.25

2.5.1.4 ค่าตัวประกอบกำลังไฟฟ้า (Power Factor) หรือ PF. มีค่าระหว่าง 0 ถึง 1

คำนวณได้จาก
$$pf. = \frac{P}{S} = \cos \theta \quad (2.49)$$

ซึ่งกำลังไฟฟ้าจริงคือกำลังไฟฟ้าที่ทำให้เกิดขึ้นแล้วนำไปใช้ประโยชน์ได้จริง ต่างกับกำลังไฟฟ้าเสมือนที่เป็นจำนวนจินตภาพเอามาใช้ทำงานไม่ได้ ส่วนใหญ่ใช้ในการเกิดสนามแม่เหล็ก หรือเรียกอีกอย่างหนึ่งว่าอินดักทีฟโพลด เช่น มอเตอร์ บัลลาสต์ เป็นต้น

เอกสารนี้เป็นเอกสารที่สงวนไว้สำหรับการใช้งานเพื่อการศึกษาเท่านั้น ไม่อนุญาตให้นำไปใช้ประโยชน์ด้านการค้า ไม่ว่ากรณีใดๆ ทั้งสิ้น อีกทั้งห้ามมิให้ตัดแปลงเนื้อหา และต้องอ้างอิงถึงเจ้าของเอกสารทุกครั้งที่มีการนำไปใช้



รูปที่ 2.26 Power Flow ของมอเตอร์เหนี่ยวนำ 1 เฟส

2.5.2 การวิเคราะห์กำลังสูญเสียของมอเตอร์เหนี่ยวนำ 1 เฟส [3]

จากรูปที่ 2.26 กำลังสูญเสียในส่วนต่างๆ ซึ่งค่าประสิทธิภาพของมอเตอร์จะขึ้นอยู่กับค่าของกำลังสูญเสียที่เกิดขึ้นในมอเตอร์ จึงสามารถแบ่งกำลังสูญเสียเป็น 2 ประเภท ดังนี้

2.5.2.1 กำลังสูญเสียคงที่ (Constant or No-Load Losses) ถึงแม้มอเตอร์ไม่ได้รับภาระการใช้งานหรือไม่มีโหลด แต่ก็ยังคงมีกำลังสูญเสียเกิดขึ้นตลอดเวลาเมื่อมอเตอร์ทำงานแบ่งเป็น

2.5.2.1.1 กำลังสูญเสียทางกล (Mechanical Losses) เช่น กำลังสูญเสียเกิดจากความเสียดทานในตลับลูกปืนของมอเตอร์ และแรงต้านของครีบบระบายอากาศของตัวมอเตอร์ (Friction & Windage Losses)

2.5.2.1.2 กำลังสูญเสียทางแม่เหล็กไฟฟ้า (Magnetic Losses) เช่น กำลังสูญเสียที่แกนเหล็ก (Core Losses) ซึ่งประกอบด้วยกำลังสูญเสียเนื่องจากการเปลี่ยนทิศทางของสนามแม่เหล็กในแกนเหล็ก (Hysteresis Losses) และกำลังสูญเสียจากกระแสไหลวน (Eddy Current Losses) ในวงจรมแม่เหล็กของมอเตอร์กำลังสูญเสียเมื่อมอเตอร์ไม่มีโหลดจะมีค่าประมาณ 30% ของค่ากำลังสูญเสียรวม (ในอัตราที่มอเตอร์ทำงานเต็มพิกัด) และเกิดขึ้นไม่ว่ามอเตอร์จะหมุนตัวเปล่า หรือขณะใช้งาน

2.5.2.2 กำลังสูญเสียเมื่อมอเตอร์ต้องรับภาระหรือโหลดที่เกิดขึ้น (Variable or Load losses)

2.5.2.2.1 กำลังสูญเสียทางไฟฟ้า (Electrical Losses) คือ กำลังสูญเสียในรูปความร้อนที่สเตเตอร์ และโรเตอร์ เป็นผลของความต้านทานของวัสดุที่ใช้เป็นตัวนำที่สเตเตอร์และตัวนำที่โรเตอร์ ซึ่งเราสามารถควบคุมค่ากำลังสูญเสียนี้ได้ด้วยการเลือกใช้วัสดุที่เหมาะสม

เอกสารนี้เป็นเอกสารที่สงวนไว้สำหรับการใช้งานเพื่อการศึกษาเท่านั้น ไม่อนุญาตให้นำไปใช้ประโยชน์ด้านการค้าไม่ว่ากรณีใดๆ ทั้งสิ้น อีกทั้งห้ามมิให้ตัดแปลงเนื้อหา และต้องอ้างอิงถึงเจ้าของเอกสารทุกครั้งที่มีการนำไปใช้

2.5.2.2.2 กำลังสูญเสียจากภาระการใช้งาน (Stray Losses) เป็นผลที่เกิดจากกระแสฮาร์โมนิก (Harmonic Current) ในตัวนำของโรเตอร์ขณะที่มอเตอร์มีโหลด และกำลังสูญเสียที่เกิดจากกระแสไหลวนในขดลวดสเตเตอร์ ดังนั้นกำลังที่สูญเสียในขดลวดที่ภาระทางกลต่างๆ จะแปรตามกำลังงานปรากฏยกกำลังสอง เมื่อเริ่มพิจารณาจากวงจรสมมูลรูปที่ 2.24 จะได้สมการกระแสอินพุตที่สเตเตอร์คือ

$$\tilde{I}_1 = \frac{\tilde{V}_1}{R_1 + jX_1 + 0.5Z_f + 0.5Z_b} \quad (2.50)$$

กำลังที่ส่งผ่านช่องอากาศที่เกิดขึ้น จะประกอบด้วย กำลังไฟฟ้าส่งผ่านช่องอากาศสำหรับสนามแม่เหล็กหมุนไปข้างหน้า [9] คือ

$$P_{gf} = \text{Re}(\tilde{E}_f I_m^* + ja\tilde{E}_b I_a^*) \quad (2.51)$$

กำลังที่ส่งผ่านช่องอากาศที่เกิดขึ้น จะประกอบด้วย กำลังไฟฟ้าส่งผ่านช่องอากาศสำหรับสนามแม่เหล็กหมุนไปข้างหลัง

$$P_{gb} = \text{Re}(\tilde{E}_f I_m^* - ja\tilde{E}_b I_a^*) \quad (2.52)$$

และกำลังที่ส่งผ่านช่องอากาศที่เกิดขึ้น

$$P_g = P_{gf} - P_{gb} \quad (2.53)$$

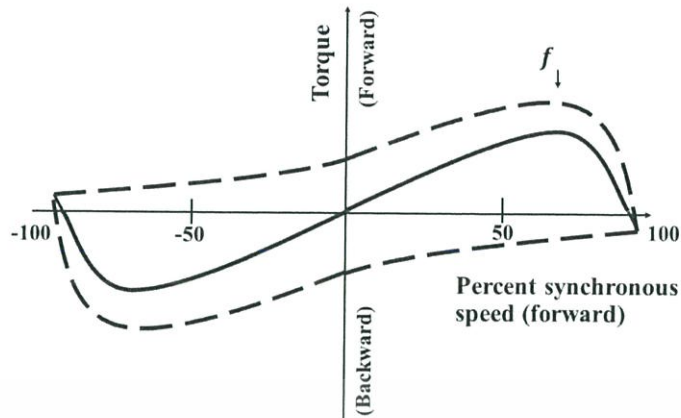
$$P_g = \text{Re}(\tilde{E}_f - \tilde{E}_b)\tilde{I}_m^* + ja(\tilde{E}_f + \tilde{E}_b)\tilde{I}_a^* \quad (2.54)$$

$$P_g = (R_f - R_b)(I_m^2 + (aI_a)^2) + 2aI_m I_a (R_f + R_b) \sin(\theta_a - \theta_m) \quad (2.55)$$

เมื่อ $\tilde{I}_m = I_m \angle \theta_m$

$$\tilde{I}_a = I_a \angle \theta_a$$

เอกสารนี้เป็นเอกสารที่สงวนไว้สำหรับการใช้งานเพื่อการศึกษาเท่านั้น ไม่อนุญาตให้นำไปใช้ประโยชน์ด้านการค้าไม่ว่ากรณีใดๆ ทั้งสิ้น อีกทั้งห้ามมิให้ตัดแปลงเนื้อหา และต้องอ้างอิงถึงเจ้าของเอกสารทุกครั้งที่มีการนำไปใช้



รูปที่ 2.27 ผลรวมของแรงบิดด้าน Forward และ Backward
จากรูปจะเห็นได้ว่าผลรวมแรงบิดขณะสตาร์ทเป็นศูนย์

2.6 ความสัมพันธ์ของแรงบิดและกำลังไฟฟ้า [1]

สมรรถนะของมอเตอร์เหนี่ยวนำหนึ่งเฟสในเทอมของแรงบิดและกำลังไฟฟ้ากำหนดเป็นความสัมพันธ์ของแรงบิดทางแม่เหล็กไฟฟ้าและกำลังในช่องว่างอากาศตามรูปที่ 2.27 กำหนดได้ดังนี้

$$T_f = \frac{P_{gf}}{\omega_s} \quad (2.56)$$

$$T_b = \frac{P_{gb}}{\omega_s} \quad (2.57)$$

$$T_e = T_f - T_b \quad (2.58)$$

ความสัมพันธ์ของกำลังไฟฟ้าเปลี่ยนเป็นกำลังทางกล ดังนี้

$$P_{conv} = T_e \omega_r \quad (2.59)$$

หรือ

$$P_{conv} = (1-s)P_g \quad (2.60)$$

กำลังไฟฟ้าขาออก

$$P_{out} = P_{conv} - P_{rotational} \quad (2.61)$$

$$T_{load} = \frac{P_{out}}{\omega_r} \quad (2.62)$$

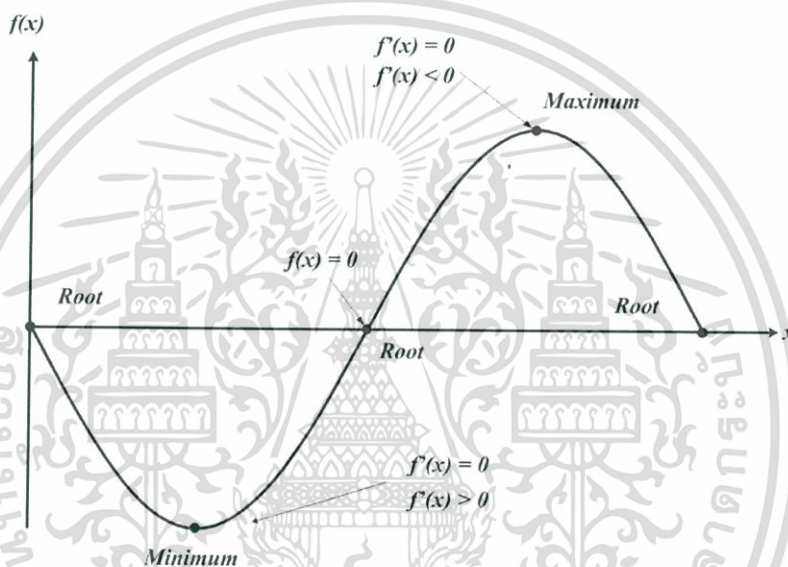
การคำนวณประสิทธิภาพ

$$\%Eff = \frac{P_{out}}{P_{in}} \times 100\% \quad (2.63)$$

เอกสารนี้เป็นเอกสารที่สงวนไว้สำหรับการใช้งานเพื่อการศึกษาเท่านั้น ไม่อนุญาตให้นำไปใช้ประโยชน์ด้านการค้า ไม่ว่ากรณีใดๆ ทั้งสิ้น อีกทั้งห้ามมิให้ตัดแปลงเนื้อหา และต้องอ้างอิงถึงเจ้าของเอกสารทุกครั้งที่มีการนำไปใช้

2.7 การพิจารณาประสิทธิภาพของมอเตอร์ผ่านกระบวนการทางจีเนติก [7]

หลักการทางจีเนติกเป็นวิธีการหาค่าที่เหมาะสมของฟังก์ชันเป้าหมาย โดยเลียนแบบวิธีการคัดสรรทางธรรมชาติ (Natural Selection) เพื่อหาผลลัพธ์ของคำตอบที่ดีที่สุดตามเงื่อนไขที่ผู้สนใจกำหนด ซึ่งรูปแบบของฟังก์ชันสามารถแบ่งได้เป็น 3 เงื่อนไข 1.เงื่อนไขน้อยกว่าศูนย์ (Inequality Constraint) 2.เงื่อนไขเท่ากับศูนย์ (Equality Constraint) และ 3.เงื่อนไขขนาด (Side Constraint)



รูปที่ 2.28 เงื่อนไขน้อยกว่าศูนย์และเท่ากับศูนย์ของฟังก์ชัน

$$F(x) \tag{2.64}$$

$$G_j(x) < 0 \quad J = 1, \dots, l \tag{2.65}$$

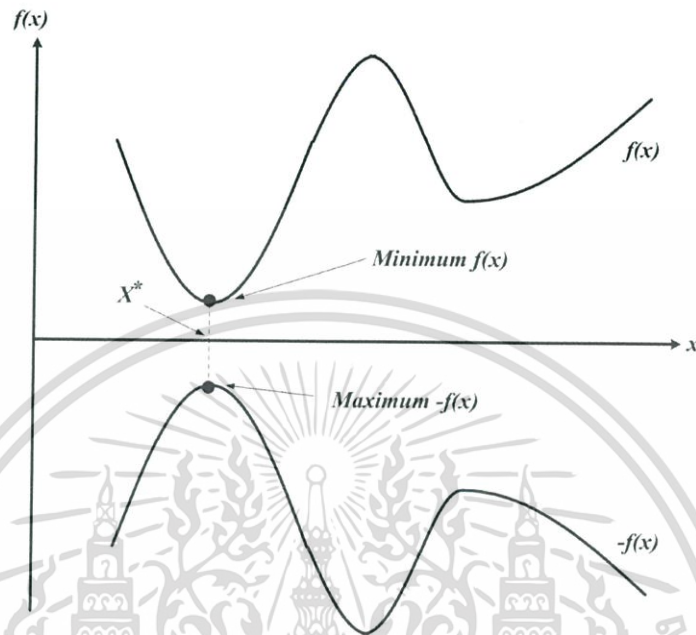
$$H_k(x) = 0 \quad K = 1, \dots, m \tag{2.66}$$

$$x_i^l \leq x_i \leq x_i^u \quad I = 1, \dots, n \tag{2.67}$$

เมื่อ $x = (x_1, \dots, x_n)$ เป็นเวกเตอร์ของตัวแปรสำหรับออกพิจารณาฟังก์ชันเป้าหมาย และฟังก์ชันเงื่อนไขในการหาค่าที่เหมาะสม โดยฟังก์ชันดังกล่าวสามารถเป็นได้ทั้งฟังก์ชันเชิงเส้น (Linear) หรือฟังก์ชันที่ไม่เป็นเชิงเส้น (Non-Linear)

เอกสารนี้เป็นเอกสารที่สงวนไว้สำหรับการใช้งานเพื่อการศึกษาเท่านั้น ไม่อนุญาตให้นำไปใช้ประโยชน์ด้านการค้า ไม่ว่ากรณีใดๆ ทั้งสิ้น อีกทั้งห้ามมิให้ตัดแปลงเนื้อหา และต้องอ้างอิงถึงเจ้าของเอกสารทุกครั้งที่มีการนำไปใช้

โดยสมการ 2.65 $F(x)$ คือฟังก์ชันเป้าหมายที่ต้องการหาค่าสูงสุดต่ำสุดโดยที่เงื่อนไขน้อยกว่าศูนย์ (Inequality Constraint) สามารถใช้หาค่าสูงสุดได้โดยการคูณ -1 ไปในสมการ ดังรูปที่ (2.30)



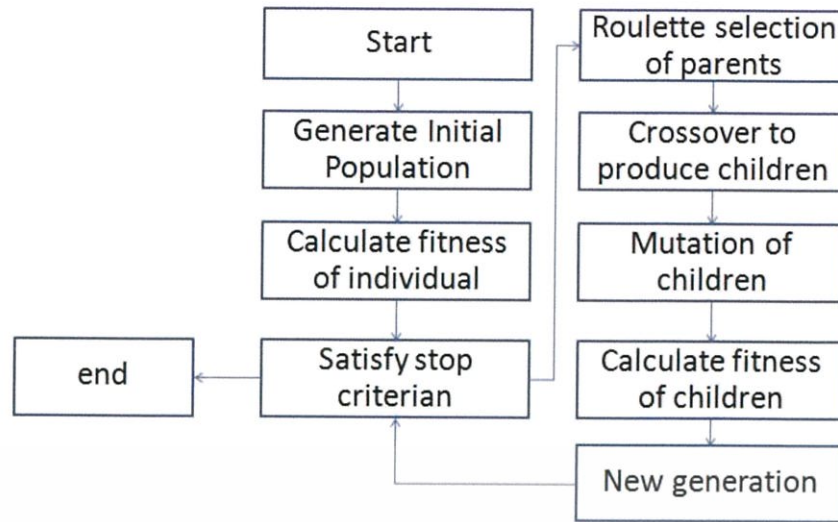
รูปที่ 2.29 ค่าตอบของค่าต่ำสุด $f(x)$ และ ค่าสูงสุด $-f(x)$

สมการที่ 2.67 คือเงื่อนไขที่มีค่าเท่ากับศูนย์ (Equality Constraints) และสำหรับสมการที่ 2.68 คือสมการเงื่อนไขขนาด ซึ่งกำหนดขอบเขตของช่วงคำตอบที่ต้องการพิจารณา

2.7.1 จีเนติกอัลกอริธึม (Genetic Algorithm: GA) [7]

จีเนติกอัลกอริธึมเป็นกระบวนการหาค่าตอบโดยเลียนแบบวิธีการคัดสรรทางธรรมชาติซึ่งวิธีจีเนติกถูกคิดค้นโดย จอห์น ฮอลแลนด์ ในปี 1995 โดยมีลักษณะการคำนวณดังรูปที่ 2.30

เอกสารนี้เป็นเอกสารที่สงวนไว้สำหรับการใช้งานเพื่อการศึกษาเท่านั้น ไม่อนุญาตให้นำไปใช้ประโยชน์ด้านการค้าไม่ว่ากรณีใดๆ ทั้งสิ้น อีกทั้งห้ามมิให้ตัดแปลงเนื้อหา และต้องอ้างอิงถึงเจ้าของเอกสารทุกครั้งที่มีการนำไปใช้



รูปที่ 2.30 แผนผังการคำนวณของจีเนติกอัลกอริธึม

2.7.2 ขั้นตอนการคำนวณหาคำตอบด้วยจีเนติกอัลกอริธึม

2.7.2.1 กำหนดฟังก์ชันเป้าหมายที่ต้องการจะหาคำตอบขึ้นมา โดยวิธีการทางจีเนติกจะไม่สนใจพฤติกรรมของเป้าหมายที่สนใจหรือขั้นตอนในการแก้ปัญหาแต่จะพิจารณาจากการตัดสินใจผลลัพธ์คำตอบนั้นสามารถทำให้มีผลลัพธ์ที่ดีกว่าเดิมได้หรือไม่ และเป็นคำตอบที่มีค่าใกล้เคียงกับฟังก์ชันเป้าหมาย

2.7.2.2 กำหนดรูปแบบโครโมโซม โดยเป็นการกำหนดค่าตัวแปรหรือพารามิเตอร์ให้อยู่ในเลขฐานสอง โดยความยาวของชุดโครโมโซมจะถูกกำหนดจากฟังก์ชันเป้าหมาย

2.7.2.3 การสร้างชุดประชากรเริ่มต้นของการแก้ปัญหาที่ถูกสร้างขึ้นโดยการสุ่ม ตามจำนวนโครโมโซมในแต่ละรุ่น ซึ่งประชากรชุดเริ่มต้นนี้จะถูกคัดเลือกและกลายเป็นโครโมโซมต้นแบบในการสร้างกลุ่มประชากรรุ่นถัดไป เช่น ชุดโครโมโซม 1 ประกอบด้วยกลุ่มประชากรโครโมโซมทั้ง 5 โครโมโซม 1101 1000 1010 0010 0110 โดยที่โครโมโซม ทั้ง 5 ชุดนี้ เกิดจากการสุ่มค่าเลขฐาน 2 เป็นจำนวน n ครั้ง

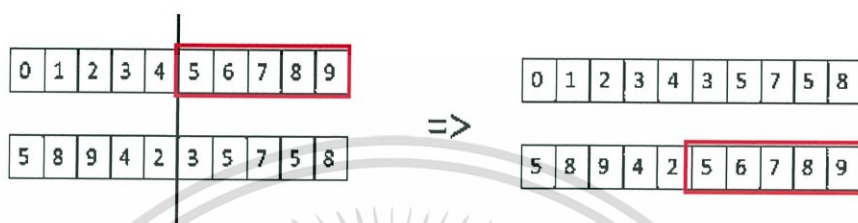
2.7.2.4 การวิเคราะห์ค่าที่เหมาะสม เป็นการถอดรหัสจากรูปแบบของโครโมโซมที่กำหนดไว้เพื่อคำนวณค่าความเหมาะสมตามฟังก์ชันความเหมาะสมแต่ละโครโมโซม ซึ่งโดยปกติแล้วสมการเป้าหมายจะเป็นฟังก์ชันเป้าหมาย

2.7.2.5 การคัดเลือกโครโมโซม เป็นหนึ่งในขั้นตอนที่เลียนแบบวิธีการทางธรรมชาติเพื่อใช้ในการคัดเลือกกลุ่มประชากร โครโมโซมในรุ่นเก่าให้กลายเป็นกลุ่มประชากรโครโมโซมต้นแบบ หรือ รุ่นพ่อแม่ สำหรับการสร้างกลุ่มประชากร โดยพิจารณาจากค่าความเหมาะสมของชุดประชากรโครโมโซม

เอกสารนี้เป็นเอกสารที่สงวนไว้สำหรับการใช้งานเพื่อการศึกษาเท่านั้น ไม่อนุญาตให้นำไปใช้ประโยชน์ด้านการค้า ไม่ว่ากรณีใดๆ ทั้งสิ้น อีกทั้งห้ามมิให้ตัดแปลงเนื้อหา และต้องอ้างอิงถึงเจ้าของเอกสารทุกครั้งที่มีการนำไปใช้

ว่ามีโอกาสถูกเลือกเป็นประชากรรุ่นต้นแบบแค่ไหน โดยค่าความเหมาะสมของชุดประชากรแต่ละชุด เทียบกับความเหมาะสมโดยรวม

2.7.2.6 การครอสโอเวอร์ (Crossover) เป็นการดำเนินการในการแลกเปลี่ยนส่วนของโครโมโซมรุ่นพ่อ-แม่ ตามกำหนดอัตราความน่าจะเป็นของครอสโอเวอร์ ซึ่งการครอสโอเวอร์ทำให้คำตอบของประชากรมีการพัฒนาขึ้น



รูปที่ 2.31 ครอสโอเวอร์แบบวันพอยท์

2.7.2.7 การมิวเตชัน (Mutation) ขั้นตอนการผ่าเหล่ากลายพันธุ์หลังเกิดการครอสโอเวอร์ เพื่อให้ค่าความเหมาะสมดีขึ้นกว่าเดิม หรือเรียกง่าย ๆ ว่า แทนเซตของเหตุการณ์ที่คาดไม่ถึง



รูปที่ 2.32 การมิวเตชันเปลี่ยน Bit ข้อมูลจาก 1 เป็น 0

2.7.2.8 ประชากรรุ่นใหม่เกิดจากชุดโครโมโซมที่พัฒนาหรือวิวัฒนาการต่างๆทั้งหมด ซึ่งประชากรรุ่นใหม่จะกลายเป็นประชากรรุ่นเก่าเพื่อช่วยในการอัปเดตค่าผลลัพธ์เพื่อให้สอดคล้องกับฟังก์ชันเป้าหมาย โดยจะซ้ำกระบวนการไปเรื่อยๆจนได้ค่าที่เหมาะสมที่สุดสำหรับคำตอบที่เราต้องการหา

บทที่ 3

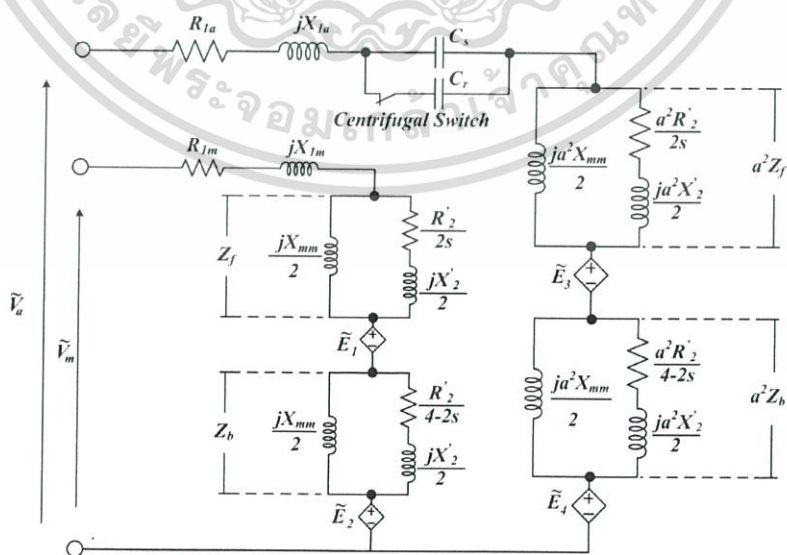
การทำงานและการออกแบบการทดลอง

3.1 บทนำ

เนื้อหาภายในบทนี้จะแสดงวิธีการในการทดสอบหาค่าตัวเก็บประจุที่ทำให้ได้ประสิทธิภาพที่ดีที่สุดสำหรับมอเตอร์เหนี่ยวนำ 1 เฟส ซึ่งประกอบไปด้วย วิธีแบบจำลองทางคอมพิวเตอร์ โดยโปรแกรม MATLAB/Simulink วิธีคำนวณแบบจินตคณิตอัลกอริทึม สุดท้ายนำผลลัพธ์ที่ได้จาก 2 วิธีข้างต้นมาเปรียบเทียบกับวิธีคำนวณโดยตรงโดยใช้วงจรสมมูล โดยในตอนต้นของบทนี้จะแสดงวิธีทดสอบหาค่าพารามิเตอร์ของมอเตอร์ และการทดสอบหาค่ากำลังที่สูญเสียในมอเตอร์ เพื่อที่จะใช้ในการคำนวณหาประสิทธิภาพในขั้นตอนต่อไป

3.2 การทดสอบหาพารามิเตอร์ของมอเตอร์เหนี่ยวนำ 1 เฟส [9,10]

จากทฤษฎีคู่สนามแม่เหล็กหมุน จะได้วงจรสมมูลของมอเตอร์ 1 เฟสชนิดตัวเก็บประจุสตาร์ท-ตัวเก็บประจุนั้น ตามรูปที่ 3.1 ซึ่งแสดงขดลวดสตาร์ท และขดลวดหลัก โดยความสัมพันธ์ของพารามิเตอร์ที่ขดลวดแต่ละขดจะเกี่ยวข้องกับค่า Turn Ratio (a : อัตราส่วนระหว่างจำนวนรอบของขดลวดสตาร์ทต่อขดลวดหลัก)



รูปที่ 3.1 วงจรสมมูลของมอเตอร์เหนี่ยวนำ 1 เฟส

เอกสารนี้เป็นเอกสารที่สงวนไว้สำหรับการใช้งานเพื่อการศึกษาเท่านั้น ไม่อนุญาตให้นำไปใช้ประโยชน์ด้านการค้า ไม่ว่ากรณีใดๆ ทั้งสิ้น อีกทั้งห้ามมิให้ตัดแปลงเนื้อหา และต้องอ้างอิงถึงเจ้าของเอกสารทุกครั้งที่มีการนำไปใช้

โดย

R_{1a} และ R_{1m}	คือ ความต้านของขดลวดสตาร์ท และขดลวดหลัก
X_{1a} และ X_{1m}	คือ ความต้านทานเหนี่ยวนำที่ขดลวดสตาร์ท และขดลวดหลัก
C_s และ C_r	คือ ตัวเก็บประจุสตาร์ท และตัวเก็บประจุนั้น
X_{mm}	คือ ความต้านทานความเหนี่ยวนำ
R'_2	คือ ความต้านทานของขดลวดโรเตอร์ ที่ถูกแปลงไปด้านสเตเตอร์
X'_2	คือ ความเหนี่ยวนำของขดลวดโรเตอร์ ที่ถูกแปลงไปด้านสเตเตอร์
a	คือ อัตราส่วนจำนวนรอบของขดลวดสตาร์ทต่อขดลวดหลัก
\vec{E}_1, \vec{E}_2	คือ Forward และ Backward EMF ที่เกิดจาก Forward และ Backward EMF ด้านขดลวดสตาร์ท
\vec{E}_3, \vec{E}_4	คือ Forward และ Backward EMF ที่เกิดจาก Forward และ Backward EMF ด้านขดลวดรัน

มอเตอร์ที่นำมาทำการทดสอบนั้น จะมีจำนวนรอบของขดลวดสตาร์ท เท่ากับ 248 รอบ และจำนวนรอบของขดลวดหลัก เท่ากับ 192 รอบ ดังนั้นจะได้ค่า $a = 1.29$

3.2.1 การทดสอบทางไฟฟ้ากระแสตรง

การทดสอบด้วยวิธีนี้ จะเป็นการทดสอบเพื่อหาค่าความต้านทานที่ขดลวดสเตเตอร์ โดยใช้หลักการจ่ายไฟฟ้ากระแสตรงเข้าไปที่ขดลวดสเตเตอร์ ในส่วนของความต้านทานความเหนี่ยวนำ (X_{1m}, X_{1a}) จะมีค่าเท่ากับศูนย์ ฉะนั้นจะเหลือความต้านทาน (R_{1a}, R_{1m}) เพียงอย่างเดียว จึงสามารถใช้กฎของโอห์ม คือ $V = IR$ มาคำนวณค่าความต้านทานได้

พารามิเตอร์ที่ได้ R_{1a}, R_{1m}

อุปกรณ์ที่ใช้ในการทดสอบ	1. โวลต์มิเตอร์	จำนวน 1 เครื่อง
	2. แอมป์มิเตอร์	จำนวน 1 เครื่อง
	3. แหล่งจ่ายไฟฟ้ากระแสสลับ	จำนวน 1 เครื่อง
	4. วงจรแปลงกระแส AC/DC	จำนวน 1 ชุด

เอกสารนี้เป็นเอกสารที่สงวนไว้สำหรับการใช้งานเพื่อการศึกษาเท่านั้น เมื่อนุญาตให้ไปใช้ประโยชน์ด้านการค้า, ไม่ว่าจะกรณีใดๆ ทั้งสิ้น อีกทั้งห้ามมิให้ตัดแปลงเนื้อหา และต้องอ้างอิงถึงเจ้าของเอกสารทุกครั้งที่มีการนำไปใช้

วิธีการทดสอบ 1.ต่อวงจรตามรูปที่ 3.2

2.จ่ายไฟฟ้ากระแสตรงเข้าที่ขดลวดสตาร์ทด้วยขนาดกระแสเริ่มต้นประมาณ 1 A แล้วบันทึกค่าแรงดันที่เกิดขึ้น ทำเช่นนี้ต่อไปโดยเพิ่มค่ากระแสในแต่ละรอบ จนกระทั่งกระแสมีค่าเข้าใกล้กระแสพิกัดของมอเตอร์ จากนั้นนำค่าที่ได้มาทำการคำนวณ ซึ่งจากกฎของโอห์ม $R = \frac{V}{I}$ ซึ่งจะได้ค่าความต้านทานของขดลวดสตาร์ท

3.หาค่าความต้านทานของขดลวดหลัก โดยทำตามการทดลองข้อที่ 2 แต่เปลี่ยนมาจ่ายไฟฟ้ากระแสตรงเข้าที่ขดลวดหลักแทน



(a) การทดสอบที่ขดลวดหลัก

(b) การทดสอบที่ขดลวดสตาร์ท

รูปที่ 3.2 แผนภาพการต่ออุปกรณ์วัดการทดสอบทางไฟฟ้ากระแสตรง

ผลการทดสอบ

ตารางที่ 3.1 ผลการทดสอบทางไฟฟ้ากระแสตรง

ขดลวด	ค่าจากการวัด								ความต้านทาน
	ครั้งที่	1	2	3	4	5	6	7	
ขดลวดสตาร์ท	แรงดัน(V)	3.65	7.44	11.11	12.32	19.31	23.52	28.11	2.085 Ω
	กระแส(A)	2.11	4.05	6.01	8.13	10.11	12.12	13.92	
ขดลวดหลัก	แรงดัน(V)	0.93	1.69	2.44	3.46	5.26	6.75	8.78	0.9016 Ω
	กระแส(A)	1.11	2.14	3.22	4.16	6.01	8.03	10.21	

3.2.2 การทดสอบแบบยัดโรเตอร์

การทดสอบด้วยวิธีนี้ จะทดสอบที่ขดลวดหลักเพียงขดเดียวโดยจ่ายกระแสที่พิกัดของมอเตอร์เข้าขดลวดหลักที่สภาวะหยุดนิ่ง ค่า Forward และ Backward MMF ที่เกิดขึ้นจะมีค่าเท่ากันตามทฤษฎีคู่สนามแม่เหล็กหมุน ซึ่งจะได้ว่าค่าอิมพีแดนซ์ด้าน Forward และ Backward ที่โรเตอร์มีค่าเท่ากัน ($Z_f = Z_b$) ดังนั้นจะสามารถแสดงให้อยู่ในรูปวงจรมูลตามรูปที่ 3.3

เอกสารนี้เป็นเอกสารที่สงวนไว้สำหรับการใช้งานเพื่อการศึกษาเท่านั้น ไม่อนุญาตให้นำไปใช้ประโยชน์ด้านการค้าไม่ว่ากรณีใดๆ ทั้งสิ้น อีกทั้งห้ามมิให้ตัดแปลงเนื้อหา และต้องอ้างอิงถึงเจ้าของเอกสารทุกครั้งที่มีการนำไปใช้

พารามิเตอร์ที่ได้ X_{1m}, X_2', R_2'

อุปกรณ์ที่ใช้ในการทดสอบ 1. ดิจิตัลมัลติมิเตอร์ 1 เครื่อง
2. แหล่งจ่ายไฟฟ้ากระแสสลับ 1 เครื่อง

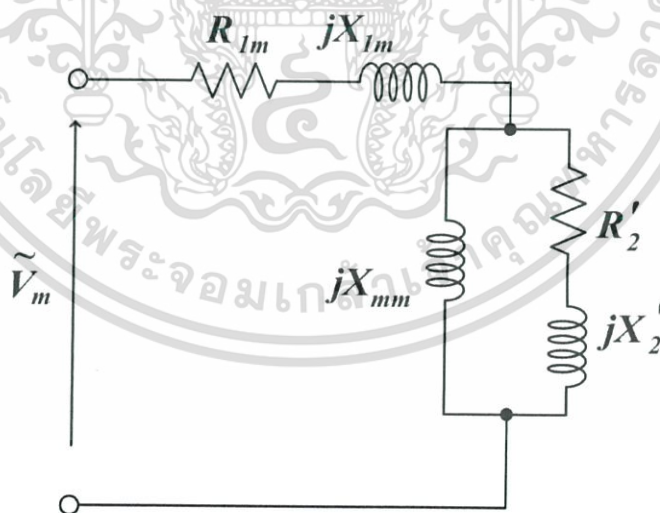
วิธีการทดสอบ 1. ต่อแหล่งจ่ายไฟฟ้ากระแสสลับ เข้ากับขดลวดรีนของมอเตอร์
2. ต่อดิจิตัลมัลติมิเตอร์

3. ทำการยึดเพลลาของมอเตอร์ให้แน่น จ่ายไฟฟ้ากระแสสลับให้มีค่าประมาณพิกักของมอเตอร์ จากนั้นบันทึกค่ากระแสที่ขดลวดหลัก (I_m), แรงดันที่ขดลวดหลัก (V_m) และ กำลังไฟฟ้า (P) ที่ได้นำมาคำนวณจากสมการที่ 3.1 ถึง 3.3 โดยจะกำหนดให้ $X_{1m} = X_2'$ และค่า R_{1m} คือ ค่าที่ได้จากการทดสอบแบบไฟฟ้ากระแสตรง

$$R_{1m} + R_2' \approx \frac{P}{I_m^2} \quad (3.1)$$

$$|Z_{sc}| = \frac{V_m}{I_m} \quad (3.2)$$

$$X_{1m} + X_2' \approx \sqrt{\left(\frac{V_m}{I_m}\right)^2 - (R_{1m} + R_2')^2} \quad (3.3)$$



รูปที่ 3.3 วงจรสมมูลที่เกิดขึ้นขณะทำการทดสอบยึดโรเตอร์

เอกสารนี้เป็นเอกสารที่สงวนไว้สำหรับการใช้งานเพื่อการศึกษาเท่านั้น ไม่อนุญาตให้นำไปใช้ประโยชน์ด้านการค้าไม่ว่ากรณีใดๆ ทั้งสิ้น อีกทั้งห้ามมิให้ตัดแปลงเนื้อหา และต้องอ้างอิงถึงเจ้าของเอกสารทุกครั้งที่มีการนำไปใช้

ผลการทดสอบ

ตารางที่ 3.2 ผลจากการทดสอบแบบยึดโรเตอร์

ค่าจากการวัด			ค่าจากการคำนวณ		
กำลังไฟฟ้า(W)	แรงดัน(V)	กระแส(A)	$X_{1m}(\Omega)$	$X_2'(\Omega)$	$R_2'(\Omega)$
618	64.1	16.02	1.5975	1.5975	1.5064

3.2.3 การทดสอบแบบไม่มีภาระทางกล

การทำการทดสอบด้วยวิธีนี้ จะทำการทดสอบโดยจ่ายแรงดันไฟฟ้ากระแสสลับเข้ากับขดลวดหลักเพียงขดเดียว ซึ่งมอเตอร์จะไม่สามารถหมุนได้ด้วยตัวเองเนื่องจากมีค่าแรงบิดด้าน Forward เท่ากับแรงบิดด้าน Backward จึงจำเป็นต้องใส่ตัวเก็บประจุสตาร์ทเข้ากับขดลวดสตาร์ทเข้าไปเพื่อช่วยในการเริ่มหมุน ที่สภาวะไม่มีภาระทางกลตัวเก็บประจุสตาร์ทและขดลวดสตาร์ทจะถูกสวิตช์แรงเหวี่ยงตัดออกจากวงจร ค่าสลิป (s) จะมีค่าเข้าใกล้ศูนย์ จึงได้ความสัมพันธ์ตามสมการที่ 3.4-3.5 จะได้ว่าจรรยาสมมูลตามภาพที่ 3.5

$$j0.5X_2' + 0.5\frac{R_2'}{s} > 0.5X_{mm} \quad (3.4)$$

$$j0.5X_2' + \frac{0.5R_2'}{2-s} \approx j0.5X_2' + 0.25R_2' \ll 0.5X_{mm} \quad (3.5)$$

พารามิเตอร์ที่ได้ jX_{mm}

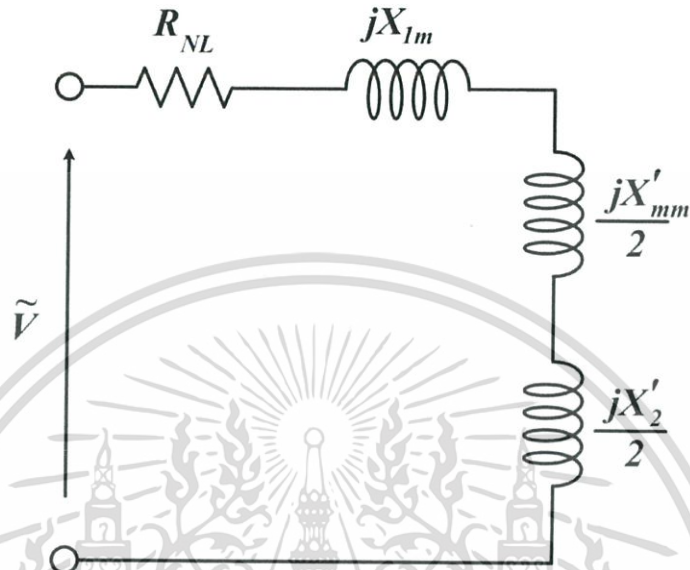
อุปกรณ์ที่ใช้ในการทดสอบ	1. ดิจิตัลมัลติมิเตอร์	1 เครื่อง
	2. แหล่งจ่ายไฟฟ้ากระแสสลับ	1 เครื่อง

- วิธีการทดสอบ
- นำตัวเก็บประจุสตาร์ทต่ออนุกรมเข้ากับขดลวดสตาร์ท
 - ต่อแหล่งจ่ายไฟฟ้ากระแสสลับเข้ากับขดลวดหลักของมอเตอร์
 - ต่อดิจิตัลมัลติมิเตอร์
 - จ่ายแรงดันไฟฟ้าขนาด 230 V เข้าสู่มอเตอร์ บันทึกค่าแรงดัน (\tilde{V}_{NL}), กระแส (\tilde{I}_{NL}), กำลังไฟฟ้า (P_{NL}) จากนั้นมาคำนวณจากสมการที่ 3.6 - 3.7

เอกสารนี้เป็นเอกสารที่สงวนไว้สำหรับการใช้งานเพื่อการศึกษาเท่านั้น ไม่อนุญาตให้นำไปใช้ประโยชน์ด้านการค้าไม่ว่ากรณีใดๆ ทั้งสิ้น อีกทั้งห้ามมิให้ตัดแปลงเนื้อหา และต้องอ้างอิงถึงเจ้าของเอกสารทุกครั้งที่มีการนำไปใช้

$$R_{NL} = \frac{P_{NL}}{I^2} \quad (3.6)$$

$$Z_{NL} = \sqrt{R_{NL}^2 + (0.5X_{mm} + X_1 + 0.5X_2')^2} \quad (3.7)$$



รูปที่ 3.4 วงจรสมมูลของมอเตอร์เหนี่ยวนำ 1 เฟส
ขณะทำการทดสอบแบบไม่มีภาระทางกล

ผลการทดสอบ

ตารางที่ 3.3 ผลการทดสอบแบบไม่มีภาระทางกล

ค่าจากการวัด		ค่าจากการคำนวณ	
แรงดัน (V)	กระแส (A)	กำลังไฟฟ้า (W)	jX_{mm} (Ω)
230	15.21	559	25.062

ตารางที่ 3.4 พารามิเตอร์ของมอเตอร์เหนี่ยวนำ

สรุปผลการหาค่าพารามิเตอร์						
Turn Ratio	R_{1a}	R_{1m}	jX_{1m}	jX_2'	R_2'	jX_{mm}
1.29	0.9016	2.085	1.5975	1.5975	1.5064	25.062

เอกสารนี้เป็นเอกสารที่สงวนไว้สำหรับการใช้งานเพื่อการศึกษาเท่านั้น ไม่อนุญาตให้นำไปใช้ประโยชน์ด้านการค้า
ไม่ว่ากรณีใดๆ ทั้งสิ้น อีกทั้งห้ามมิให้ตัดแปลงเนื้อหา และต้องอ้างอิงถึงเจ้าของเอกสารทุกครั้งที่มีการนำไปใช้

$$P_{total,loss} = P_{cus} + P_{cur} + P_f + P_{core} + P_{stray} \quad (3.8)$$

3.3.1 การทดสอบหาค่ากำลังที่สูญเสียในขดลวดสเตเตอร์ (P_{cus})

ในการทดสอบเป็นการหาความสูญเสียที่สถานะไม่มีภาระทางกล โดยใช้ค่ากระแสที่วัดได้จากขดลวดแต่ละขด เมื่อจ่ายแรงดันขนาด 230 V

$$\text{สูตรคำนวณ} \quad P_{cus} = I^2 R \quad (3.9)$$

เมื่อ

R คือความต้านทานของขดลวดสเตเตอร์

I คือกระแสที่วัดได้

ขดลวดหลัก

$$P_{cus} = 15^2 \times 0.9016$$

$$P_{cus} = 202.80 \text{ W}$$

ขดลวดสตาร์ท

$$P_{cus} = 5.30^2 \times 2.085$$

$$P_{cus} = 58.56 \text{ W}$$

จะได้กำลังไฟฟ้าที่สูญเสียที่สเตเตอร์ทั้งหมด ; $P_{total,cus} = 202.80 + 58.56 = 261.37 \text{ W}$

3.3.2 การทดสอบหาแรงเสียดทานและแรงต้านอากาศ (P_f)

วิธีการทดลอง

1. จ่ายแรงดันแรงดันประมาณ 125% ของพิกัดแรงดัน เข้าที่ขดลวดหลักเพียงขดลวดเดียว
2. ลดแรงดันที่จ่ายเข้าไปที่ขดลวดหลักทีละขั้น ขั้นละประมาณ 4 V โดยแต่ละขั้นที่ลดแรงดันทำการบันทึกค่าแรงดัน (V_{in}) กระแส (I_s) และกำลังไฟฟ้า (P_{in})
3. ทำการทดลองจนกระทั่งเมื่อลดแรงดันแล้วกระแสเพิ่ม จากนั้นนำค่ากระแสในแต่ละขั้นมาคำนวณหา ค่า Total Resistive Loss จากสมการที่ 3.10

เอกสารนี้เป็นเอกสารที่สงวนไว้สำหรับการใช้งานเพื่อการศึกษาเท่านั้น ไม่อนุญาตให้นำไปใช้ประโยชน์ด้านการค้าไม่ว่ากรณีใดๆ ทั้งสิ้น อีกทั้งห้ามมิให้ตัดแปลงเนื้อหา และต้องอ้างอิงถึงเจ้าของเอกสารทุกครั้งที่มีการนำไปใช้

$$P_l = \frac{I_s^2}{2} \left(R_m + \frac{P_L}{I_1^2} \right) \quad (3.10)$$

เมื่อ

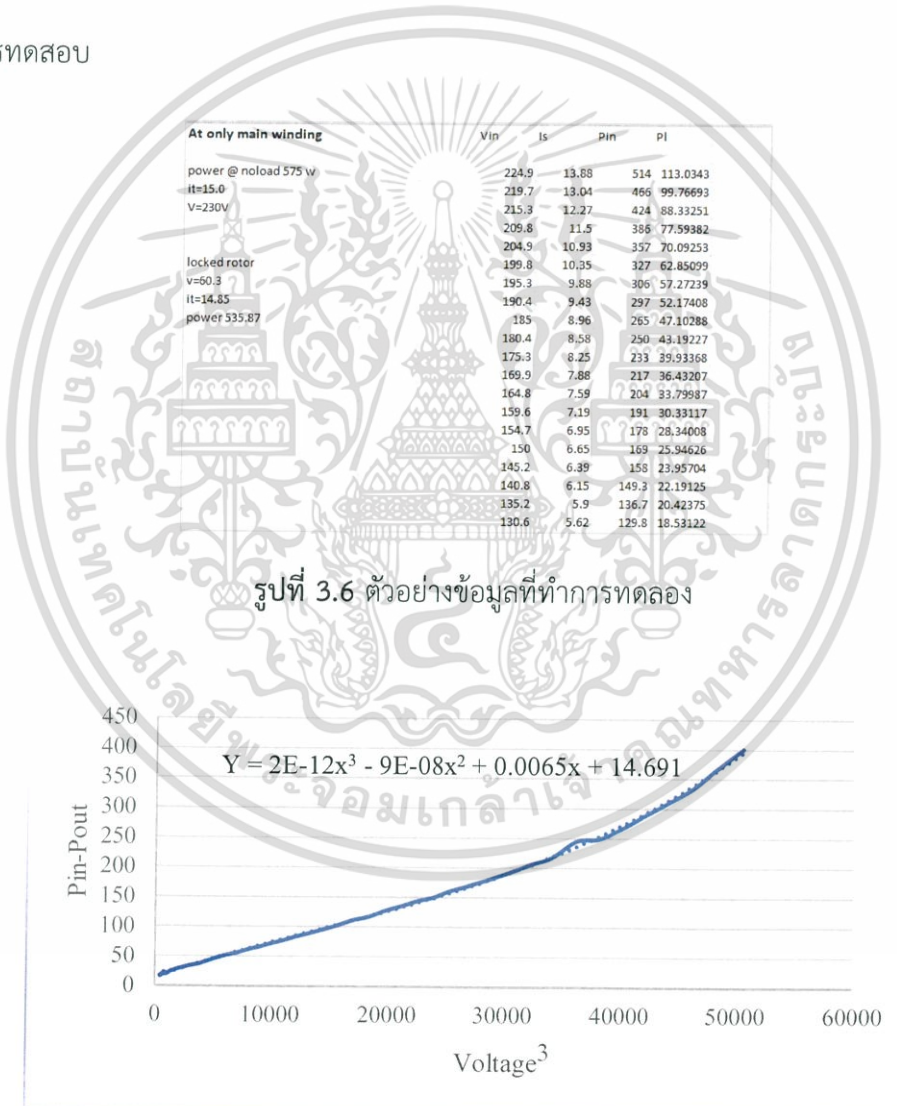
P_L คือ กำลังไฟฟ้าขณะทำการยึดโรเตอร์ที่สภาวะ 50% พิกัดกำลัง

R_m คือ ความต้านทานของขดลวดหลัก

I_1 คือ กระแสขณะทำการยึดโรเตอร์ที่สภาวะ 50% พิกัดกำลัง

4. จากนั้นทำการพล็อตกราฟโดยให้แกน X เป็นแรงดันไฟฟ้าในแต่ละชั้นยกกำลังสาม (V^3) ส่วนแกน Y เป็นค่า $P_{in} - P_l$ ในแต่ละชั้น จากนั้นจะหาแรงเสียดทานและแรงต้านอากาศจาก จุดตัดแกน Y ($V^3 = 0$)

ผลการทดสอบ



เอกสารนี้เป็นเอกสารที่สงวนไว้สำหรับการใช้งานเพื่อการศึกษาเท่านั้น ไม่อนุญาตให้นำไปใช้ประโยชน์ด้านการค้า ไม่ว่าจะกรณีใดๆ ทั้งสิ้น อีกทั้งห้ามมิให้ตัดแปลงเนื้อหา และต้องอ้างอิงถึงเจ้าของเอกสารทุกครั้งที่มีการนำไปใช้

สรุป แรงเสียดทานและแรงต้านอากาศ (P_f) = 14.69 W

3.3.3 การทดสอบหาค่ากำลังที่สูญเสียในแกนเหล็ก (P_{core})

ในการทดสอบที่ไม่มีภาระทางกล ค่ากำลังไฟฟ้าที่วัดได้เท่ากับค่ากำลังที่สูญเสียทั้งหมด (Total loss)

$$P_{no-load} = P_{cus} + P_{cur} + P_{core} + P_f$$

จะได้

$$P_{core} = P_{no-load} - P_{cur} - P_{cus} - P_f$$

เมื่อ

ขดลวดหลัก

$$P_{no-load} = 575 \text{ W}$$

$$P_{cus} = 202.80$$

ขดลวดสตาร์ท

$$P_{no-load} = 213 \text{ W}$$

$$P_{cus} = 58.56$$

และที่สภาวะที่ไม่มีภาระทางกล จะพิจารณาให้ $P_{cur} = 0 \text{ W}$

จะสามารถคำนวณค่ากำลังที่สูญเสียในแกนเหล็กของขดลวดทั้งสองได้

ขดลวดหลัก

$$P_{total\ core} = 575 - 202.80$$

$$P_{core,\ total} = 357.51 \text{ W}$$

ขดลวดสตาร์ท

$$P_{core,\ total} = 213 - 58.56$$

$$= 139.75 \text{ W}$$

ทั้งสองขดลวด

$$P_{total,\ core-loss} = 357.509 + 139.749 - 14.691$$

$$= 511.94 \text{ W}$$

3.3.4 การทดสอบหาค่ากำลังที่สูญเสียในขดลวดโรเตอร์ (P_{cur})

$$P_{cur} = (P_0 - P_{cus} - P_{core} - P_f) s$$

เมื่อ

$$P_0 = \text{กำลังไฟฟ้าขาเข้าที่วัดได้จากสเตเตอร์}$$

$$P_{cus} = \text{กำลังไฟฟ้าที่สูญเสียที่สเตเตอร์}$$

เอกสารนี้เป็นเอกสารที่สงวนไว้สำหรับการใช้งานเพื่อการศึกษาเท่านั้น ไม่อนุญาตให้นำไปใช้ประโยชน์ด้านการค้า ไม่ว่ากรณีใดๆ ทั้งสิ้น อีกทั้งห้ามมิให้ตัดแปลงเนื้อหา และต้องอ้างอิงถึงเจ้าของเอกสารทุกครั้งที่มีการนำไปใช้

P_{core} = กำลังไฟฟ้าที่สูญเสียจากแกนเหล็ก

P_f = กำลังไฟฟ้าที่สูญเสียจากแรงเสียดทานและแรงต้านลม

s = สลิป

3.3.5 การทดสอบหาค่ากำลังสูญเสียจากภาระการใช้งาน (P_{stray})

จากสมการ

$$P_{stray} = P_{SU} \left(\frac{T}{T_0} \right)^2$$

เมื่อ

P_{SU} คือค่า P_{stray} ที่พิกัดกำลังของมอเตอร์

โดยกำหนดให้มีค่า 1.8% ของพิกัดกำลัง

T คือแรงบิดที่สภาวะโหลดนั้นๆ

T_0 คือแรงบิดที่สภาวะพิกัดโหลด

ที่สภาวะพิกัด

$$T = 0.77 \text{ N}\cdot\text{m}$$

โดย T_0 หาได้จาก

$$T_0 = \frac{kP}{n}$$

k คือค่าคงที่มีค่าเท่ากับ 9.549 N•m

P คือค่ากำลังของมอเตอร์จาก nameplate (W)

n คือค่าความเร็วรอบของมอเตอร์จาก nameplate (RPM)

จะได้

$$T_0 = \frac{9.549 \times (3 \times 746)}{1430}$$

$$T_0 = 14.9 \text{ N}\cdot\text{m}$$

ดังนั้น

$$\begin{aligned} P_{stray} &= 0.018 \times (3 \times 746) \left(\frac{0.77}{14.9} \right)^2 \\ &= 0.11 \text{ W} \end{aligned}$$

เอกสารนี้เป็นเอกสารที่สงวนไว้สำหรับการใช้งานเพื่อการศึกษาเท่านั้น ไม่อนุญาตให้นำไปใช้ประโยชน์ด้านการค้า ไม่ว่ากรณีใดๆ ทั้งสิ้น อีกทั้งห้ามมิให้ตัดแปลงเนื้อหา และต้องอ้างอิงถึงเจ้าของเอกสารทุกครั้งที่มีการนำไปใช้

3.3.6 สรุปกำลังไฟฟ้าที่สูญเสียไปในสภาวะไม่มีภาระทางกล

เมื่อรวมกำลังสูญเสียทั้งขดลวดหลักและสตาร์ทและจากวิธีการที่ได้ทำการทดสอบที่สภาวะไร้ภาระทางกล สามารถนำมาคำนวณหา กำลังที่สูญเสียที่สภาวะพิกัดกำลังได้ โดยในการทดสอบใช้ค่าตัวเก็บประจุขนาด $60 \mu\text{F}$ และแรงดันไฟฟ้า 230 V

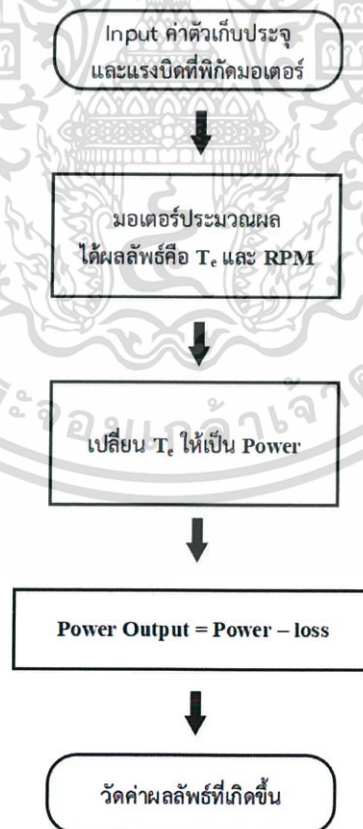
ตารางที่ 3.5 สรุปกำลังไฟฟ้าที่สูญเสียในมอเตอร์

ชนิดของกำลังสูญเสีย	กำลังสูญเสียที่สภาวะไร้ภาระทางกล (W)	กำลังสูญเสียที่สภาวะพิกัดกำลัง (W)
กำลังสูญเสียที่ขดสเตเตอร์	261.37	259.60
กำลังสูญเสียที่โรเตอร์	0	128
ความเสียดทานและแรงต้าน	14.69	14.69
กำลังสูญเสียที่แกนเหล็ก	511.95	511.94
กำลังสูญเสียจากภาระการใช้งาน	0.11	41
กำลังสูญเสียทั้งหมด	788	955.23

เอกสารนี้เป็นเอกสารที่สงวนไว้สำหรับการใช้งานเพื่อการศึกษาเท่านั้น ไม่อนุญาตให้นำไปใช้ประโยชน์ด้านการค้าไม่ว่ากรณีใดๆ ทั้งสิ้น อีกทั้งห้ามมิให้ตัดแปลงเนื้อหา และต้องอ้างอิงถึงเจ้าของเอกสารทุกครั้งที่มีการนำไปใช้

3.4 จำลองผลการทดสอบด้วยโปรแกรม MATLAB/Simulink

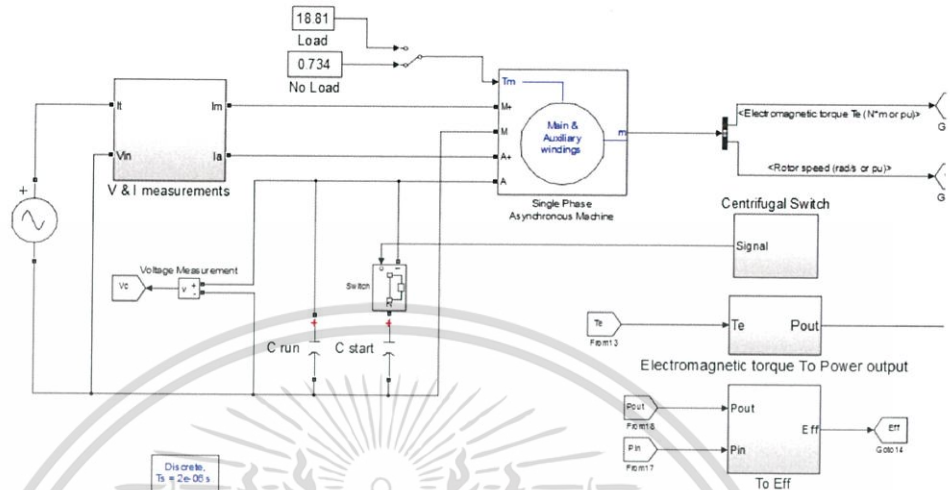
ในหัวข้อนี้แสดงการนำพารามิเตอร์และค่ากำลังสูญเสียที่ทดสอบและคำนวณได้จากหัวข้อที่แล้ว มาทำการจำลองเป็นมอเตอร์เหนี่ยวนำ 1 เฟส โดยโปรแกรม MATLAB ในส่วนของการ Simulink เพื่อดูพฤติกรรมของมอเตอร์เหนี่ยวนำ 1 เฟส เช่น เมื่อจ่ายแรงดันไฟฟ้า 230 V ค่าความเร็วของมอเตอร์จะมีค่าเท่าใด ค่าแรงดันที่ตกคร่อมตัวเก็บประจุรีมีค่าเท่าใด เป็นต้น ซึ่งจะนำค่าที่ได้ไปเปรียบเทียบกับผลจากวิธีการคำนวณการโดยใช้วงจรสมมูลที่กล่าวในหัวข้อถัดไป เพื่อดูว่าผลที่ได้จากการจำลองใกล้เคียงกับผลการคำนวณมากน้อยเพียงใด และการทำ MATLAB/Simulink ยังสามารถใช้คาดการณ์ผลลัพธ์ที่เกิดขึ้นกับมอเตอร์เหนี่ยวนำ 1 เฟส เมื่อเราลองเปลี่ยนค่าพารามิเตอร์ตัวใดตัวหนึ่ง เช่น การเปลี่ยนค่าตัวเก็บประจุ จากนั้นศึกษาพฤติกรรมของแรงบิดที่เปลี่ยนแปลงไป เป็นต้น โดยไดอะแกรมในการออกแบบ สามารถแสดงได้ตามรูปที่ 3.8



รูปที่ 3.8 ไดอะแกรมการออกแบบโปรแกรม

MATLAB/Simulink

เอกสารนี้เป็นเอกสารที่สงวนไว้สำหรับการใช้งานเพื่อการศึกษาเท่านั้น ไม่อนุญาตให้นำไปใช้ประโยชน์ด้านการค้า ไม่ว่ากรณีใดๆ ทั้งสิ้น อีกทั้งห้ามมิให้ตัดแปลงเนื้อหา และต้องอ้างอิงถึงเจ้าของเอกสารทุกครั้งที่มีการนำไปใช้



รูปที่ 3.9 บล็อกไดอะแกรมที่ใช้ในการจำลองมอเตอร์ผ่านโปรแกรม MATLAB/Simulink

Block Parameters: Single Phase Asynchronous Machine

Single Phase Asynchronous Machine (mask) (link)

Implements a single phase asynchronous machine (split-phase, capacitor-start, capacitor-start-run, main and auxiliary windings accessible) modeled in the dq stator reference frame. Main and auxiliary windings are in quadrature. You can specify initial speed that will make the machine run without the auxiliary winding.

Click the Apply or the OK button after a change to the Units popup to confirm the conversion of parameters.

Configuration	Parameters	Advanced
Nominal power, voltage, and frequency [Pn(WA), Vn(Vrms), f(HZ)]		
[3*746 230 50]		
Main winding stator [Rs(ohm), Lls(H)]		
[0.9016 5.085e-3]		
Main winding rotor [Rr'(ohm), Llr'(H)]		
[1.5064 5.085e-3]		
Main winding mutual inductance Lms(H)		
0.07977		
Auxiliary winding stator [RS(ohm), LIS(H)]		
[2.085 8.4619e-3]		
Inertia, friction factor, pole pairs, turn ratio(aux/main) [J(kg.m^2), F(N.m.s), p, NS/NS]		
[0.0146 0 2 1.29]		
Initial speed w0 (% synchronous speed)		
0		

OK Cancel Help Apply

เอกสารนี้เป็นเอกสารที่สงวนไว้สำหรับการใช้งานเพื่อการศึกษาเท่านั้น ไม่อนุญาตให้นำไปใช้ประโยชน์ด้านการค้า ไม่ว่าจะกรณีใดๆ ทั้งสิ้น อีกทั้งห้ามมิให้ตัดแปลงเนื้อหา และต้องอ้างอิงถึงเจ้าของเอกสารทุกครั้งที่มีการนำไปใช้

รูปที่ 3.10 การตั้งค่าพารามิเตอร์สำหรับโปรแกรม
MATLAB/Simulink

3.5 การหาประสิทธิภาพมอเตอร์โดยวิธีคำนวณจากวงจรสมมูล [2,3]

ในหัวข้อนี้ จะแสดงวิธีการที่ใช้ในการคำนวณหาประสิทธิภาพที่ดีที่สุดของมอเตอร์ โดยใช้ทฤษฎีการคำนวณตามมาตรฐาน IEEE และบทที่ 2 มาคำนวณโดยใช้โปรแกรม MATLAB ช่วยในการคำนวณ ในส่วนนี้จะพิจารณาที่พิกัดกำลังของมอเตอร์คือ 3 แรงม้า เท่ากับ 2238 W ในการคำนวณผ่านโปรแกรม MATLAB แต่ละครั้งนั้นจะใช้ค่าตัวเก็บประจุค่าหนึ่ง จากนั้นทำการคำนวณให้ได้ค่ากำลังขาออกเท่ากับค่ากำลังที่พิกัดของมอเตอร์ ต่อมาทำการบันทึกค่าผลลัพธ์ที่คำนวณได้ เช่น กระแสที่ขดลวดหลัก กระแสที่ขดลวดสตาร์ท กำลังไฟฟ้าขาเข้า เป็นต้น ภายหลังกนำมาคำนวณหาประสิทธิภาพที่ได้จากค่าตัวเก็บประจุแต่ละตัว บันทึกผลและเปรียบเทียบค่าประสิทธิภาพที่ได้จากค่าตัวเก็บประจุนั้นๆ โดยหลักวิธีการคำนวณสามารถนำเสนอแสดงในรูปของไดอะแกรมได้ตามรูปที่ 3.1

จากสูตรการหาค่าประสิทธิภาพ

$$\%Eff = \frac{P_{out}}{P_{in}} \times 100\% \quad (3.11)$$

เมื่อ

P_{out}

คือ กำลังทางกลมอเตอร์

P_{in}

คือ กำลังทางไฟฟ้าด้านเข้ามอเตอร์เหนี่ยวนำ 1 เฟส

ค่า P_{in} สามารถใช้สูตรการหาลำดับทางไฟฟ้าโดยตรงคือ

$$P_{in} = VI_t \cos \theta_t \quad (3.12)$$

$$P_{in} = V(I_m + I_a) \cos \theta_t \quad (3.13)$$

เมื่อ

$$\tilde{I}_t = I_t \angle \theta_t \quad (3.14)$$

$$\tilde{I}_m = I_m \angle \theta_m \quad (3.15)$$

$$\tilde{I}_a = I_a \angle \theta_a \quad (3.16)$$

เอกสารนี้เป็นเอกสารที่สงวนไว้สำหรับการใช้งานเพื่อการศึกษาเท่านั้น ไม่อนุญาตให้นำไปใช้ประโยชน์ด้านการค้า ไม่ว่ากรณีใดๆ ทั้งสิ้น อีกทั้งห้ามมิให้ตัดแปลงเนื้อหา และต้องอ้างอิงถึงเจ้าของเอกสารทุกครั้งที่มีการนำไปใช้

โดยค่าสมการที่ใช้การคำนวณหาค่ากระแสสามารถคำนวณมาได้จากสมการที่ 3.16 และสมการที่ 3.17

$$\tilde{I}_m = \frac{\tilde{V}_m (Z_{21} - Z_{12})}{Z_{11}Z_{22} - Z_{12}Z_{21}} \quad (3.17)$$

$$\tilde{I}_a = \frac{\tilde{V}_a (Z_{11} - Z_{21})}{Z_{11}Z_{22} - Z_{12}Z_{21}} \quad (3.18)$$

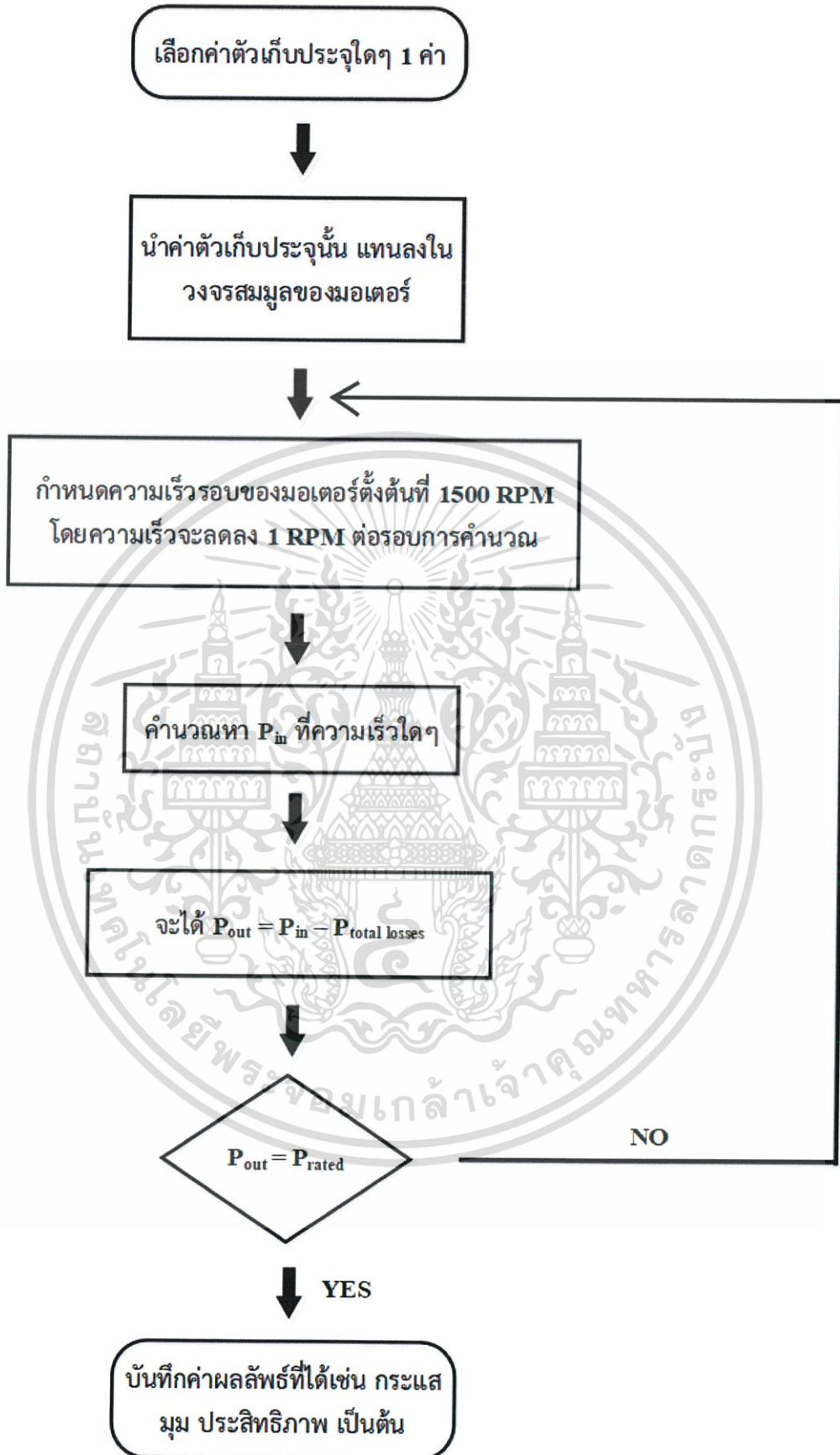
ค่า P_{out} ในการแบบจำลองทางคอมพิวเตอร์ และการคำนวณโดยใช้วงจรสมมูลนี้ จะคำนวณจากค่าพลังงานขาเข้ามอเตอร์ (P_{in}) ลบด้วย ค่ากำลังสูญเสียทั้งหมดที่เกิดขึ้นในการแปลงพลังงานไฟฟ้าไปเป็นพลังงานทางกล ซึ่งสามารถแสดงให้อยู่ในรูปสมการได้ดังนี้

$$P_{out} = P_{in} - P_{total,loss} \quad (3.19)$$

$P_{total,loss}$ สามารถคำนวณมาได้ จากทดสอบหาค่ากำลังที่สูญเสียในมอเตอร์ในหัวข้อที่แล้ว จากสมการ (3.8) คือ

$$P_{total,loss} = P_{cws} + P_{cwr} + P_f + P_{core} + P_{stray}$$

เอกสารนี้เป็นเอกสารที่สงวนไว้สำหรับการใช้งานเพื่อการศึกษาเท่านั้น ไม่อนุญาตให้นำไปใช้ประโยชน์ด้านการค้า ไม่ว่ากรณีใดๆ ทั้งสิ้น อีกทั้งห้ามมิให้ตัดแปลงเนื้อหา และต้องอ้างอิงถึงเจ้าของเอกสารทุกครั้งที่มีการนำไปใช้



รูปที่ 3.11 ไดอะแกรมของวิธีการคำนวณจากวงจรมูล

เอกสารนี้เป็นเอกสารที่สงวนไว้สำหรับการใช้งานเพื่อการศึกษาเท่านั้น ไม่อนุญาตให้นำไปใช้ประโยชน์ด้านการค้า
ไม่ว่ากรณีใดๆ ทั้งสิ้น อีกทั้งห้ามมิให้ตัดแปลงเนื้อหา และต้องอ้างอิงถึงเจ้าของเอกสารทุกครั้งที่มีการนำไปใช้

```

clear all
clc
%parameter 3HP
%main winding parameter
a=1.29;
R1m=0.9016;X1m=1.5975;Xmm=25.062;
R2=1.5064; X2=1.5975; %R2 X2
%auxiliary winding parameter
R1a=2.085;X1a=2.6583;

#####
%at respective slip

ns=((120*50)/4);
kk=1;
s = linspace(0.15,0.001,300);
%linspace(0.06,0.00267,20);
%is=0.054;
nr=ns-(s*ns);
Vm=230;

Crun=60e-6;
Zc=-(1/(100*pi*(Crun))); %-159.15;
Zc=Zc*i;

#####
%calculator main-winding
Rfm=(R2./(2*s));
Xbm=(X2/2); Xfm=Xbm;
Xmm1=(Xmm/2);

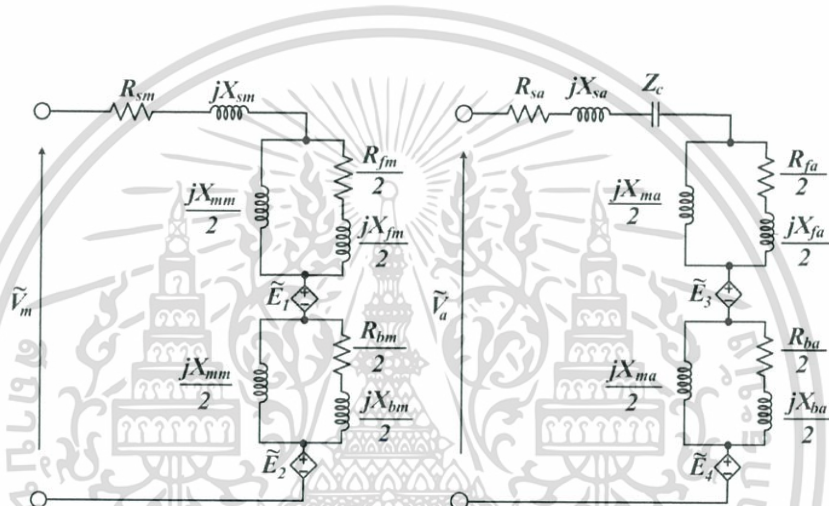
```

รูปที่ 3.12 ตัวอย่างโค้ดการคำนวณ

เอกสารนี้เป็นเอกสารที่สงวนไว้สำหรับการใช้งานเพื่อการศึกษาเท่านั้น ไม่อนุญาตให้นำไปใช้ประโยชน์ด้านการค้า ไม่ว่าจะกรณีใดๆ ทั้งสิ้น อีกทั้งห้ามมิให้ตัดแปลงเนื้อหา และต้องอ้างอิงถึงเจ้าของเอกสารทุกครั้งที่มีการนำไปใช้

3.6 การประยุกต์จันติกกับการประเมินประสิทธิภาพมอเตอร์เหนี่ยวนำ 1 เฟส

ในการใช้วิธีการทางจันติกเข้ากับการประเมินประสิทธิภาพมอเตอร์เหนี่ยวนำ ซึ่งใช้วิธีการทางจันติกแม้จะมีข้อได้เปรียบที่หลักการจันติกจะไม่สนใจพลังงานหรือหลักการของตัวมอเตอร์เหนี่ยวนำ สนใจเพียงแค่ฟังก์ชันเป้าหมายแต่การศึกษาพฤติกรรมมอเตอร์เหนี่ยวนำผ่านการทดลองจริงและเก็บผลทำให้สามารถเขียนฟังก์ชันเป้าหมายได้ง่ายขึ้น ทำให้เกิดความเข้าใจโดยรวมถึงตัวแปรที่ส่งผลต่อประสิทธิภาพของมอเตอร์ โดยการพิจารณาวงจรสมมูลของมอเตอร์เหนี่ยวนำ 1 เฟส เพื่อตั้งฟังก์ชันเป้าหมายสามารถพิจารณาได้จากวงจรสมมูลดังรูปที่ 3.13



รูปที่ 3.13 วงจรสมมูลของมอเตอร์เหนี่ยวนำ 1 เฟส
แบบแยกเป็นขดลวดหลักและขดลวดสตาร์ท

โดยฟังก์ชันที่ต้องการที่จะหาค่าที่เหมาะสมคือ ฟังก์ชันเป้าหมาย (Objective Function)

$$\text{Objective Function} = \frac{P_{out}}{P_{in}} \quad (3.20)$$

โดยฟังก์ชันที่ 3.19 เป็นฟังก์ชันในการคำนวณหาประสิทธิภาพของมอเตอร์ซึ่ง

$$P_{out} = P_{ag} - P_{cwr} - P_f \quad (3.21)$$

$$P_{ag} = P_{agf} + P_{agb} \quad (3.22)$$

เอกสารนี้เป็นเอกสารที่สงวนไว้สำหรับการใช้งานเพื่อการศึกษาเท่านั้น ไม่อนุญาตให้นำไปใช้ประโยชน์ด้านการค้า ไม่ว่าจะกรณีใดๆ ทั้งสิ้น อีกทั้งห้ามมิให้ตัดแปลงเนื้อหา และต้องอ้างอิงถึงเจ้าของเอกสารทุกครั้งที่มีการนำไปใช้

P_{ag} คือ กำลังที่ส่งผ่านข้ามช่องว่างอากาศระหว่างสเตเตอร์และโรเตอร์ โดยจาก ทฤษฎีคู่สนามแม่เหล็กหมุนสามารถแยกให้เป็น 2 ส่วนคือส่วน Forward (P_{agf}) และ Backward (P_{agb})

$$P_{agf} - P_{agb} = (R_f - R_b)(I_m^2 + (aI_a)^2) + 2aI_mI_a(R_f + R_b)\sin(\theta_a - \theta_m) \quad (3.23)$$

$$P_{cus} = I_m^2 R_m + I_a^2 R_a \quad (3.24)$$

P_{cus} คือ กำลังสูญเสียที่ส่วนขดลวดสเตเตอร์ ใช้ในการหากำลังสูญเสียในขดลวดโรเตอร์

$$P_{cwr} = (P_{in} - P_{cus} - P_f - P_{core})s \quad (3.25)$$

กำลังสูญเสียในแกนเหล็ก, กำลังสูญเสียจากภาระการใช้งาน และกำลังสูญเสียจาก แรงเสียดทานและแรงต้านทานอากาศ เป็นค่าพารามิเตอร์ที่วัดได้จากสภาวะไม่มีภาระทางกล

$$P_{cwr} = P_{core} + P_f + P_{stray} \quad (3.26)$$

$$\%Eff = \frac{P_{out}}{V_{in}I_t \cos(\theta_t)} \times 100 \quad (3.27)$$

ในปริภูมิตฤษฎีนี้ได้พิจารณาจรรยาบรรณเพื่อหาค่าตัวเก็บประจุที่เหมาะสม ผน ความเร็วพิกัด P_{out} จึงมีค่า 2238 ซึ่งคือกำลังทางกลขาออกมอเตอร์ที่ต้องการโดยหากต้องการหา ประสิทธิภาพที่ความเร็วต่างๆสามารถกำหนดตัวแปรความเร็วขึ้นมาเพื่อใช้ในการพิจารณา ประสิทธิภาพของมอเตอร์ได้

$$\tilde{V}_m = \tilde{I}_m (Z_{1m} + Z_f + Z_b) + E_1 + E_2$$

$$\tilde{V}_a = \tilde{I}_a (Z_c + Z_{1a} + a^2 Z_f + a^2 Z_b) + E_3 + E_4$$

$$\tilde{V}_m = \tilde{V}_a$$

$$E_1 = -j\tilde{I}_a a Z_f$$

$$E_2 = j\tilde{I}_a a Z_b$$

$$E_3 = j\tilde{I}_m a Z_f$$

$$E_4 = -j\tilde{I}_m a Z_b$$

เอกสารนี้เป็นเอกสารที่สงวนไว้สำหรับการใช้งานเพื่อการศึกษาเท่านั้น ไม่อนุญาตให้นำไปใช้ประโยชน์ด้านการค้า ไม่ว่ากรณีใดๆ ทั้งสิ้น อีกทั้งห้ามมิให้ตัดแปลงเนื้อหา และต้องอ้างอิงถึงเจ้าของเอกสารทุกครั้งที่มีการนำไปใช้

พิจารณาให้

$$\begin{aligned} Z_{11} &= Z_{sm} + Z_{fm} + Z_{bm} \\ Z_{12} &= -ja(Z_{fm} - Z_{bm}) \\ Z_{21} &= ja(Z_{fm} - Z_{bm}) \\ Z_{22} &= Z_{sa} + Z_c + a^2(Z_{fm} + Z_{bm}) \end{aligned}$$

จากสมการ 2.42 – 2.43

$$\tilde{I}_m = \frac{\tilde{V}_m (Z_{22} - Z_{12})}{Z_{11}Z_{22} - Z_{12}Z_{21}}$$

$$\tilde{I}_a = \frac{\tilde{V}_a (Z_{11} - Z_{21})}{Z_{11}Z_{22} - Z_{12}Z_{21}}$$

ตัวแปรที่เกี่ยวข้องกับความเร็วและตัวเก็บประจุ

$$R_{fm} = \frac{R'_2}{2(2s)} \quad (3.28)$$

$$R_{fa} = \frac{a^2 R'_2}{2(2s)} \quad (3.29)$$

$$R_{bm} = \frac{R'_2}{2(2-s)} \quad (3.30)$$

$$R_{ba} = \frac{a^2 R'_2}{2(2-s)} \quad (3.31)$$

เอกสารนี้เป็นเอกสารที่สงวนไว้สำหรับการใช้งานเพื่อการศึกษาเท่านั้น ไม่อนุญาตให้นำไปใช้ประโยชน์ด้านการค้า ไม่ว่ากรณีใดๆ ทั้งสิ้น อีกทั้งห้ามมิให้ตัดแปลงเนื้อหา และต้องอ้างอิงถึงเจ้าของเอกสารทุกครั้งที่มีการนำไปใช้

บทที่ 4

ผลการทดสอบ

4.1 บทนำ

สำหรับเนื้อหาในบทนี้จะกล่าวถึงผลลัพธ์จากการหาค่าตัวเก็บประจุที่ทำให้มอเตอร์เหนี่ยวนำมีค่าประสิทธิภาพที่สุดด้วย 3 วิธีที่ได้กล่าวในบทที่แล้ว คือการหาผลลัพธ์ด้วยวิธีจินเนติก อัลกอริธึม การหาผลลัพธ์โดยวิธีใช้โปรแกรม MATLAB/Simulink และการคำนวณโดยใช้วงจรสมมูล โดยในการเปรียบเทียบผลนั้น จะเปรียบเทียบขณะที่มอเตอร์ทำงานที่พิกัดกำลังโดยใช้ค่าแรงดันขนาด 230 V

4.2 การหาประสิทธิภาพมอเตอร์เหนี่ยวนำ 1 เฟสโดยวิธีจินเนติก

4.2.1 ขั้นตอนการประเมิน

1. ป้อนค่าข้อมูลของมอเตอร์เหนี่ยวนำ 1 เฟสชนิดตัวเก็บประจุสตาร์ท-ตัวเก็บประจุรัน $\tilde{V}_m, \tilde{V}_a, \tilde{V}_t, f, a$ และค่าขดลวดต่างๆ ภายในมอเตอร์เหนี่ยวนำ
2. พิจารณาประสิทธิภาพมอเตอร์ที่ความเร็วพิกัดกำลัง
3. เปรียบเทียบผลลัพธ์ค่าตัวเก็บประจุที่ดีที่สุดกับวิธีการทดสอบอื่นๆ

```
%Genetic Algorithm
FitFcn = @Information3 ;
nvars = 1 ;
nonlc = @Constraint2 ;
LB = 20 ;
UB = 90 ;
options = gaoptimset('PopulationSize', 500,...
'Generations', 25*nvars,...
'TolFun', 1e-4,...
'CrossoverFcn', @crossoverheuristic,...
'MutationFcn', @mutationadaptfeasible,...
'PlotFcns', @gaplotbestf,...
'Display', 'iter');
[x, fval] = ga(FitFcn, nvars, [], [], [], [], LB, UB, nonlc, options);
```

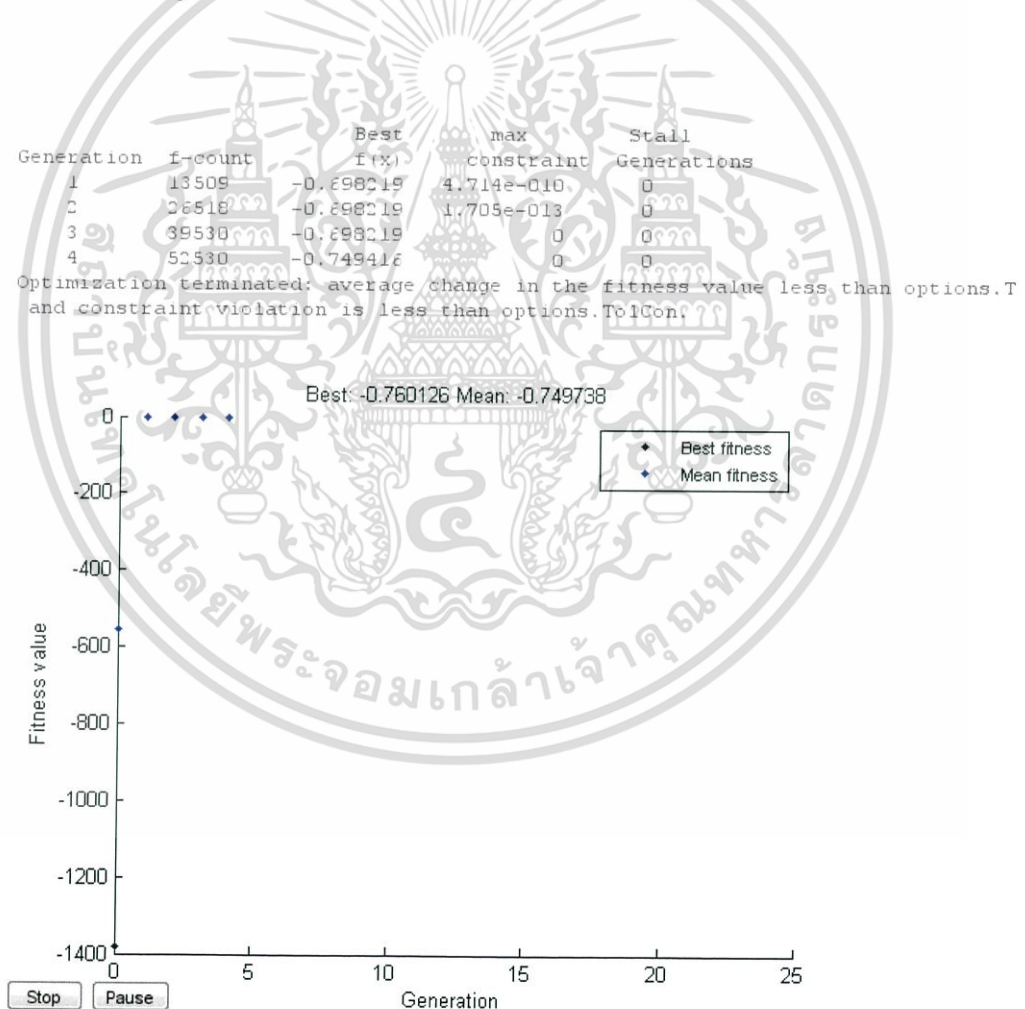
รูปที่ 4.1 โปรแกรมสำหรับคำนวณหาค่าสลิป และค่าตัวเก็บประจุ

เอกสารนี้เป็นเอกสารที่สงวนไว้สำหรับการใช้งานเพื่อการศึกษาเท่านั้น ไม่อนุญาตให้นำไปใช้ประโยชน์ด้านการค้า ไม่ว่ากรณีใดๆ ทั้งสิ้น อีกทั้งห้ามมิให้ตัดแปลงเนื้อหา และต้องอ้างอิงถึงเจ้าของเอกสารทุกครั้งที่มีการนำไปใช้

จากรูปที่ 4.1 LB และ UB คือขอบเขตบนและขอบเขตล่างของ ขนาดของตัวเก็บ ประจุที่ใส่ไปในขดลวดสตาร์ท โดยสามารถปรับเปลี่ยนให้เหมาะสมกับค่าฟังก์ชันเป้าหมายได้ เช่น ที่ ความเร็วที่พิกัดกำลังเท่ากับ 1430 RPM สามารถวิเคราะห์ให้ขอบบนและขอบล่างของค่าตัวเก็บ ประจุมีค่าอยู่ในช่วงที่พิจารณาหรือค่าตัวเก็บประจุที่มีค่ามากที่สุดซึ่งมีขายในท้องตลาดได้

FitFcn	@Information3		
LB	20	20	20
UB	90	90	90
fval	-0.7494	-0.7494	-0.7494
nonlc	@Constraint2		
nvars	1	1	1
options	<1x1 struct>		
x	71.4558	71.4558	71.4558

รูปที่ 4.2 ผลลัพธ์ที่แสดงในหน้าต่าง Command Window



รูปที่ 4.3 การคำนวณของเงินตักอัคริธีม ตั้งแต่เจนเรชันที่ 1

เอกสารนี้เป็นเอกสารที่สงวนไว้สำหรับการใช้งานเพื่อการศึกษาเท่านั้น ไม่อนุญาตให้นำไปใช้ประโยชน์ด้านการค้า ไม่ว่ากรณีใดๆ ทั้งสิ้น อีกทั้งห้ามมิให้ตัดแปลงเนื้อหา และต้องอ้างอิงถึงเจ้าของเอกสารทุกครั้งที่มีการนำไปใช้

ตารางที่ 4.1 ค่าตัวเก็บประจุที่เหมาะสมที่คำนวณได้จากวิธีจึเนติกอัลกอริธึม

ที่ความเร็ว 1400 – 1500 rpm โดยใช้ค่าตัวเก็บประจุ 20 – 90 μF		
Best Capacitor Run (μF)	Speed (rpm)	Efficiency (%)
71	1430	74.94

4.3 ผลจากการจำลองด้วยโปรแกรม MATLAB/Simulink

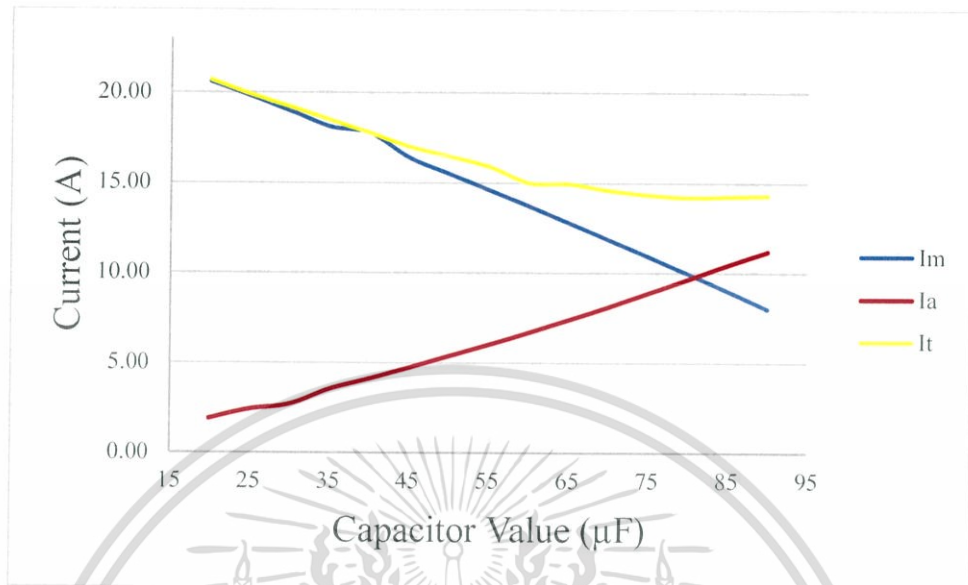
ในการจำลองด้วยโปรแกรม MATLAB/Simulink นั้น จะทำการทดลองค่าโหลดที่พิกัดกำลังโดยจะจำลองผ่านการกำหนดแรงบิดทางกล และทำการเปลี่ยนค่าขนาดของตัวเก็บประจุจากนั้นบันทึกผล แล้วนำผลลัพธ์ที่มาเปรียบเทียบ เพื่อหาค่าตัวเก็บประจุที่ทำให้ได้ประสิทธิภาพที่ดีที่สุด โดยผลลัพธ์ถูกแสดงผ่านตารางที่ 4.2

ตารางที่ 4.2 ผลจากการจำลองด้วยโปรแกรม MATLAB/Simulink

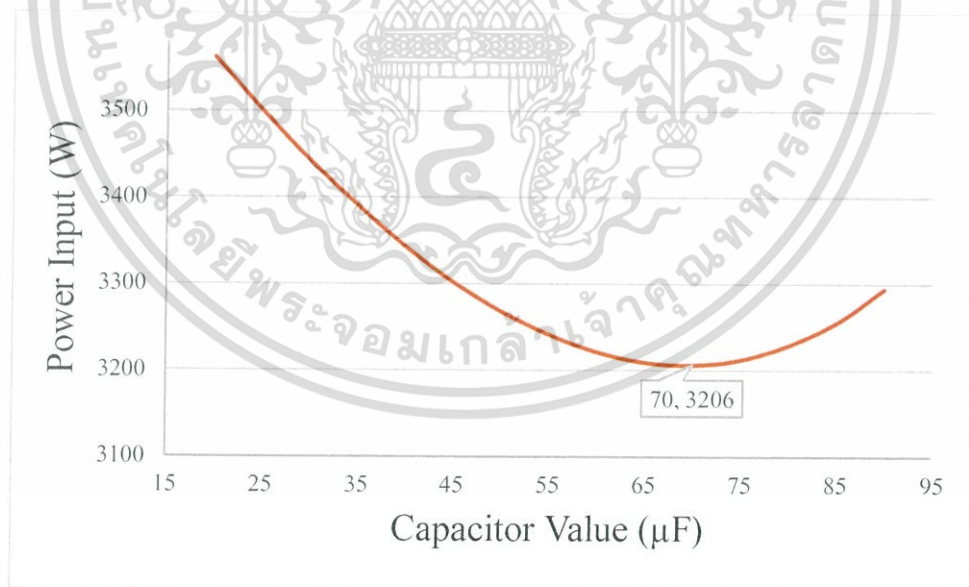
Capacitor (μF)	P_{out} (W)	P_{in} (W)	T_{sh} (N•m)	I_m (A)	I_a (A)	I_f (A)	Speed (RPM)	pf	%Eff
20	2201	3562	15.09	20.60	1.90	20.70	1392	0.748	61.70
25	2207	3500	15.09	19.80	2.42	19.90	1396	0.765	63.00
30	2212	3442	15.09	18.96	2.69	19.20	1399	0.779	64.20
35	2218	3390	15.10	18.10	3.53	18.47	1402	0.798	65.43
40	2223	3343	15.09	17.75	4.11	17.76	1406	0.818	66.50
45	2228	3302	15.09	16.38	4.72	17.00	1409	0.845	67.50
50	2233	3268	15.10	15.50	5.35	16.46	1412	0.863	68.00
55	2237	3241	15.10	14.60	6.00	15.89	1414	0.887	69.00
60	2241	3221	15.10	13.70	6.68	15.00	1417	0.934	69.60
65	2246	3209	15.10	12.78	7.39	14.94	1420	0.934	69.90
70	2250	3206	15.10	11.86	8.11	14.59	1422	0.955	70.16
75	2253	3212	15.10	10.92	8.87	14.34	1424	0.974	70.14
80	2257	3229	15.10	9.97	9.64	14.20	1427	0.989	69.90
85	2260	3255	15.10	9.00	10.45	14.25	1429	0.993	69.40
90	2263	3294	15.09	8	11.2	14.3	1431	1.000	68.7

เอกสารนี้เป็นเอกสารที่สงวนไว้สำหรับการใช้งานเพื่อการศึกษาเท่านั้น ไม่อนุญาตให้นำไปใช้ประโยชน์ด้านการค้าไม่ว่ากรณีใดๆ ทั้งสิ้น อีกทั้งห้ามมิให้ตัดแปลงเนื้อหา และต้องอ้างอิงถึงเจ้าของเอกสารทุกครั้งที่มีการนำไปใช้

จากตารางผลการจำลองทางคอมพิวเตอร์พบว่า ค่าตัวเก็บประจุที่ทำให้มอเตอร์ตัวนี้มีประสิทธิภาพดีที่สุดคือ 70 ซึ่งให้ค่าประสิทธิภาพเท่ากับ 70.16 %

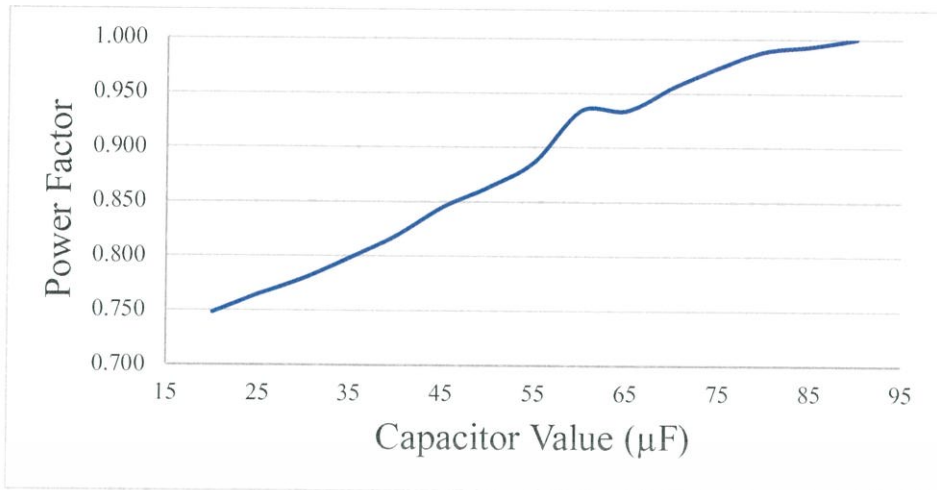


รูปที่ 4.4 ความสัมพันธ์กระแสกับค่าตัวเก็บประจุ
ที่ได้จากการทำจำลองทางคอมพิวเตอร์

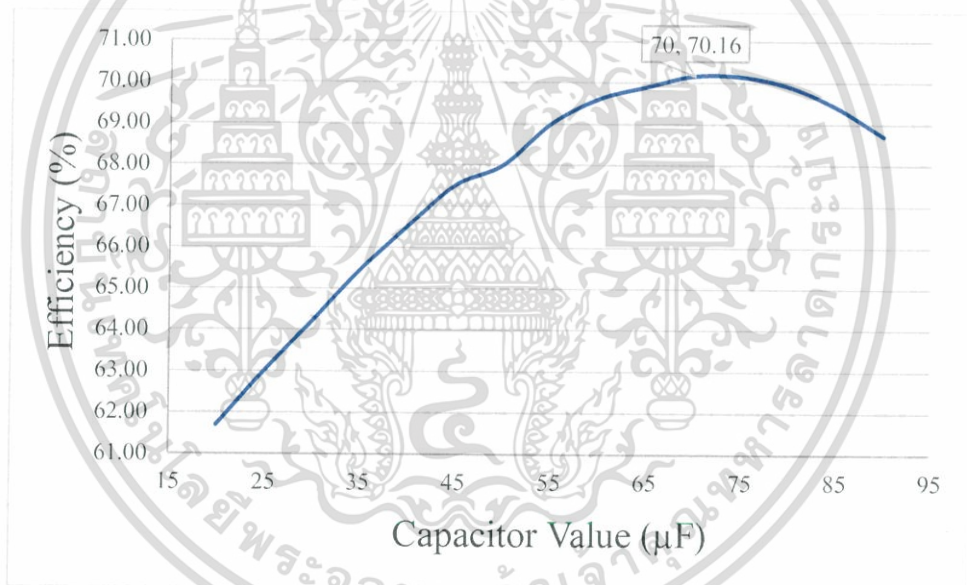


รูปที่ 4.5 ความสัมพันธ์กำลังไฟฟ้าขาเข้ากับค่าตัวเก็บประจุ
ที่ได้จากการทำจำลองทางคอมพิวเตอร์

เอกสารนี้เป็นเอกสารที่สงวนไว้สำหรับการใช้งานเพื่อการศึกษาเท่านั้น ไม่อนุญาตให้นำไปใช้ประโยชน์ด้านการค้า
ไม่ว่ากรณีใดๆ ทั้งสิ้น อีกทั้งห้ามมิให้ตัดแปลงเนื้อหา และต้องอ้างอิงถึงเจ้าของเอกสารทุกครั้งที่มีการนำไปใช้



รูปที่ 4.6 ความสัมพันธ์ค่าตัวประกอบกำลังกับค่าตัวเก็บประจุ
ที่ได้จากการทำจำลองทางคอมพิวเตอร์



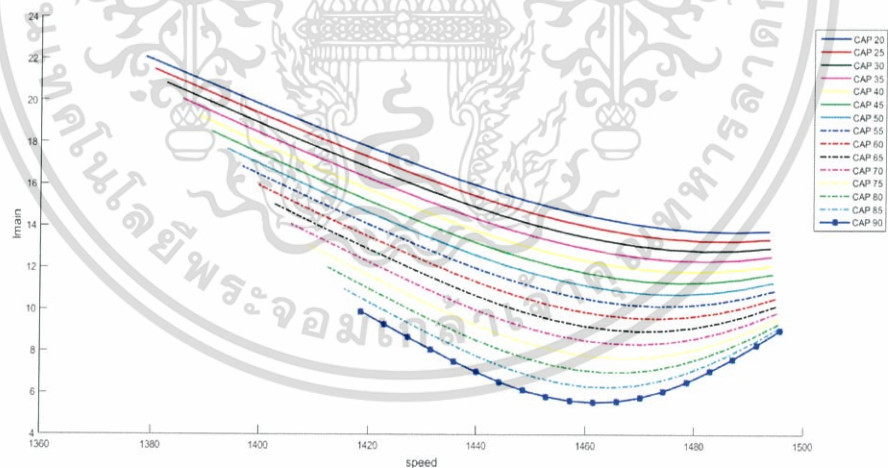
รูปที่ 4.7 ความสัมพันธ์ประสิทธิภาพกับค่าตัวเก็บประจุ
ที่ได้จากการทำจำลองทางคอมพิวเตอร์

เอกสารนี้เป็นเอกสารที่สงวนไว้สำหรับการใช้งานเพื่อการศึกษาเท่านั้น ไม่อนุญาตให้นำไปใช้ประโยชน์ด้านการค้า
ไม่ว่ากรณีใดๆ ทั้งสิ้น อีกทั้งห้ามมิให้ตัดแปลงเนื้อหา และต้องอ้างอิงถึงเจ้าของเอกสารทุกครั้งที่มีการนำไปใช้

4.4 ผลการหาประสิทธิภาพมอเตอร์จากการคำนวณโดยใช้วงจรสมมูล

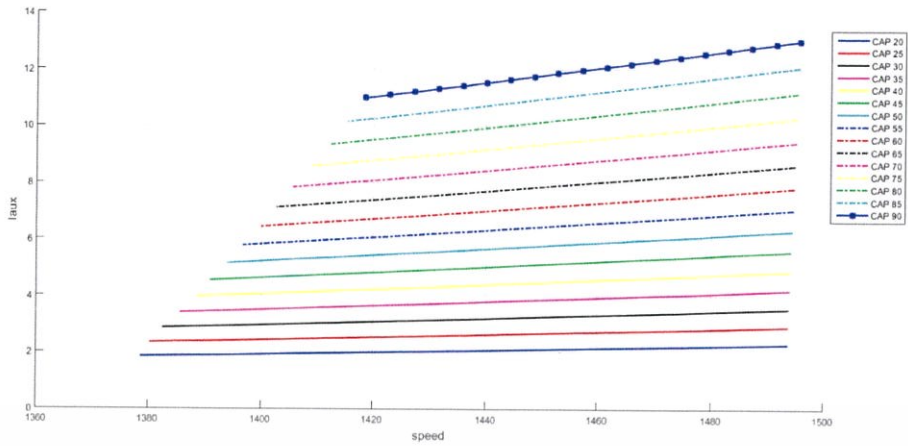
ในหัวข้อนี้จะใช้การคำนวณโดยตรงเพื่อคาดการณ์ผลลัพธ์ที่เกิดขึ้นกับมอเตอร์เหนี่ยวนำ เมื่อลองเปลี่ยนค่าตัวเก็บประจุที่ขนาดตั้งแต่ $20\mu\text{F}$ - $90\mu\text{F}$ ด้วยโปรแกรม MATLAB จากนั้นนำผลลัพธ์ที่เกิดขึ้นจากค่าตัวเก็บประจุแต่ละตัว มาแสดงเป็นกราฟเพื่อเปรียบเทียบผลลัพธ์ที่เกิดขึ้น โดยเนื้อหาจะแบ่งออกเป็น 2 ส่วน ในส่วนแรก จะเป็นแสดงความสัมพันธ์ระหว่างค่ากระแสที่ขดลวดหลัก (\bar{I}_m) , กระแสที่ขดลวดสตาร์ท (\bar{I}_α) , กระแสขาเข้ามอเตอร์ (\bar{I}_l) , ความต่างของมุมกระแสที่ขดลวดหลักและขดลวดสตาร์ท (Zetamain&aux), แรงบิด (Torque), กำลังไฟฟ้าขาออก (Power output) และค่าประสิทธิภาพ (Eff) เทียบกับความเร็วรอบของมอเตอร์ที่ระดับความเร็วต่างๆ และในส่วนที่สอง จะเป็นการแสดงค่าผลลัพธ์ต่างๆของมอเตอร์ที่เปลี่ยนไปเมื่อทำการเปลี่ยนค่าตัวเก็บประจุที่พิกัดกำลังของมอเตอร์

4.4.1 ผลลัพธ์จากการคำนวณโดยใช้วงจรสมมูลเมื่อทดสอบที่ระดับความเร็วต่างๆ

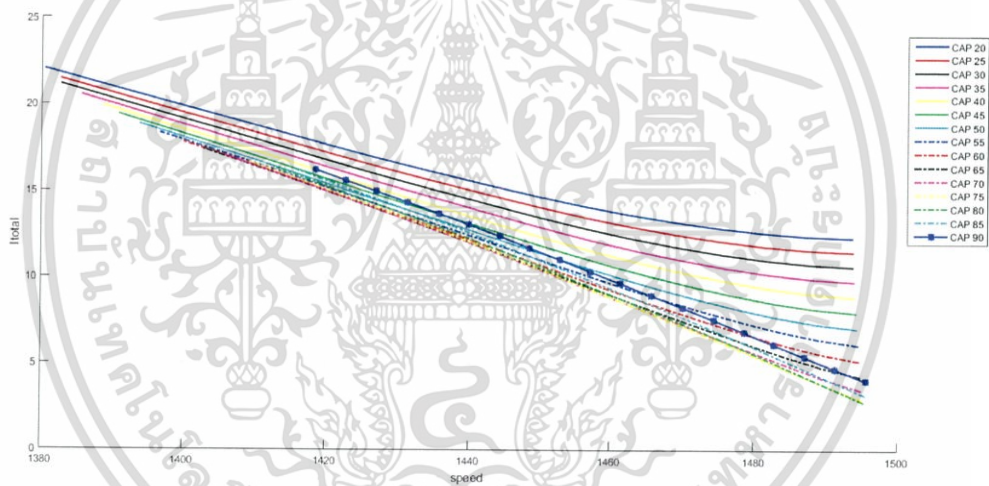


รูปที่ 4.8 ความสัมพันธ์ระหว่างกระแสที่ขดลวดหลักกับความเร็วรอบจากการคำนวณโดยใช้วงจรสมมูล

เอกสารนี้เป็นเอกสารที่สงวนไว้สำหรับการใช้งานเพื่อการศึกษาเท่านั้น ไม่อนุญาตให้นำไปใช้ประโยชน์ด้านการค้าไม่ว่ากรณีใดๆ ทั้งสิ้น อีกทั้งห้ามมิให้ตัดแปลงเนื้อหา และต้องอ้างอิงถึงเจ้าของเอกสารทุกครั้งที่มีการนำไปใช้

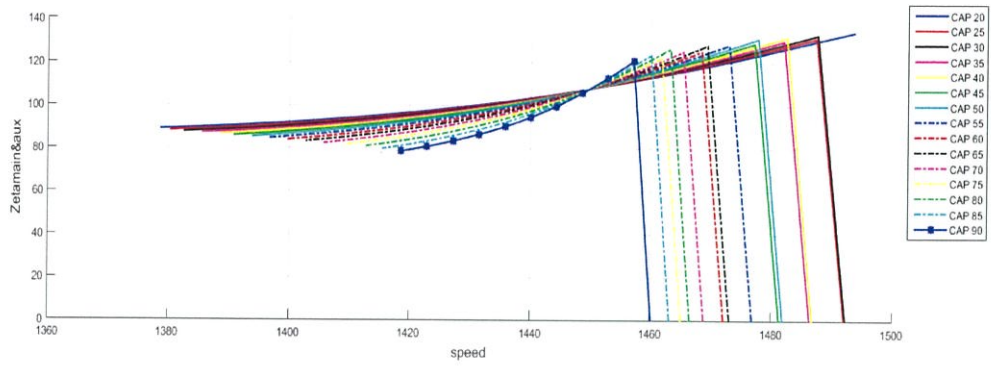


รูปที่ 4.9 ความสัมพันธ์ระหว่างกระแสที่ขดลวดสตาร์ทกับความเร็รรอบ
จากการคำนวณโดยใช้วงจรสมมูล

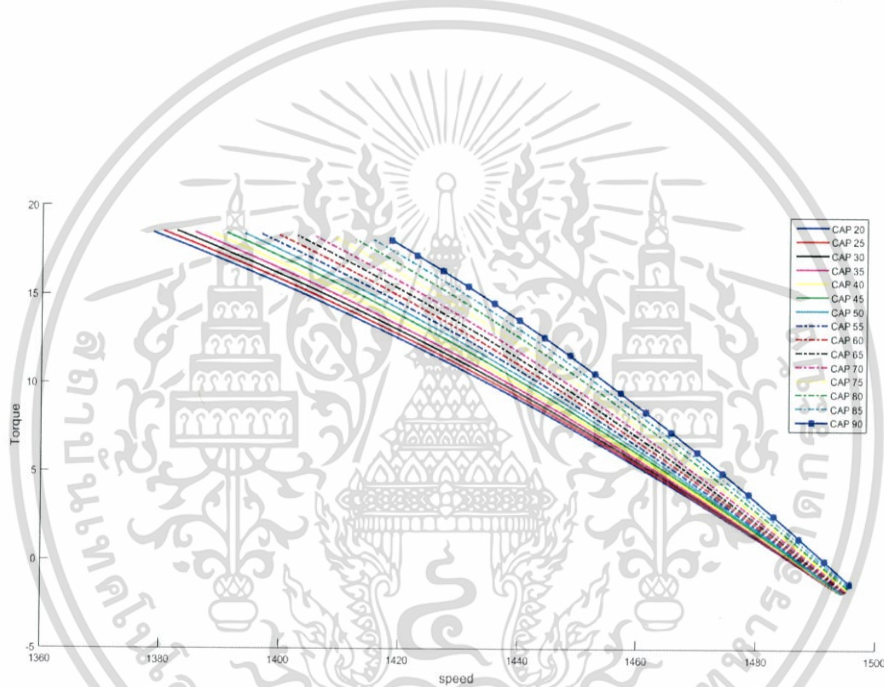


รูปที่ 4.10 ความสัมพันธ์ระหว่างกระแสขาเข้ามอเตอร์กับความเร็รรอบ
จากการคำนวณโดยใช้วงจรสมมูล

เอกสารนี้เป็นเอกสารที่สงวนไว้สำหรับการใช้งานเพื่อการศึกษาเท่านั้น ไม่อนุญาตให้นำไปใช้ประโยชน์ด้านการค้า
ไม่ว่ากรณีใดๆ ทั้งสิ้น อีกทั้งห้ามมิให้ตัดแปลงเนื้อหา และต้องอ้างอิงถึงเจ้าของเอกสารทุกครั้งที่มีการนำไปใช้

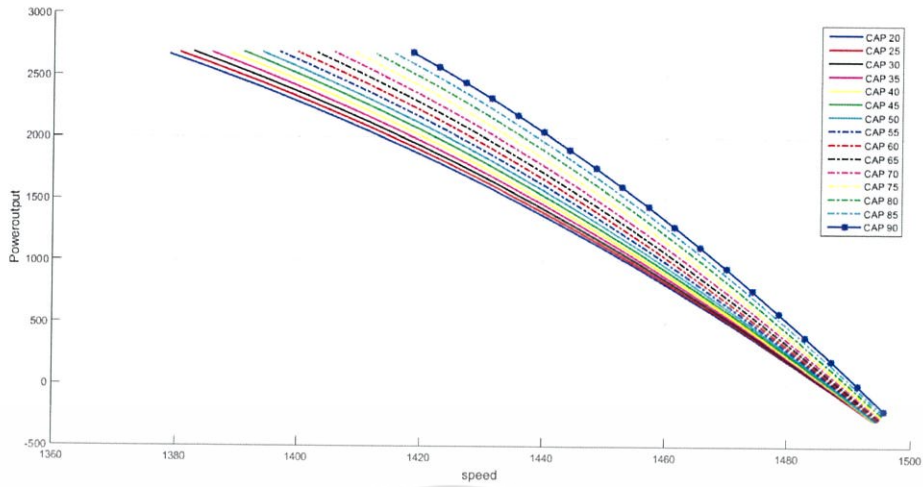


รูปที่ 4.11 ความสัมพันธ์ระหว่างความต่างของมุมกระแสที่ขดลวดหลัก และขดลวดสตาร์ทกับความเร็วยกจากการคำนวณโดยใช้วงจรสมมูล

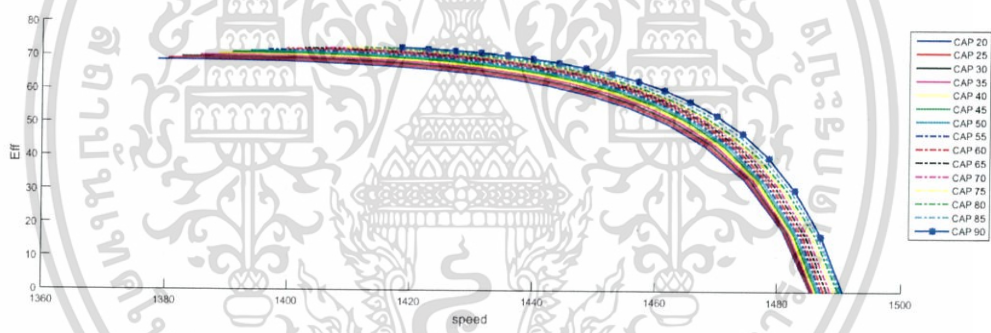


รูปที่ 4.12 ความสัมพันธ์ระหว่างแรงบิดกับความเร็วยกจากการคำนวณโดยใช้วงจรสมมูล

เอกสารนี้เป็นเอกสารที่สงวนไว้สำหรับการใช้งานเพื่อการศึกษาเท่านั้น ไม่อนุญาตให้นำไปใช้ประโยชน์ด้านการค้า ไม่ว่ากรณีใดๆ ทั้งสิ้น อีกทั้งห้ามมิให้ตัดแปลงเนื้อหา และต้องอ้างอิงถึงเจ้าของเอกสารทุกครั้งที่มีการนำไปใช้



รูปที่ 4.13 ความสัมพันธ์ระหว่างกำลังขาออกกับความเร็วรอบ
จากการคำนวณโดยใช้วงจรมุมล



รูปที่ 4.14 ความสัมพันธ์ระหว่างประสิทธิภาพกับความเร็วรอบ
จากการคำนวณโดยใช้วงจรมุมล

เอกสารนี้เป็นเอกสารที่สงวนไว้สำหรับการใช้งานเพื่อการศึกษาเท่านั้น ไม่อนุญาตให้นำไปใช้ประโยชน์ด้านการค้า
ไม่ว่ากรณีใดๆ ทั้งสิ้น อีกทั้งห้ามมิให้ตัดแปลงเนื้อหา และต้องอ้างอิงถึงเจ้าของเอกสารทุกครั้งที่มีการนำไปใช้

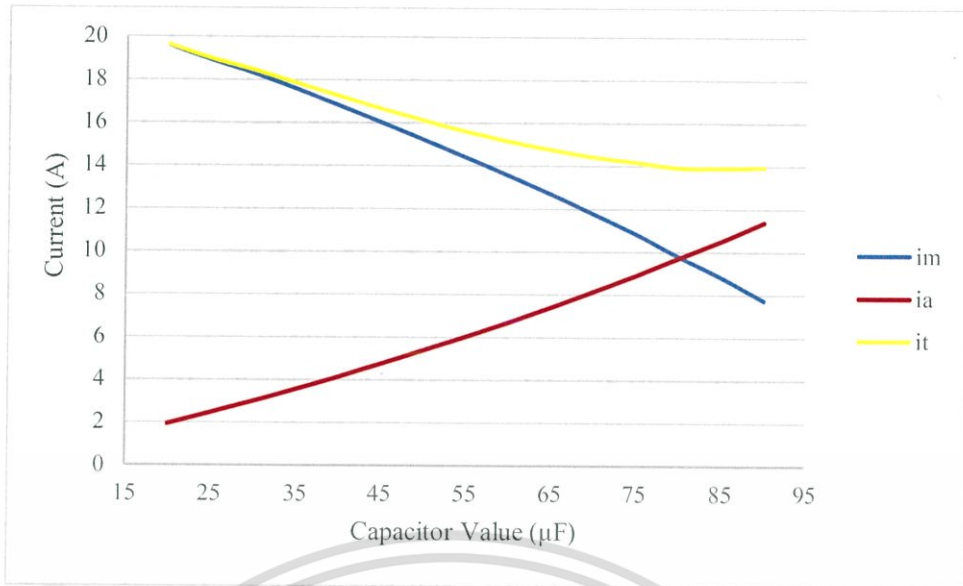
4.4.2 ผลลัพธ์จากการคำนวณโดยใช้วงจรสมมูลเมื่อกำหนดที่พิกัดกำลัง

ในหัวข้อนี้จะแสดงข้อมูลต่างๆที่ได้จากการคำนวณเมื่อกำหนดให้ค่ากำลังด้านขาออกของมอเตอร์มีขนาดเท่ากับพิกัดของมอเตอร์ คือ $3 \times 746 = 2238 \text{ W}$

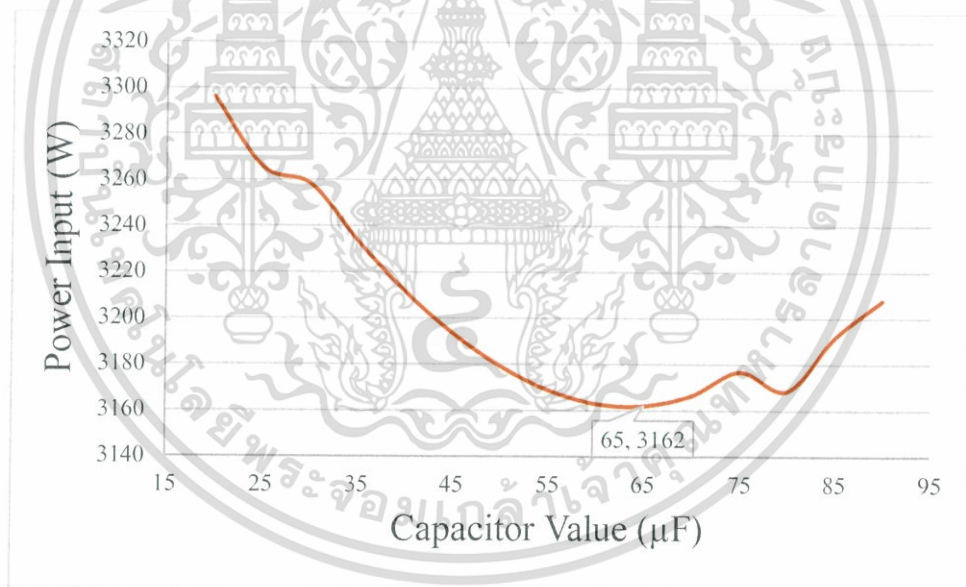
ตารางที่ 4.3 ผลลัพธ์จากการคำนวณโดยใช้วงจรสมมูลเมื่อกำหนดที่พิกัดกำลัง

Capacitor (μF)	P_{out} (W)	P_{in} (W)	T_{sh} (W)	I_m (W)	I_a (W)	I_t (W)	Speed (RPM)	pf	%Eff
20	2241	3296.1	15.26	19.59	1.92	19.62	1402	0.730	67.99
25	2234.5	3265.5	15.1943	18.90	2.45	18.98	1404.3	0.748	68.43
30	2244.2	3258.2	15.244	18.27	2.99	18.44	1405.8	0.768	68.88
35	2239.5	3233.5	15.188	17.54	3.55	17.82	1408.1	0.789	69.26
40	2235.9	3211.8	15.139	16.78	4.14	17.22	1410.3	0.811	69.62
45	2233	3193.6	15.098	16.00	4.74	16.65	1412.5	0.834	69.92
50	2231.9	3179.1	15.0648	15.21	5.37	16.10	1414.8	0.858	70.21
55	2234.8	3168.8	15.04	14.38	6.02	15.60	1417	0.883	70.53
60	2233	3162.9	15.024	13.54	6.70	15.14	1419	0.908	70.60
65	2235	3162	15.018	12.67	7.40	14.75	1421.5	0.932	70.68
70	2239	3166.4	15.02	11.77	8.13	14.42	1423.8	0.955	70.71
75	2245	3176.7	15.03	10.84	8.89	14.18	1426	0.974	70.67
80	2231	3168.5	14.91	9.79	9.69	13.93	1429	0.989	70.41
85	2239.9	3191.7	14.94	8.81	10.51	13.91	1431.2	0.998	70.18

เอกสารนี้เป็นเอกสารที่สงวนไว้สำหรับการใช้งานเพื่อการศึกษาเท่านั้น ไม่อนุญาตให้นำไปใช้ประโยชน์ด้านการค้าไม่ว่ากรณีใดๆ ทั้งสิ้น อีกทั้งห้ามมิให้ตัดแปลงเนื้อหา และต้องอ้างอิงถึงเจ้าของเอกสารทุกครั้งที่มีการนำไปใช้

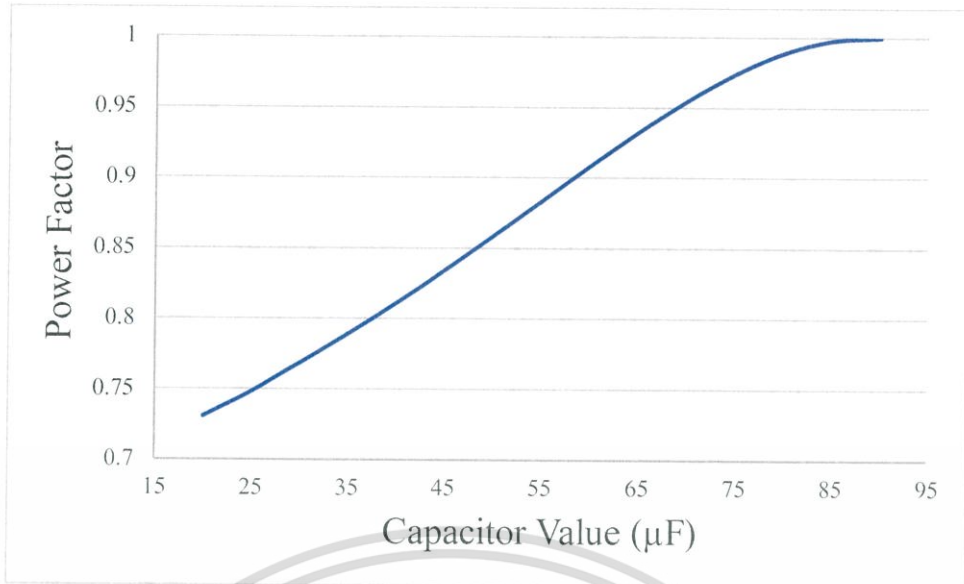


รูปที่ 4.15 ความสัมพันธ์ระหว่างกระแสกับค่าตัวเก็บประจุ
จากการคำนวณโดยใช้วงจรสมมูล

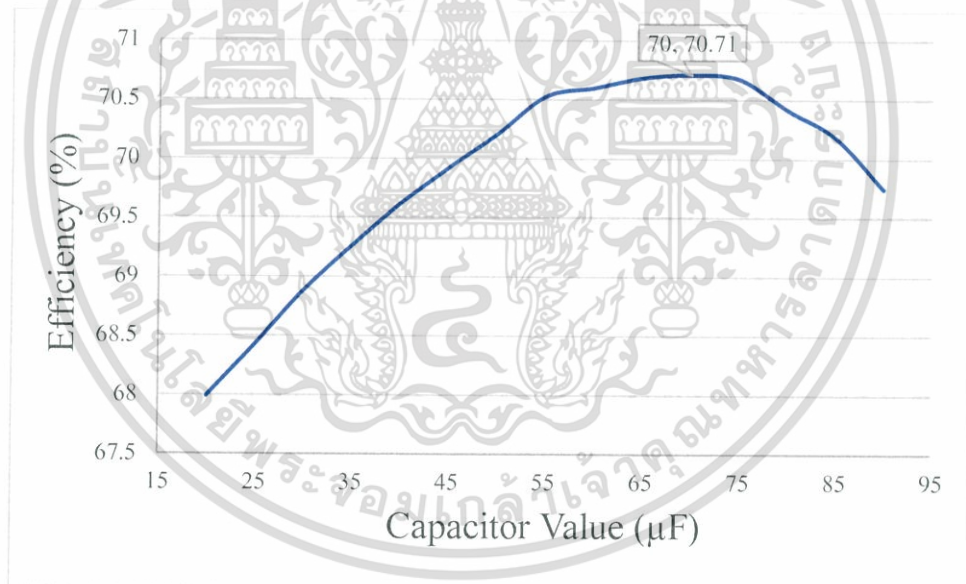


รูปที่ 4.16 ความสัมพันธ์ระหว่างกำลังไฟฟ้าขาเข้ากับค่าตัวเก็บประจุ
จากการคำนวณโดยใช้วงจรสมมูล

เอกสารนี้เป็นเอกสารที่สงวนไว้สำหรับการใช้งานเพื่อการศึกษาเท่านั้น ไม่อนุญาตให้นำไปใช้ประโยชน์ด้านการค้า
ไม่ว่ากรณีใดๆ ทั้งสิ้น อีกทั้งห้ามมิให้ตัดแปลงเนื้อหา และต้องอ้างอิงถึงเจ้าของเอกสารทุกครั้งที่มีการนำไปใช้



รูปที่ 4.17 ความสัมพันธ์ระหว่างตัวประกอบกำลังกับค่าตัวเก็บประจุ
จากการคำนวณโดยใช้วงจรสมมูล



รูปที่ 4.18 ความสัมพันธ์ระหว่างประสิทธิภาพกับค่าตัวเก็บประจุ
จากการคำนวณโดยใช้วงจรสมมูล

เอกสารนี้เป็นเอกสารที่สงวนไว้สำหรับการใช้งานเพื่อการศึกษาเท่านั้น ไม่อนุญาตให้นำไปใช้ประโยชน์ด้านการค้า
ไม่ว่ากรณีใดๆ ทั้งสิ้น อีกทั้งห้ามมิให้ตัดแปลงเนื้อหา และต้องอ้างอิงถึงเจ้าของเอกสารทุกครั้งที่มีการนำไปใช้

4.5 การเปรียบเทียบผลลัพธ์จากการคำนวณโดยใช้วงจรสมมูลกับการจำลองทางคอมพิวเตอร์

ในหัวข้อนี้ จะนำผลลัพธ์ที่สภาวะพิกัดกำลังของมอเตอร์ที่ได้จากการคำนวณโดยใช้วงจรสมมูลมาเปรียบเทียบกับผลลัพธ์ที่ได้จากการทำแบบจำลองทางคอมพิวเตอร์โดยใช้โปรแกรม MATLAB/Simulink จากนั้นจะทำการเปรียบเทียบค่าความแตกต่างของประสิทธิภาพที่คำนวณได้จากทั้ง 2 วิธี

ตารางที่ 4.4 เปรียบเทียบผลลัพธ์จากการคำนวณโดยใช้วงจรสมมูลกับการจำลองทางคอมพิวเตอร์ ตารางที่ 1

ค่าตัวเก็บประจุ (μF)	ค่ากระแส (A)					
	คำนวณโดยใช้วงจรสมมูล			แบบจำลองทางคอมพิวเตอร์		
	I_m	I_a	I_t	I_m	I_a	I_t
20	19.59	1.92	19.62	20.6	1.9	20.7
25	18.9027	2.4495	18.9816	19.8	2.42	19.9
30	18.269	2.9895	18.438	18.96	2.69	19.2
35	17.536	3.553	17.822	18.1	3.53	18.47
40	16.783	4.137	17.2233	17.75	4.11	17.76
45	16	4.74	16.648	16.38	4.72	17
50	15.209	5.37	16.104	15.5	5.35	16.46
55	14.38	6.024	15.598	14.6	6	15.89
60	13.541	6.7	15.14	13.7	6.68	15
65	12.67	7.4	14.746	12.78	7.39	14.94
70	11.77	8.13	14.42	11.86	8.11	14.59
75	10.84	8.89	14.18	10.92	8.87	14.34
80	9.79	9.69	13.93	9.97	9.64	14.2
85	8.81	10.51	13.91	9.01	10.45	14.25
90	7.7376	11.372	13.9479	8	11.2	14.3

เอกสารนี้เป็นเอกสารที่สงวนไว้สำหรับการใช้งานเพื่อการศึกษาเท่านั้น ไม่อนุญาตให้นำไปใช้ประโยชน์ด้านการค้าไม่ว่ากรณีใดๆ ทั้งสิ้น อีกทั้งห้ามมิให้ตัดแปลงเนื้อหา และต้องอ้างอิงถึงเจ้าของเอกสารทุกครั้งที่มีการนำไปใช้

ตารางที่ 4.5 เปรียบเทียบผลลัพธ์จากการคำนวณโดยใช้วงจรสมมูลกับการจำลองทางคอมพิวเตอร์
ตารางที่ 2

ค่าตัวเก็บประจุ (μF)	คำนวณโดยใช้วงจรสมมูล				แบบจำลองทางคอมพิวเตอร์			
	P_{in}	P_{out}	%Eff	RPM	P_{in}	P_{out}	%Eff	RPM
20	3296.1	2241	67.99	1402	3562	2201	61.70	1392
25	3265.5	2234.5	68.43	1404.3	3500	2207	63.00	1396
30	3258.2	2244.2	68.88	1405.8	3442	2212	64.20	1399
35	3233.5	2239.5	69.26	1408.1	3390	2218	65.43	1402
40	3211.8	2235.9	69.62	1410.3	3343	2223	66.50	1406
45	3193.6	2233	69.92	1412.5	3302	2228	67.50	1409
50	3179.1	2231.9	70.21	1414.8	3268	2233	68.00	1412
55	3168.8	2234.8	70.53	1417	3241	2237	69.00	1414
60	3162.9	2233	70.60	1419	3221	2241	69.60	1417
65	3162	2235	70.68	1421.5	3209	2246	69.90	1420
70	3166.4	2239	70.71	1423.8	3206	2250	70.16	1422
75	3176.7	2245	70.67	1426	3212	2253	70.14	1424
80	3168.5	2231	70.41	1429	3229	2257	69.90	1427
85	3191.7	2239.9	70.18	1431.2	3256	2260	69.40	1429
90	3207.7	2237.2	69.74	1433.9	3294	2263	68.70	1431

เอกสารนี้เป็นเอกสารที่สงวนไว้สำหรับการใช้งานเพื่อการศึกษาเท่านั้น ไม่อนุญาตให้นำไปใช้ประโยชน์ด้านการค้า
ไม่ว่ากรณีใดๆ ทั้งสิ้น อีกทั้งห้ามมิให้ตัดแปลงเนื้อหา และต้องอ้างอิงถึงเจ้าของเอกสารทุกครั้งที่มีการนำไปใช้

ตารางที่ 4.6 เปรียบเทียบผลลัพธ์จากการคำนวณโดยใช้วงจรสมมูลกับการจำลองทางคอมพิวเตอร์
ตารางที่ 3

ตัวเก็บประจุ (μF)	ประสิทธิภาพ (%)		
	คำนวณโดยใช้วงจรสมมูล	แบบจำลองทางคอมพิวเตอร์	ความแตกต่าง* (%)
20	67.99	61.70	9.250616
25	68.43	63.00	7.931752
30	68.88	64.20	6.792425
35	69.26	65.43	5.528955
40	69.62	66.50	4.474842
45	69.92	67.50	3.462606
50	70.21	68.00	3.141359
55	70.53	69.00	2.16252
60	70.60	69.60	1.416104
65	70.68	69.90	1.107919
70	70.71	70.16	0.779534
75	70.67	70.14	0.751119
80	70.41	69.90	0.726961
85	70.18	69.40	1.10988
90	69.74	68.70	1.497859

*ค่าความแตกต่าง สามารถหาได้จากสมการที่ 4.1

$$\text{ความแตกต่าง} = \frac{\text{ค่าจากคำนวณโดยใช้วงจรสมมูล} - \text{ค่าจากแบบจำลองทางคอมพิวเตอร์}}{\text{ค่าจากคำนวณโดยใช้วงจรสมมูล}} \quad (4.1)$$

เอกสารนี้เป็นเอกสารที่สงวนไว้สำหรับการใช้งานเพื่อการศึกษาเท่านั้น ไม่อนุญาตให้นำไปใช้ประโยชน์ด้านการค้า
ไม่ว่ากรณีใดๆ ทั้งสิ้น อีกทั้งห้ามมิให้ตัดแปลงเนื้อหา และต้องอ้างอิงถึงเจ้าของเอกสารทุกครั้งที่มีการนำไปใช้

4.6 การคำนวณหาค่าตัวเก็บประจุที่ดีที่สุดด้วยวิธีแผนภาพวงกลม

จากผลการคำนวณหาค่าพารามิเตอร์ที่ได้ จะสามารถนำมาคำนวณหาค่าตัวเก็บประจุที่เหมาะสมสำหรับมอเตอร์ตัวนี้ได้โดย

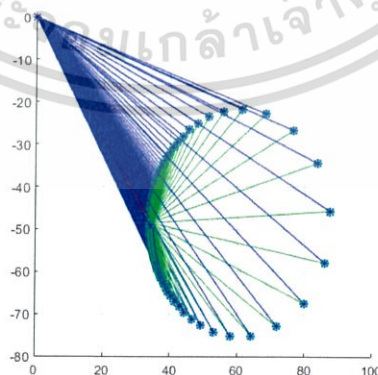
- แรงบิดสตาร์ทสูงสุด

$$\begin{aligned} X_c &= X_a + \frac{R_a R_m}{|Z_m| + X_m} \\ &= 5.282 + \frac{4.2933 \times 1.327}{2.06 + 1.5768} \\ &= 7.62 \Omega \\ C &= 417.94 \mu\text{F} \end{aligned}$$

- แรงบิดสตาร์ทต่อกระแสสูงสุด

$$\begin{aligned} X_c &= X_a + \frac{-X_m R_a + |Z_m| \sqrt{R_a (R_a + R_m)}}{R_m} \\ &= 5.282 + \frac{-1.5768 \times 4.2933 + 2.06 \sqrt{4.2933 (4.2933 + 1.327)}}{1.327} \\ X_c &= 8.38 \Omega \\ C &= 380.02 \mu\text{F} \end{aligned}$$

แผนภาพวงกลมเป็นไดอะแกรมที่แสดงค่าเฟสเซอร์ของกระแสที่ขดลวดต่างๆของมอเตอร์เหนี่ยวนำ ที่ค่าตัวเก็บประจุต่างๆ ซึ่งแนวโน้มในของขนาด และทิศทางของกระแส เมื่อเปลี่ยนค่าเก็บประจุสามารถแสดงได้ตามรูปที่ 4.23



รูปที่ 4.19 แผนภาพวงกลมของมอเตอร์เหนี่ยวนำ 1 เฟส
เมื่อเปลี่ยนค่าตัวเก็บประจุ

เอกสารนี้เป็นเอกสารที่สงวนไว้สำหรับการใช้งานเพื่อการศึกษาเท่านั้น ไม่อนุญาตให้นำไปใช้ประโยชน์ด้านการค้าไม่ว่ากรณีใดๆ ทั้งสิ้น อีกทั้งห้ามมิให้ตัดแปลงเนื้อหา และต้องอ้างอิงถึงเจ้าของเอกสารทุกครั้งที่มีการนำไปใช้

บทที่ 5

สรุปผลการวิจัยและข้อเสนอแนะ

5.1 บทสรุป

ปริญญานิพนธ์นี้ได้นำเสนอการเลือกตัวเก็บประจุที่เหมาะสมสำหรับมอเตอร์เหนี่ยวนำ 1 เฟส ชนิด ตัวเก็บประจุสตาร์ท-ตัวเก็บประจุนั้น โดยการพิจารณาความเหมาะสมในด้านประสิทธิภาพและการใช้พลังงานในแต่ละช่วงสภาวะโพลดของมอเตอร์เหนี่ยวนำ 1 เฟส ซึ่งในการพิจารณาหาค่าตัวเก็บประจุสตาร์ทและตัวเก็บประจุนั้นได้ถูกออกแบบให้พิจารณาที่ต่างสภาวะกัน เนื่องจากคุณสมบัติที่ต่างกัน กล่าวคือตัวเก็บประจุสตาร์ทถูกพิจารณาที่สภาวะยึดโรเตอร์ (Block Rotor Condition) และตัวเก็บประจุนั้นถูกพิจารณาที่สภาวะมีหรือไม่มีภาระทางกล (Loads or No-Load Condition) ดังนั้นในการวิเคราะห์ผลของประสิทธิภาพของมอเตอร์เหนี่ยวนำ 1 เฟส จึงพิจารณาแค่ตัวเก็บประจุนั้น ในการทดลองหาค่าตัวเก็บประจุที่ดีที่สุดจึงได้มีการออกแบบการทดลองต่างๆ เช่น การจำลองแบบจำลองทางคณิตศาสตร์จากวงจรสมมูล, การใช้โปรแกรม MATLAB/Simulink และการใช้จินตออลกอริธึม เพื่อช่วยในการเปรียบเทียบผลของประสิทธิภาพที่สภาวะต่างๆ และนำไปสู่การหาค่าตัวเก็บประจุที่ดีที่สุดต่อไป ในการทดลองด้วยแบบจำลองทางคณิตศาสตร์จากวงจรสมมูลด้วย MATLAB เป็นทางเลือกเพื่อลดระยะเวลาในการคำนวณค่าพารามิเตอร์ต่างๆ และสามารถช่วยในการคาดการณ์ความสัมพันธ์ของกราฟได้ ทำให้เราสามารถวิเคราะห์แนวโน้มของการเพิ่มค่าตัวเก็บประจุที่สภาวะต่างๆ ได้ ในส่วนของการใช้ MATLAB/Simulink เป็นการช่วยจำลองวงจรมอเตอร์เหนี่ยวนำ 1 เฟส โดยมีต้นแบบจากวงจรสมมูลของมอเตอร์และใช้ในการศึกษาพฤติกรรมการทำงานของมอเตอร์ที่สภาวะต่างๆ ซึ่งเป็นวิธีการที่ง่ายต่อการใช้งานโดยที่ไม่ต้องอาศัยความรู้พื้นฐานมากนัก ในส่วนสุดท้ายการใช้จินตออลกอริธึมอาศัยหลักการคำนวณหาค่าสูงสุดต่ำสุดของหลักการทางจินตออลกอริธึมเริ่มการจำลองด้วยหลักการทางจินตออลกอริธึมในสภาวะพิกัดกำลัง โดยแนวโน้มที่ได้จากหลักการทางจินตออลกอริธึมทำให้ทราบว่าประสิทธิภาพมอเตอร์เหนี่ยวนำที่ดีที่สุดที่ตัวเก็บประจุขนาด 70 ไมโครฟาร์ดมีค่าใกล้เคียง 75% ซึ่งในท้ายที่สุดการจำลองค่าโดย MATLAB/Simulink และผลลัพธ์ที่ได้เทียบกับแบบจำลองทางคณิตศาสตร์จากวงจรสมมูลด้วย MATLAB ว่ามีความเที่ยงตรงในระดับนัยสำคัญ ซึ่งจากการทดลองเป็นการทดสอบค่าที่สภาวะพิกัดและแสดงให้เห็นว่าผลลัพธ์ที่ได้มีความเที่ยงตรงค่อนข้างสูงมีความผิดพลาดประมาณ 1-2% โดยเป็นค่าความผิดพลาดที่สามารถยอมรับได้

เอกสารนี้เป็นเอกสารที่สงวนไว้สำหรับการใช้งานเพื่อการศึกษาเท่านั้น ไม่อนุญาตให้นำไปใช้ประโยชน์ด้านการค้าไม่ว่ากรณีใดๆ ทั้งสิ้น อีกทั้งห้ามมิให้ตัดแปลงเนื้อหา และต้องอ้างอิงถึงเจ้าของเอกสารทุกครั้งที่มีการนำไปใช้

ปัจจัยสำคัญที่ส่งผลต่อการหาประสิทธิภาพของมอเตอร์ชนิดใดๆ คือผลของความสูญเสียของมอเตอร์ ซึ่งในการทดสอบความสูญเสียของมอเตอร์นั้นได้ทดสอบตามมาตรฐาน IEEE ของมอเตอร์เหนี่ยวนำ 1 เฟส ทำให้สามารถเป็นค่าที่ยอมรับได้ สิ่งหนึ่งที่ส่งผลต่อความสูญเสียในมอเตอร์นั้นคือกระแสไฟฟ้าในขดลวด ซึ่งที่สภาวะไม่มีภาระทางกลกระแสไฟฟ้าที่ไหลเข้าโรเตอร์จะมีค่าน้อยเป็นเพราะผลของอิมพีแดนซ์และสลลิปและกระแสจะมากขึ้นเมื่อสลลิปมากขึ้นนั่นก็จะทำให้ค่าความสูญเสียเพิ่มมาตามลำดับ

5.2 ข้อเสนอแนะ

สิ่งหนึ่งที่มีความสำคัญต่อผลการทดลองคือวงจรสมมูล ดังนั้นควรที่จะเลือกใช้วงจรสมมูลให้ตรงตามประเภทของมอเตอร์เหนี่ยวนำ 1 เฟสแต่ละชนิดด้วย ซึ่งคณะผู้จัดทำได้เลือกใช้วงจรสมมูลของมอเตอร์เหนี่ยวนำ 1 เฟสชนิดตัวเก็บประจุสตาร์ท-ตัวเก็บประจุนั้น และได้มีการนำผลของการเหนี่ยวนำย้อนกลับ (Back EMF) ของขดลวดหลักและขดลวดสตาร์ทมาคำนวณด้วย

ในการคำนวณหาการทดสอบค่าพารามิเตอร์และความสูญเสียของมอเตอร์นั้นมีความหลากหลายทฤษฎีในการทดสอบ ซึ่งทางคณะผู้จัดทำได้เลือกพิจารณาตามมาตรฐาน IEEE มาเป็นมาตรฐานในการอ้างอิง

การวัดค่าพารามิเตอร์ด้วยอุปกรณ์อิเล็กทรอนิกส์อาจเกิดความคลาดเคลื่อนได้ทั้งนี้ขึ้นอยู่กับความเหมาะสมของอุปกรณ์, วิธีใช้งาน และผู้ทดลองด้วย

หลักการทางจันตึกจะให้ผลลัพธ์ที่เที่ยงตรงมากขึ้นเพียงใดขึ้นอยู่กับวงจรสมมูลที่ผู้สนใจใช้เป็นแหล่งอ้างอิงในการเขียนฟังก์ชันเป้าหมาย และ ขอบเขตในการหาค่าของหลักการทางจันตึก ปกติแล้วจันตึกจะหาค่าน้อยที่สุดของฟังก์ชันเป้าหมาย การที่จะหาค่ามากที่สุดของฟังก์ชันเป้าหมายต้องคูณ -1 ในฟังก์ชันเป้าหมาย

เอกสารอ้างอิง

- [1] Chapman, S. J. (2005). Electric machinery Fundamentals. McGRAW-HILL.
- [2] Ghial, V. K., Saini, L. M., & Saini, J. S. (2013). Parameter Estimation of Permanent-Split Capacitor-Run Single-Phase Induction Motor Using computed Complex Voltage Ratio. IEEE.
- [3] (2010). IEEE 114: IEEE Standard Test Procedure for Single-Phase. New York: IEEE.
- [4] KRAUSE, P. C., & WASYNCZUK, O. (1989). Elctromechanical Motion Devices. McGraw–Hill.
- [5] Lin, D., Zhou, P., & Lambert, N. (2010). Starting Winding Optimization in Single-Phase Induction Motor Design. Rome: IEEE.
- [6] Mademlis, C., Kioskeridis, I., & Theodoulidis, T. (2005). Optimization of Single-Phase Induction Motors–Part I: Maximum Energy Efficiency Control. New York: IEEE.
- [7] Rao, S. S. (2009). Engineering Optimization Theory and Practice. John Wiley & Sons, Inc.
- [8] Sanagiotti, E., Oliveira Jr, A., Monteiro, J., & De Aguiar, M. (2007). A comparative study between Symmetrical two phase induction motor model using dq0 Transformation and Model using Spiral Vector Theory Operating under Unbalancing Voltage. New York: IEEE.
- [9] P.C. Sen (1996). Principles of Electric Machines and Power Electronics. Ontario, Canada: John Wiley & Sons.
- [10] Tekgun, B., Sozer, Y., & Tsukerman, I. (2016). Modeling and Parameter Estimation of Split-Phase Induction Motors. IEEE.
- [11] Umans, S. D. (2014). Fitzgerald & Kingsley's Electric Machinery. McGraw–Hill Education.

เอกสารนี้เป็นเอกสารที่สงวนไว้สำหรับการใช้งานเพื่อการศึกษาเท่านั้น ไม่อนุญาตให้นำไปใช้ประโยชน์ด้านการค้า ไม่ว่ากรณีใดๆ ทั้งสิ้น อีกทั้งห้ามมิให้ตัดแปลงเนื้อหา และต้องอ้างอิงถึงเจ้าของเอกสารทุกครั้งที่มีการนำไปใช้





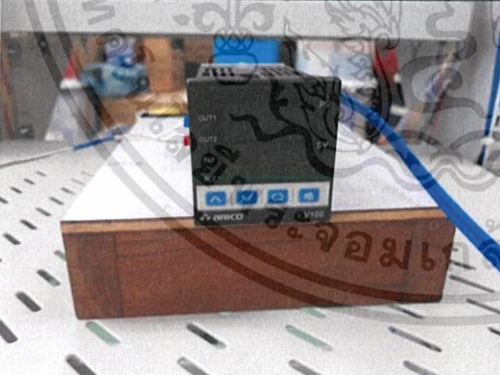
ภาคผนวก

เอกสารนี้เป็นเอกสารที่สงวนไว้สำหรับการใช้งานเพื่อการศึกษาเท่านั้น ไม่อนุญาตให้นำไปใช้ประโยชน์ด้านการค้า
ไม่ว่ากรณีใดๆ ทั้งสิ้น อีกทั้งห้ามมิให้ตัดแปลงเนื้อหา และต้องอ้างอิงถึงเจ้าของเอกสารทุกครั้งที่มีการนำไปใช้

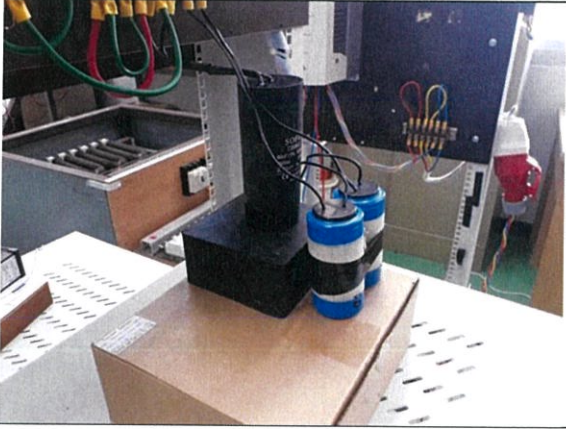


เอกสารนี้เป็นเอกสารที่สงวนไว้สำหรับการใช้งานเพื่อการศึกษาเท่านั้น ไม่อนุญาตให้นำไปใช้ประโยชน์ด้านการค้า
ไม่ว่ากรณีใดๆ ทั้งสิ้น อีกทั้งห้ามมิให้ตัดแปลงเนื้อหา และต้องอ้างอิงถึงเจ้าของเอกสารทุกครั้งที่มีการนำไปใช้

อุปกรณ์และชุดลองที่ใช้ทดสอบ

รูปถ่ายชิ้นงานและอุปกรณ์	รายละเอียด
	<p>Multimeter</p>
	<p>Multimeter CHAUVIN ARNOUX</p>
	<p>Temperature Controller</p>

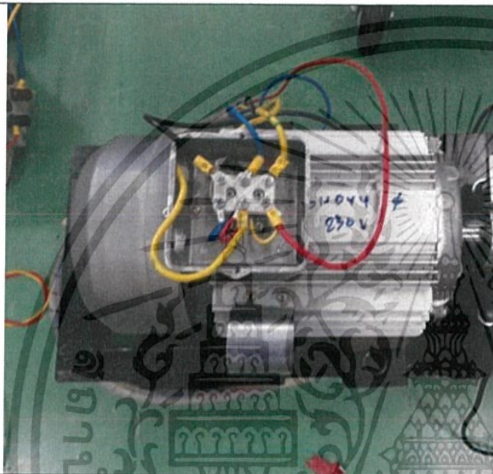
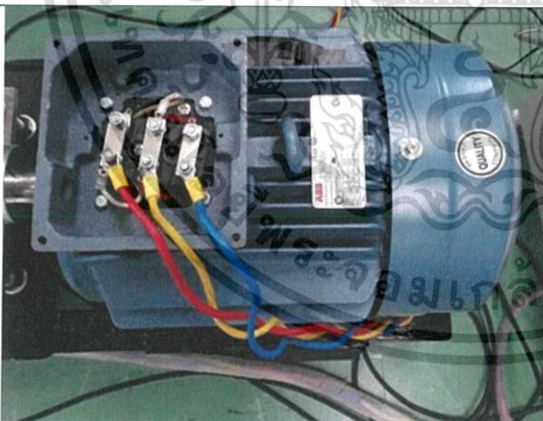
เอกสารนี้เป็นเอกสารที่สงวนไว้สำหรับการใช้งานเพื่อการศึกษาเท่านั้น ไม่อนุญาตให้นำไปใช้ประโยชน์ด้านการค้าไม่ว่ากรณีใดๆ ทั้งสิ้น อีกทั้งห้ามมิให้ตัดแปลงเนื้อหา และต้องอ้างอิงถึงเจ้าของเอกสารทุกครั้งที่มีการนำไปใช้

	<p>Capacitor Run(Black) Capacitor Start(Blue)</p>
	<p>Variable Speed Drive</p>
	<p>Tachometer</p>

เอกสารนี้เป็นเอกสารที่สงวนไว้สำหรับการใช้งานเพื่อการศึกษาเท่านั้น ไม่อนุญาตให้นำไปใช้ประโยชน์ด้านการค้า
ไม่ว่ากรณีใดๆ ทั้งสิ้น อีกทั้งห้ามมิให้ตัดแปลงเนื้อหา และต้องอ้างอิงถึงเจ้าของเอกสารทุกครั้งที่มีการนำไปใช้

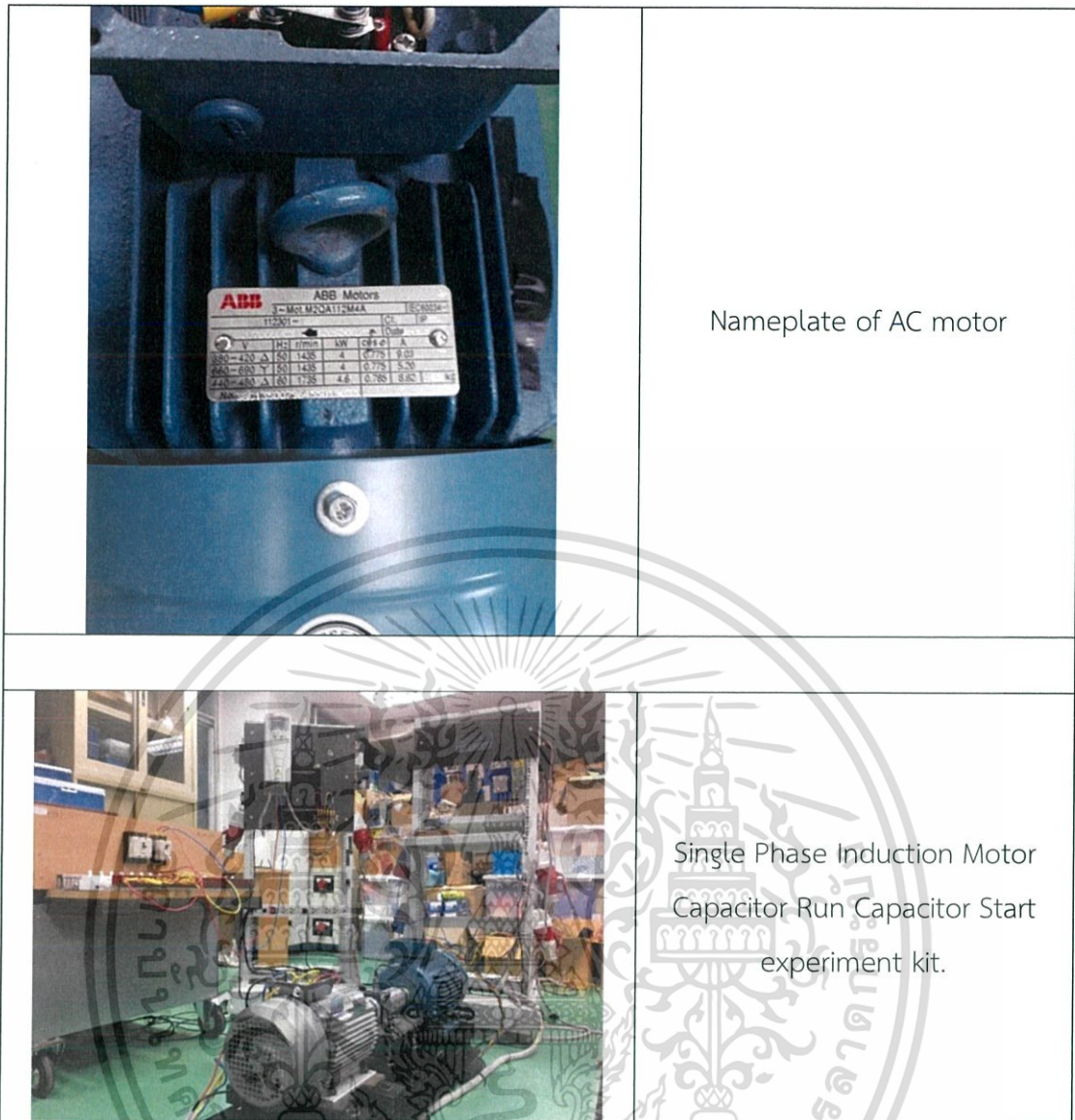


Braking Resistor

Single Phase Induction Motor
Capacitor Run Capacitor Start
(3HP)

AC motor

เอกสารนี้เป็นเอกสารที่สงวนไว้สำหรับการใช้งานเพื่อการศึกษาเท่านั้น ไม่อนุญาตให้นำไปใช้ประโยชน์ด้านการค้า
ไม่ว่ากรณีใดๆ ทั้งสิ้น อีกทั้งห้ามมิให้ตัดแปลงเนื้อหา และต้องอ้างอิงถึงเจ้าของเอกสารทุกครั้งที่มีการนำไปใช้



Nameplate of AC motor

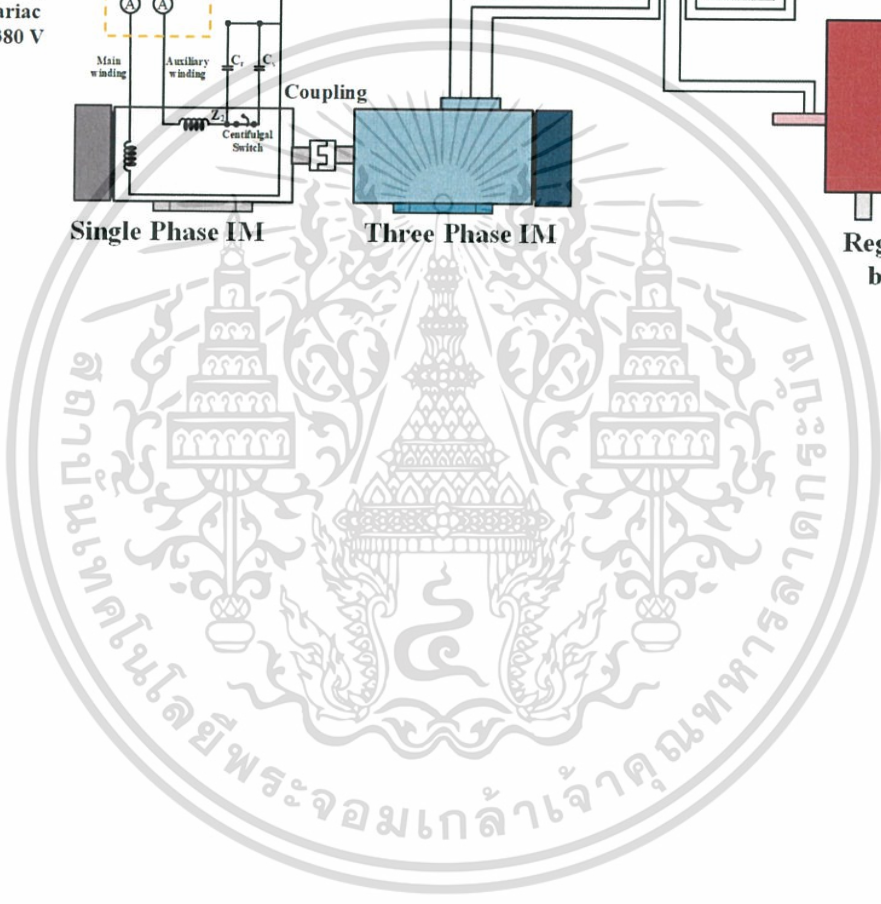
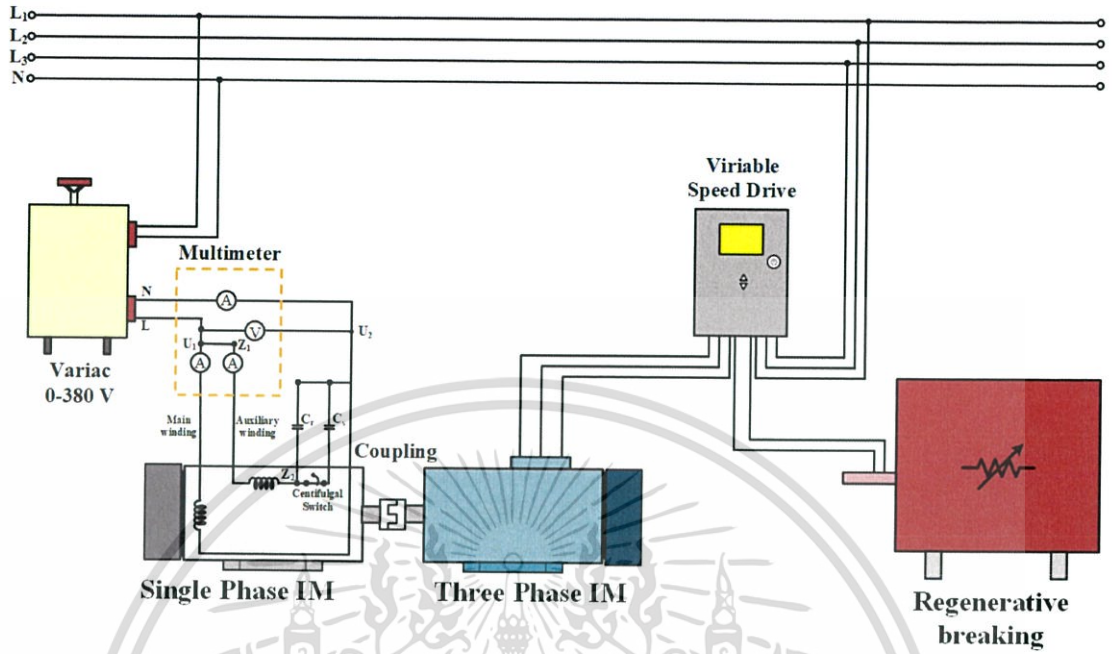
Single Phase Induction Motor
Capacitor Run Capacitor Start
experiment kit.

เอกสารนี้เป็นเอกสารที่สงวนไว้สำหรับการใช้งานเพื่อการศึกษาเท่านั้น ไม่อนุญาตให้นำไปใช้ประโยชน์ด้านการค้า
ไม่ว่ากรณีใดๆ ทั้งสิ้น อีกทั้งห้ามมิให้ตัดแปลงเนื้อหา และต้องอ้างอิงถึงเจ้าของเอกสารทุกครั้งที่มีการนำไปใช้



เอกสารนี้เป็นเอกสารที่สงวนไว้สำหรับการใช้งานเพื่อการศึกษาเท่านั้น ไม่อนุญาตให้นำไปใช้ประโยชน์ด้านการค้า
ไม่ว่ากรณีใดๆ ทั้งสิ้น อีกทั้งห้ามมิให้ตัดแปลงเนื้อหา และต้องอ้างอิงถึงเจ้าของเอกสารทุกครั้งที่มีการนำไปใช้

แผนภาพการต่อมอเตอร์ในการทดสอบ



เอกสารนี้เป็นเอกสารที่สงวนไว้สำหรับการใช้งานเพื่อการศึกษาเท่านั้น ไม่อนุญาตให้นำไปใช้ประโยชน์ด้านการค้า
ไม่ว่ากรณีใดๆ ทั้งสิ้น อีกทั้งห้ามมิให้ตัดแปลงเนื้อหา และต้องอ้างอิงถึงเจ้าของเอกสารทุกครั้งที่มีการนำไปใช้



เอกสารนี้เป็นเอกสารที่สงวนไว้สำหรับการใช้งานเพื่อการศึกษาเท่านั้น ไม่อนุญาตให้นำไปใช้ประโยชน์ด้านการค้า
ไม่ว่ากรณีใดๆ ทั้งสิ้น อีกทั้งห้ามมิให้ตัดแปลงเนื้อหา และต้องอ้างอิงถึงเจ้าของเอกสารทุกครั้งที่มีการนำไปใช้

การเลือกตัวเก็บประจุที่เหมาะสมสำหรับมอเตอร์เหนี่ยวนำ 1 เฟส ชนิด ตัวเก็บประจุสตาร์ท-ตัวเก็บประจุนรัน

SELECTION OF AN OPTIMIZED CAPACITOR VALUE FOR A SINGLE PHASE CAPACITOR START-CAPACITOR RUN INDUCTION MOTOR

กิตติพงษ์ โชคกิตติเตชา^[a] พงศวีร์ ทิพยานนท์^[b] และนายศุภสิทธิ์ ปัทมารัง^[c]

สาขาวิชาวิศวกรรมพลังงานไฟฟ้า คณะวิศวกรรมศาสตร์ สถาบันเทคโนโลยีพระจอมเกล้าเจ้าคุณทหารลาดกระบัง
เลขที่ 1 ซอยฉลองกรุง 1 ถนนฉลองกรุง แขวงลาดกระบัง เขตลาดกระบัง กรุงเทพฯ 10520 โทร 0-2739-2478

บทคัดย่อ

โครงงานฉบับนี้นำเสนอการหาค่าตัวเก็บประจุที่เหมาะสมสำหรับมอเตอร์ไฟฟ้าเหนี่ยวนำหนึ่งเฟสโดยใช้กระบวนการทางจีเนติก, จำลองทางคอมพิวเตอร์ และ วิธีการจำลองค่าจากวงจรสมมูล โดยหาค่าคอมจากวิธีการทางจีเนติก และนำมาเทียบกับผลจำลองทางคอมพิวเตอร์ และ วงจรสมมูล เพื่อที่จะทราบถึงว่าตัวเก็บประจุขนาดเท่าใดเมื่อใส่ไปในวงจรมอเตอร์ จะส่งผลให้มอเตอร์มีประสิทธิภาพที่สุด

คำสำคัญ : มอเตอร์เหนี่ยวนำไฟฟ้าหนึ่งเฟส, ตัวเก็บประจุนรัน, ตัวเก็บประจุสตาร์ท, จีเนติก อัลกอริทึม

Abstract

This thesis demonstrates an efficient way to optimize a capacitor for single phase induction motor capacitor start capacitor run, by using genetic algorithm to find the best efficiency then compare the result with matlab/ simulink and direct calculation method.

Keyword: Single phase induction motor, capacitor start, capacitor run, genetic algorithm,

1. บทนำ

บทความนี้เขียนเพื่อศึกษาหลักการการทำงานของมอเตอร์เหนี่ยวนำไฟฟ้าหนึ่งเฟสตัวเก็บประจุนรันตัวเก็บประจุสตาร์ท ซึ่งหลักการของมอเตอร์เหนี่ยวนำไฟฟ้าหนึ่งเฟสตัวเก็บประจุนรันตัวเก็บประจุสตาร์ทนั้นได้ถูกอธิบายผ่านทฤษฎี Double Revolving Field โดยผู้จัดทำมีความสนใจเกี่ยวกับมอเตอร์เหนี่ยวนำไฟฟ้าหนึ่งเฟส และได้ทำการศึกษาเกี่ยวกับการหาค่าตัวเก็บประจุที่เหมาะสมสำหรับมอเตอร์ เพื่อที่จะทำให้มอเตอร์มีประสิทธิภาพที่สูงที่สุดในทุกๆสภาวะ โดยแรกเริ่มอาศัยการทดลองจริงเก็บข้อมูลเชิงสถิติ เพื่อเข้าใจถึงพฤติกรรมของตัวมอเตอร์ และ จากนั้นจึงใช้วิธีการทางจีเนติก และ แบบจำลองทางคอมพิวเตอร์จำลองหาค่าตัวเก็บประจุ สุดท้ายจึงเทียบผลลัพธ์การจำลองกับวิธีการ

คำนวณผ่านวงจรสมมูล โดยอ้างอิงจากมาตรฐานการทดสอบมอเตอร์เหนี่ยวนำหนึ่งเฟส IEEE-114 ปี 2010 [3]

2. ทฤษฎีที่เกี่ยวข้อง

2.1 Double Revolving Field Theory

หลักการของ Double Revolving Field อธิบายการเคลื่อนที่ของแรงเคลื่อนแม่เหล็กไฟฟ้า (mmf) ซึ่งเกิดขึ้นในมอเตอร์เหนี่ยวนำ กล่าวคือเมื่อมีการจ่ายแรงดันไฟฟ้าเข้าสู่ขดลวดสเตเตอร์ของมอเตอร์เหนี่ยวนำ จะทำให้เกิดการเหนี่ยวนำแรงเคลื่อนแม่เหล็กไฟฟ้า (mmf) ขึ้นที่ขดลวดสเตเตอร์ค่าหนึ่งเมื่อกระแสในขดลวดถูกกระตุ้นด้วย (1)

$$F_{agl} = \frac{4}{\pi} \left(\frac{k_w N_{ph}}{poles} \right) I_a \cos \left(\frac{poles}{2} \theta_a \right) \quad (1)$$

$$F_{max} = \frac{4}{\pi} \left(\frac{k_w N_{ph}}{poles} \right) I_a \quad (2)$$

เมื่อกระแสในขดลวดถูกกระตุ้นด้วยสัญญาณ Sinusoidal Wave ที่คาบเวลาต่างๆ และที่ความถี่ทางไฟฟ้า (ω_e) จะได้สมการของกระแส (3)

$$\tilde{I}_a = I_a \cos \omega_e t \quad (3)$$

และ สมการของ (mmf) ที่ส่งผ่านไปยังช่องว่างอากาศ (air-gap) ที่ความถี่ทางไฟฟ้า (ω_e) และที่ความถี่ที่เครื่องจักรกลไฟฟ้าชนิด 2 ขั้ว จะได้สมการ (4)

$$F_{agl} = F_{max} \cos(\theta_{ae}) \cos(\omega_e t) \quad (4)$$

$$F_{agl} = F_{max} \left[\frac{1}{2} \cos(\theta_{ae} - \omega_e t) + \frac{1}{2} \cos(\theta_{ae} + \omega_e t) \right] \quad (5)$$

$$F_{agl} = F_{max} \left[\frac{1}{2} \cos(\theta_{ae} - \omega_e t) \right] \quad (6)$$

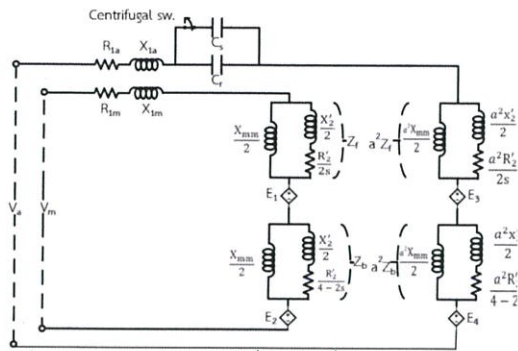
$$F_{agl} = F_{max} \left[\frac{1}{2} \cos(\theta_{ae} + \omega_e t) \right] \quad (7)$$

จากเอกลักษณ์ตรีโกณสมการที่ (5) สามารถแบ่งเป็นส่วน Forward (6) และ Backward (7)

2.2 วงจรสมมูล

ในการพิจารณาค่าพารามิเตอร์และประสิทธิภาพของมอเตอร์เหนี่ยวนำจะใช้วงจรสมมูลดังรูปที่ 1

เอกสารนี้เป็นเอกสารที่สงวนไว้สำหรับการใช้งานเพื่อการศึกษาเท่านั้น ไม่อนุญาตให้นำไปใช้ประโยชน์ด้านการค้า ไม่ว่ากรณีใดๆ ทั้งสิ้น อีกทั้งห้ามมิให้ตัดแปลงเนื้อหา และต้องอ้างอิงถึงเจ้าของเอกสารทุกครั้งที่มีการนำไปใช้



รูปที่ 1 วงจรสมมูลมอเตอร์เหนี่ยวนำหนึ่งเฟสตัวเก็บประจุ
รันตัวเก็บประจุสแตร์ท

สมการที่ 10-13 แทนลงในสมการที่ 8-9 จากนั้น จัดรูปให้อยู่ในรูปของ
กระแสได้ดังสมการที่ 14 และ 15

$$\tilde{I}_m = \frac{\tilde{V}_m(Z_{22}-Z_{12})}{(Z_{11}Z_{22}-Z_{12}Z_{21})} \quad (18)$$

$$\tilde{I}_a = \frac{\tilde{V}_a(Z_{11}-Z_{21})}{(Z_{11}Z_{22}-Z_{12}Z_{21})} \quad (19)$$

$$Z_{11} = Z_{sm} + Z_{fm} + Z_{bm} \quad (20)$$

$$Z_{12} = -ja[Z_{fm} - Z_{bm}] \quad (21)$$

$$Z_{21} = ja[Z_{fm} - Z_{bm}] \quad (22)$$

$$Z_{22} = Z_{sa} + Z_c + a^2[Z_{fm} + Z_{bm}] \quad (23)$$

โดยที่สมการที่ 18 -19 ใช้สำหรับการเขียนฟังก์ชันเป้าหมาย
ของจินตคณิต อัลกอริทึม

$$P_g = Re(E_f E_b) \tilde{I}_m + ja(E_f - E_b) \tilde{I}_a \quad (24)$$

$$P_{total\ loss} = P_{sl} + P_{rl} + P_{f} + P_{core} + P_{stray} \quad (25)$$

$$P_{conv} = (1-s)P_g \quad (26)$$

ในการทดสอบหาค่าสูงสุดเสียให้ทำตามขั้นตอนการเท
สเครื่องมือมาตรฐาน IEEE-114 2010 ปี 2010 [3]

$$P_{out} = P_{conv} - P_{total\ loss} \quad (27)$$

$$P_m = VI \cos \theta \quad (28)$$

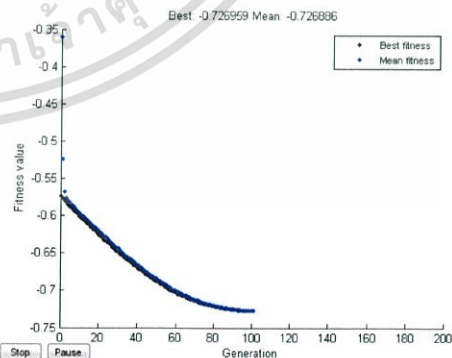
$$Eff\% = \frac{P_{out}}{P_m} \cdot 100\% \quad (29)$$

สมการที่ 29 ในบทความนี้ บอกถึงประสิทธิภาพมอเตอร์
เหนี่ยวนำหนึ่งเฟสตัวเก็บประจุรันตัวเก็บประจุสแตร์ทที่ซึ่งจะใช้สมการ
นี้ เพื่อคำนวณหาค่าตัวเก็บประจุที่ให้ประสิทธิภาพที่ดีที่สุด

3. ผลการทดลอง

3.1 การจำลองทางคอมพิวเตอร์โดยจินตคณิต อัลกอริทึม

การคำนวณโดยใช้จินตคณิตจากวงจรสมมูลรูปที่ 1 และใช้
สมการที่ (18), (19), (29) เขียนฟังก์ชันเป้าหมาย เพื่อหาค่าตัวเก็บประจุ
ที่ทำให้มอเตอร์มีประสิทธิภาพสูงที่สุด



รูปที่ 2 การคำนวณของจินตคณิตเพื่อหาประสิทธิภาพมอเตอร์ เมื่อ
กำหนดขอบล่างของความเร็วที่ 1350 ซึ่งก็คือความเร็ว ณ

Breakdown Torque

- R_{1a} และ R_{1m} คือ ความต้านของขดลวดสแตร์ท และขดลวดหลัก
- X_{1a} และ X_{1m} คือ ความต้านทานเหนี่ยวนำที่ขดลวดสแตร์ท และขดลวดหลัก
- C_s และ C_r คือ ตัวเก็บประจุสแตร์ท และตัวเก็บประจุน
- X_{mm} คือ ความต้านทานความเหนี่ยวนำ
- R_2 คือ ความต้านทานของขดลวดโรเตอร์ ที่ถูกแปลงไปด้านสเตเตอร์
- X_2 คือ ความเหนี่ยวนำของขดลวดโรเตอร์ ที่ถูกแปลงไปด้านสเตเตอร์
- a คือ Turn Ratio
- \tilde{E}_1, \tilde{E}_2 คือ Forward (และ Backward EMF) ที่เกิดจาก Forward และ Backward EMF ด้านขดลวดสแตร์ท
- \tilde{E}_3, \tilde{E}_4 คือ Forward (และ Backward EMF) ที่เกิดจาก Forward และ Backward EMF ด้านขดลวดรัน

$$R_{fm} = R_2 / 2(2-s) \quad (8)$$

$$R_{fa} = a^2 R_2 / 2(2-s) \quad (9)$$

$$R_{bm} = R_2 / 2(2-s) \quad (10)$$

$$R_{ba} = a^2 R_2 / 2(2-s) \quad (11)$$

จากวงจรสมมูลในรูปที่ 1 สามารถเขียนความสัมพันธ์จาก
วงจรสมมูลเพื่อใช้สำหรับเขียนฟังก์ชันเป้าหมาย และแบบจำลองทาง
คอมพิวเตอร์จากวงจรสมมูลในสภาวะรันและสแตร์ทได้ [9]

$$V_m = \tilde{I}_m(Z_{1m} + Z_f + Z_b) + \tilde{E}_1 + \tilde{E}_2 \quad (12)$$

$$V_a = \tilde{I}_a(Z_c + Z_{1a} + a^2 Z_f + a^2 Z_b + \tilde{E}_3 + \tilde{E}_4) \quad (13)$$

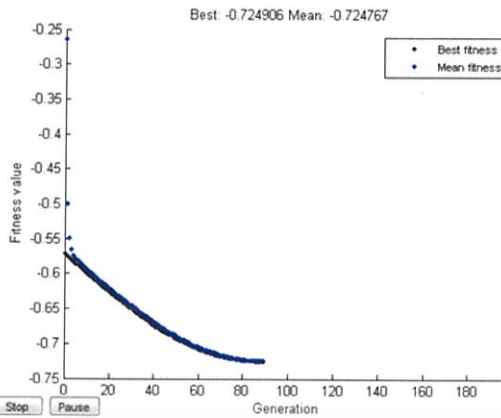
$$\tilde{E}_1 = -j\tilde{I}_a a Z_f \quad (14)$$

$$\tilde{E}_2 = j\tilde{I}_a a Z_b \quad (15)$$

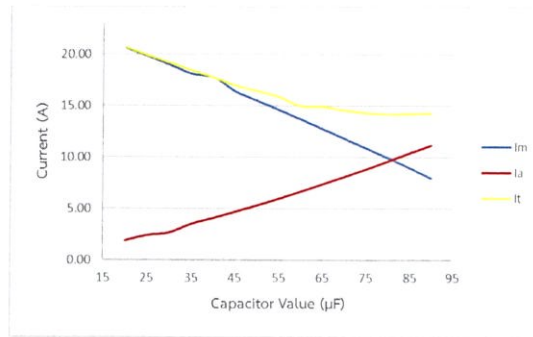
$$\tilde{E}_3 = ja\tilde{I}_m Z_f \quad (16)$$

$$\tilde{E}_4 = -ja\tilde{I}_m Z_b \quad (17)$$

เอกสารนี้เป็นเอกสารที่สงวนไว้สำหรับการใช้งานเพื่อการศึกษาเท่านั้น ไม่อนุญาตให้นำไปใช้ประโยชน์ด้านการค้า
ไม่ว่ากรณีใดๆ ทั้งสิ้น อีกทั้งห้ามมิให้ตัดแปลงเนื้อหา และต้องอ้างอิงถึงเจ้าของเอกสารทุกครั้งที่มีการนำไปใช้



รูปที่ 3 การคำนวณของจินตคณิตเพื่อหาประสิทธิภาพมอเตอร์ เมื่อกำหนดขอบล่างของความเร็วที่ 1400 ซึ่งก็คือความเร็ว



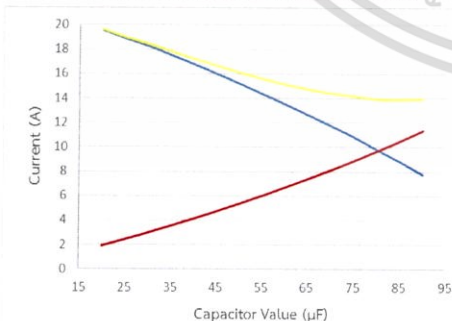
รูปที่ 5 ความสัมพันธ์ของกระแสไฟฟ้าต่อค่าตัวเก็บประจุ โดยเป็นผลที่ได้จากแบบจำลองทางคอมพิวเตอร์

จากรูปที่ 2 – 3 ผลลัพธ์จากการคำนวณทางจินตคณิตได้ค่าประสิทธิภาพที่ใกล้เคียงกันแต่เนื่องจากที่ความเร็วต่ำกว่า 1350รอบต่อนาทีเป็นค่าที่ใกล้เคียงกับความเร็ว Breakdown Torque ซึ่งเสี่ยงต่อการที่มอเตอร์จะเกิดการ Runaway ซึ่งทำให้ความเร็วตกลง และ กระแสในขดลวดเพิ่มขึ้นในการกำหนดขอบเขตจึงใช้ ขอบล่างของความเร็วที่ 1400รอบต่อนาที

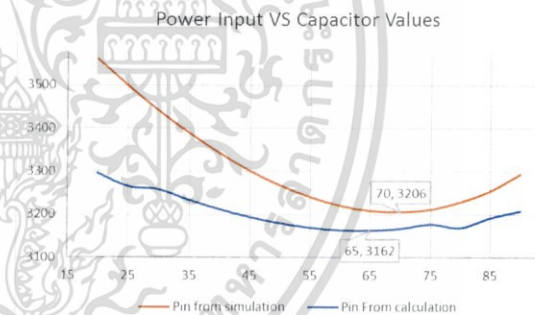
3.2 การจำลองด้วย MATLAB/Simulink เทียบกับการคำนวณผ่านวงจรสมมูล

จากผลการคำนวณหาความสัมพันธ์ระหว่างกระแสของมอเตอร์เหนี่ยวนำหนึ่งเฟส เมื่อเปลี่ยนค่าตัวเก็บประจุพบว่า กระแสที่ขดลวดหลัก (i_m) และกระแสขาเข้ามอเตอร์ (i_a) จะมีค่าลดลงเมื่อค่าตัวเก็บประจุมีค่าเพิ่มมากขึ้น ซึ่งส่วนทางกับกระแสที่ขดลวดสตาร์ท (i_s) เมื่อค่าตัวเก็บประจุมากขึ้น กระแสก็จะมากขึ้นตามไปด้วย ซึ่งความสัมพันธ์ของกระแสต่อค่าตัวเก็บประจุสามารถแสดงได้ ดังรูปที่ 4 ซึ่งเป็นความสัมพันธ์ที่ได้จากการคำนวณผ่านวงจรสมมูล และรูปที่ 5 เป็นความสัมพันธ์ที่ได้จากแบบจำลองทางคอมพิวเตอร์

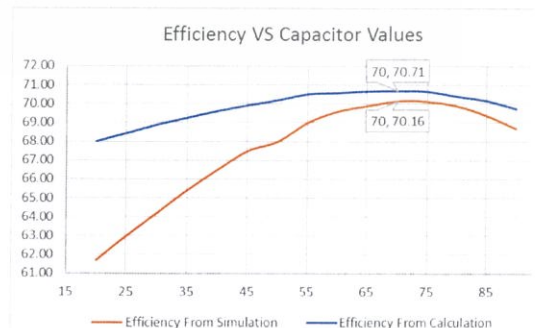
จากนั้น มาดูผลลัพธ์ที่ได้จากการคำนวณผ่านวงจรสมมูลกับแบบจำลองทางคอมพิวเตอร์ของกำลังไฟฟ้าขาเข้ามอเตอร์พบว่าเมื่อเพิ่มค่าตัวเก็บประจุ จะทำให้กำลังไฟฟ้าขาเข้ามอเตอร์นั้นลดลง โดยจะลดลงเป็นแบบคร่าวๆ ประชังคว่ำ นั่นก็คือเมื่อ ทำการเพิ่มค่าตัวเก็บประจุถึงค่าหนึ่งที่ทำให้กำลังไฟฟ้าขาเข้านั้นต่ำสุด จากนั้นถ้าเพิ่มค่าตัวเก็บประจุเข้าไปอีก จะทำให้กำลังไฟฟ้าขาเข้ามอเตอร์มีค่ามากขึ้น จากภาพ พบว่าค่าตัวเก็บประจุขนาด 70 μF ทำให้ได้กำลังไฟฟ้าขาเข้ามอเตอร์น้อยที่สุด



รูปที่ 4 ความสัมพันธ์ของกระแสไฟฟ้าต่อค่าตัวเก็บประจุ โดยเป็นผลที่ได้จากการคำนวณผ่านวงจรสมมูล



รูปที่ 6 ความสัมพันธ์ของกำลังไฟฟ้าขาเข้าซึ่งแสดงอยู่ในแนวแกน Y กับค่าตัวเก็บประจุ ซึ่งแสดงอยู่ในแนวแกน X



รูปที่ 7 ความสัมพันธ์ของประสิทธิภาพของมอเตอร์ซึ่งแสดงอยู่ในแนวแกน Y กับค่าตัวเก็บประจุแสดงอยู่ในแนวแกน X

เอกสารนี้เป็นเอกสารที่สงวนไว้สำหรับการใช้งานเพื่อการศึกษาเท่านั้น ไม่อนุญาตให้นำไปใช้ประโยชน์ด้านการค้า ไม่ว่าจะกรณีใดๆ ทั้งสิ้น อีกทั้งห้ามมิให้ตัดแปลงเนื้อหา และต้องอ้างอิงถึงเจ้าของเอกสารทุกครั้งที่มีการนำไปใช้

พบว่า กราฟของประสิทธิภาพต่อค่าตัวเก็บประจุจะแปรผกผันกับกราฟกำลังไฟฟ้าขาเข้ามอเตอร์ นั่นคือยิ่งค่ากำลังไฟฟ้าขาเข้ามอเตอร์มีค่าน้อย ยิ่งมีประสิทธิภาพมาก โดยจะมีประสิทธิภาพมากที่สุดที่ค่าตัวเก็บประจุ 70 μF ให้ค่าประสิทธิภาพที่ 70.71% จากกรณาคำนวณผ่านวงจรสมมูล และ 70.16% จากแบบจำลองทางคอมพิวเตอร์

4.สรุป

ในการทดลองหาค่าตัวเก็บประจุที่ดีที่สุดจึงได้มีการออกแบบการทดลองต่างๆ เช่น การจำลองแบบจำลองทางคณิตศาสตร์จากวงจรสมมูล, การใช้ MATLAB/Simulink และการใช้จินเนติกอัลกอริทึม เพื่อช่วยในการเปรียบเทียบผลของประสิทธิภาพที่สถานะพิกัดกำลัง และนำไปสู่การหาค่าตัวเก็บประจุที่ดีที่สุดต่อไป โดยแนวโน้มที่ได้จากหลักการทางจินเนติกอัลกอริทึมทำให้ทราบว่าประสิทธิภาพมอเตอร์เหนี่ยวนำที่ดีที่สุด ณ สถานะพิกัดมีค่าอยู่ในช่วง 70 – 75 ไมโครฟารัด จากนั้นจึงนำผลลัพธ์ที่ได้ไปพิจารณาขอบเขตการจำลองค่าโดย MATLAB/Simulink และผลลัพธ์ที่ได้เทียบกับแบบจำลองทางคณิตศาสตร์จากวงจรสมมูล[2]ด้วย MATLAB ว่ามีความเที่ยงตรงในระดับนัยสำคัญ ซึ่งจากการทดลองเป็นการทดสอบค่าที่สถานะพิกัดและแสดงให้เห็นว่าผลลัพธ์ที่ได้มีความเที่ยงตรงก่อนข้างสูงมีค่าความผิดพลาดประมาณ 1-2% โดยเป็นค่าความผิดพลาดที่สามารถยอมรับได้

5.ข้อเสนอแนะ

สิ่งหนึ่งที่มีความสำคัญต่อผลการทดลองคือวงจรสมมูล ดังนั้นควรที่จะเลือกใช้ช่วงวงจรสมมูลให้ตรงตามประเภทของมอเตอร์เหนี่ยวนำ 1 เฟสแต่ละชนิดด้วย ซึ่งคณะผู้จัดทำได้เลือกใช้ช่วงวงจรสมมูลของมอเตอร์เหนี่ยวนำ 1 เฟสชนิดตัวเก็บประจุสตาร์ท ตัวเก็บประจุรัน และได้มีการนำผลของการเหนี่ยวนำย้อนกลับ (Back EMF) ของขดลวดหลักและขดลวดสตาร์ทด้วย ซึ่งจะให้ค่าพารามิเตอร์ที่ทดสอบมาได้มีความถูกต้องมากยิ่งขึ้น

อ้างอิง

- [1] Chapman, S. J. (2005). Electric machinery Fundamentals. McGRAW-HILL.
- [2] Ghial, V. K., Saini, L. M., & Saini, J. S. (2013). Parameter Estimation of Permanent-Split Capacitor-Run Single-Phase Induction Motor Using computed Complex Voltage Ratio. IEEE.
- [3] (2010). IEEE 114: IEEE Standard Test Procedure for Single-Phase. New York: IEEE.
- [4] KRAUSE, P. C., & WASYNCZUK, O. (1989). Elctromechanical Motion Devices. McGraw-Hill.

- [5] Lin, D., Zhou, P., & Lambert, N. (2010). Starting Winding Optimization in Single-Phase Induction Motor Design. Rome: IEEE.
- [6] Mademlis, C., Kioskeridis, I., & Theodoulidis, T. (2005). Optimization of Single-Phase Induction Motors– Part I: Maximum Energy Efficiency Control. New York: IEEE.
- [7] Rao, S. S. (2009). Engineering Optimization Theory and Practice. John Wiley & Sons, Inc.
- [8] Sanagiotti, E., Oliveira Jr, A., Monteiro, J., & De Aguiar, M. (2007). A comparative study between Symmetrical two phase induction motor model using dq0 Transformation and Model using Spiral Vector Theory Operating under Unbalancing Voltage. New York: IEEE.
- [9] P.C. Sen (1996). Principles of Electric Machines and Power Electronics. Ontario, Canada: John Wiley & Sons.
- [10] Tekgun, B., Sozer, Y., & Tsukerman, I. (2016). Modeling and Parameter Estimation of Split-Phase Induction Motors. IEEE.
- [11] Umans, S. D. (2014). Fitzgerald & Kingsley's Electric Machinery. McGraw-Hill Education.

ประวัติผู้เขียนบทความ



นายกิตติพงษ์ โชคดีเดชา [a]

55010267

เกิดวันที่ 26 ธันวาคม 2537

โทรศัพท์ 086-315-3600

E-mail: kittichian@hotmail.com



นายพงศวีร์ ทิพยานนท์ [b]

56010789

เกิดวันที่ 5 มกราคม 2538

โทรศัพท์ 083-264-1616

E-mail: nui_thipayanon@hotmail.com



นายสุกสิทธ์ ปัทมารัง [c]

56011254

เกิดวันที่ 8 มกราคม 2538

โทรศัพท์ 097-162-1869

E-mail: supasit_fam@hotmail.com

เอกสารนี้เป็นเอกสารที่สงวนไว้สำหรับการใช้งานเพื่อการศึกษาเท่านั้น ไม่อนุญาตให้นำไปใช้ประโยชน์ด้านการค้า ไม่ว่ากรณีใดๆ ทั้งสิ้น อีกทั้งห้ามมิให้ตัดแปลงเนื้อหา และต้องอ้างอิงถึงเจ้าของเอกสารทุกครั้งที่มีการนำไปใช้

ประวัติผู้เขียน



ชื่อ-นามสกุล นายกิตติพงษ์ โชคกิตเตชา
 วัน/เดือน/ปี เกิด 8 ก.ค. 2537
 ภูมิลำเนา นครราชสีมา
 E-mail kittichian@hotmail.com



ชื่อ-นามสกุล นายพงศวีร์ ทิพยานนท์
 วัน/เดือน/ปี เกิด 5 ม.ค. 2538
 ภูมิลำเนา สมุทรปราการ
 E-mail Nui_thipayanon@hotmail.com



ชื่อ-นามสกุล ศุภสิทธิ์ ปัทมารัง
 วัน/เดือน/ปี เกิด 8 ม.ค. 2538
 ภูมิลำเนา กาฬสินธุ์
 E-mail Supasit_fam@hotmail.com



เอกสารนี้เป็นเอกสารที่สงวนไว้สำหรับการใช้งานเพื่อการศึกษาเท่านั้น ไม่อนุญาตให้นำไปใช้ประโยชน์ด้านการค้า
 ไม่ว่ากรณีใดๆ ทั้งสิ้น อีกทั้งห้ามมิให้ตัดแปลงเนื้อหา และต้องอ้างอิงถึงเจ้าของเอกสารทุกครั้งที่มีการนำไปใช้